

М. А. КЕКЕЛИЯ

ГЕОХИМИЧЕСКИЕ ОСОБЕННОСТИ И  
ПЕТРОЛОГИЯ ЗЕКАРСКОГО МАССИВА  
(ГРУЗИНСКАЯ ССР)

«МЕЦНИЕРЕБА»  
1972

საქართველოს სსრ მინისტრობის აკადემიის  
გეოლოგიური ინსტიტუტი  
შრომები ახალი სერია, ნაკვ. 28

მ. კეკელია

გეგარის გასივის (საქართველოს სსრ)  
გეოპიგიური თავისებურებაზე  
და კეტონების  
და კეტონების

АКАДЕМИЯ НАУК ГРУЗИНСКОЙ ССР  
ГЕОЛОГИЧЕСКИЙ ИНСТИТУТ

Труды, новая серия, вып. 28

М. А. КЕКЕЛИЯ

ГЕОХИМИЧЕСКИЕ ОСОБЕННОСТИ И  
ПЕТРОЛОГИЯ ЗЕКАРСКОГО МАССИБА  
(ГРУЗИНСКАЯ ССР)

გამოცემა „მინისტრის“  
მდიდარი  
1972

ИЗДАТЕЛЬСТВО «МЕЦНИЕРЕБА»  
ТБИЛИСИ  
1972

552 ( с 41 )  
552 + 550 . 4 ] ( 47 . 922 )  
391

В настоящей работе изложены основные вопросы геохимии и петрологии Зекарской интрузии и вмещающей ее андезито-базальтовой толщи.

На основании применения физико-химического анализа парагенезисов минералов и изучения особенностей поведения и распределения редкоземельных и редких щелочных элементов ( $Li$  и  $Rb$ ) дается механизм образования щелочноземельной серии и генетически связанный с ней субщелочной серии пород палеогенового магматического комплекса района Зекарского перевала.

Редактор Т.В. Иваницкий

2 - 9 - 2

16 - 1970 местн.

## ВВЕДЕНИЕ

Проблема распределения редких элементов в магматических горных породах – одна из главных в геохимии. На основании изучения распределения редких элементов в горных породах выясняется их поведение при процессах дифференциации магм, форма нахождения в породах и минералах и причины их концентрации, а также генетическое родство отдельных серий пород.

В настоящее время особое внимание уделяется геохимическому и петрологическому изучению основных – наиболее распространенных в земной коре пород. Важное значение имеют исследования поведения редких элементов в процессе эволюции магматических расплавов и выяснение влияния на их распределение механизма образования пород. Изучение характера распределения редких элементов в основных породах позволяет нам судить не только о различии между основными породами отдельных регионов, но и приближает нас к разрешению вопроса о происхождении базальтовых расплавов.

В Аджаро-Триалетской складчатой системе широкое развитие получили проявления основного магmatизма как диффузивного, так и интрузивного характера. Здесь устанавливается тесная пространственная, а в некоторых случаях и возрастная сопряженность интрузий и эфузивов, и поэтому расшифровка взаимосвязи процессов интрузивного и диффузивного магматизма представляется наиболее интересной.

Магматические породы ряда районов Аджаро-Триалетии изучены сравнительно детально, однако породы района Зекарского перевала оставались слабо исследованными как в петрологическом, так и в геохимическом отношении. Зекарская интрузия впервые была отмечена П.Д.Гамрелиде (1949). Первые петрографические исследования ее были начаты В.Р.Надирадзе (1954) в связи с обнаружением во вмещающей вулканической толще свинцово-цинковой минерализации с повышенным содержанием золота. Зекарская

интрузия сложена габбро-диоритовыми породами и их субщелочными разновидностями — шонкинитами и монцонитами. Она сечет среднеэоценовую вулканическую андезито-базальтовую толщу.

В результате работ, проводимых В.Р. Надирадзе (1954), составлена геологическая карта района Зекарского перевала. Этим автором впервые закртированы выходы интрузивных пород в верховых рр. Ханисцкали и Баратхеви и дана их краткая петрографическая характеристика.

В основу настоящей работы положены полевые геологические наблюдения и материалы, собранные и камерально обработанные автором в течение 1962-1965 гг.

В качестве опыта исследования геохимических и петрологических особенностей интрузий основного состава и пространственно сопряженных с ними эфузивных пород и предлагается настоящая работа.

При составлении данной работы перед автором стояли следующие основные задачи: 1) петролого-петрохимическое изучение пород Зекарского массива, 2) геохимическая характеристика их с точки зрения распределения в них редкоземельных и редких щелочных элементов и 3) установление взаимосвязи эфузивных и интрузивных пород.

В соответствии с первой задачей были решены следующие вопросы: а) впервые для Зекарской интрузии детально охарактеризованы минералы переменного состава и на основании химизма последних установлена генетическая связь их с магмой основного состава; б) дана петрохимическая характеристика Зекарского массива и выделены две вполне самостоятельные серии пород: щелочно-земельная и субщелочная; в) методом физико-химического анализа парагенезисов минералов в интрузивных породах установлены причины, обусловившие разнообразие парагенетических ассоциаций (различие потенциалов щелочей в отдельных участках магматического очага); г) изучены постмагматические явления в эфузивных и интрузивных породах, выразившиеся в интенсивном проявлении эпидотизации. На основании детального рассмотрения этого процесса решены некоторые

вопросы генезиса эпидота.

Для решения второй задачи индикаторными элементами нами были выбраны редкие земли (лантаноиды) и редкие щелочи (литий и рубидий). Выбор этих элементов был продиктован, с одной стороны, их слабой изученностью в основных горных породах, а с другой — их индикаторной ролью в петрологических процессах. С этой точки зрения Зекарская интрузия представляет собой благоприятный объект, в котором устанавливаются продукты кристаллизационной дифференциации (образование габбро-диоритовой серии), а также связь между парагенетическими ассоциациями и условиями кислотности — щелочности (образование шонкинитов и монцонитов).

В связи со второй задачей изучены следующие вопросы: а) распределение редкоземельных элементов (р.з.э.)<sup>1</sup> и Li и Rb в различных типах пород Зекарского массива; б) влияние фациальных изменений на распределение р.з.э.; в) факторы дифференциации редкоземельных элементов в интрузивных и эфузивных породах; г) поведение р.з.э. в контактном процессе.

На фоне общности химизма интрузивных и эфузивных пород и их геологической сопряженности установлена полная аналогия и в распределении р.з.э. и Li и Rb.

Все аналитические работы выполнялись в Институте геохимии и аналитической химии им. В.И. Вернадского АН СССР при непосредственном участии автора. Автор исследовал на редкоземельные элементы 55, а на Li, Rb, K и Na — 50 проб. В период камеральной обработки им было просмотрено свыше 700 прозрачных шлифов и около 20 полированных. Петрохимические выводы основаны на 36 силикатных анализах.

Автор выражает глубокую признательность профессору В.В. Щербине, научными консультациями которого он

<sup>1</sup> Далее в тексте часто вместо термина "редкоземельные элементы" будет употребляться сокращение р.з.э.

пользовался на протяжение всей работы, а также кандидату геолого-минералогических наук Ю.А.Балашову, принявшие участие в исследовании. Кроме того, автор приносит благодарность сотрудникам ГЕОХИ АН СССР А.С.Павленко, Л.В.Филиппову, В.И.Лебедеву, Н.В.Туранской и другим за внимание и помощь в работе.

## ОСНОВНЫЕ ЧЕРТЫ ГЕОЛОГИЧЕСКОГО СТРОЕНИЯ АДЖАРО-ТРИАЛЕТСКОЙ СКЛАДЧАТОЙ СИСТЕМЫ

Аджаро-Триалетская складчатая система является одной из крупных геотектонических единиц Грузии (рис.1).

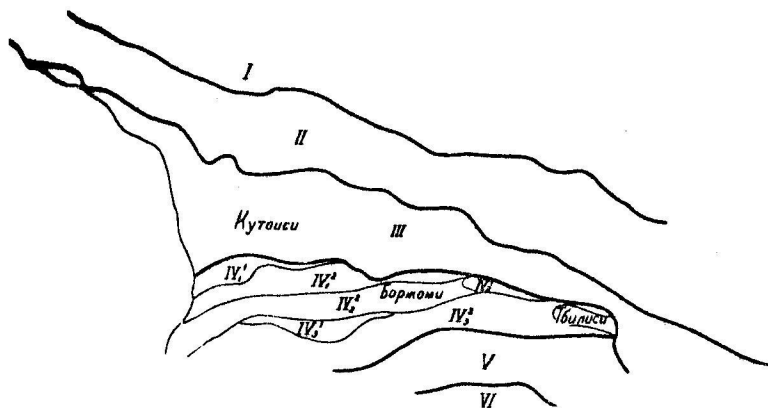


Рис. 1. Схема геотектонического строения Грузии (по П.Д. Гамкелидзе). ( $1Y_2$  - Абастумано-Бошурская подзона).

Она вытянута в широтном направлении, образуя сложную цепь хребтов, четко очерченных как в тектоническом, так и в геоморфологическом отношении.

Образование эвгеосинклинального трога Аджаро-Триалетии, наложенного на Закавказскую плиту, связано с глубинными разломами, наличие которых подтверждается как различиями между мощностями меловых и палеогеновых образований геосинклинали и соответствующих отложений смежных с ней глыб, так и расположением складок внутри системы.

Аджаро-Триалетская геосинклиналь зародилась в миоцене и достигла максимума прогибания в среднем эоцене. Она сложена мощными вулканогенно-осадочными и карбонатными образованиями мела, флишевыми отложениями па-

леопена и нижнего эоцена, вулканогенно-осадочными образованиями среднего эоцена и терригенными, в основном, осадками верхнего эоцена и олигоцен-нижнего миоцена. Все эти отложения в целом образуют веерообразные складки, опрокинутые на Грузинскую и Артвинско-Болнисскую глыбы.

В пределах Аджаро-Триалетской складчатой системы устанавливается большое количество сжатых складок, вытянутых в близширотном направлении и осложненных надвигами. П.Д.Гамкелидзе (1949) систему подразделяет на три продольные зоны - Северную, Центральную и Южную.

Северная зона сложена верхнемеловыми вулканическими отложениями и известняками, палеоцен-нижнеэоценовым терригенным флишем, среднеэоценовой вулканической толщей, верхнеэоценовыми трахитовыми туфами и форами-ниферовыми мергелями и глинами, а также терригенными отложениями олигоцена и миоценплиоцена. Она характеризуется развитием опрокинутых и надвинутых на север складок.

Центральная, наиболее погруженная зона Аджаро-Триалетской геосинклинали, сложена вулканическими образованиями и известняками верхнего мела ( мощность 1,5 км ), палеоцен-нижнеэоценовым флишем ( мощность 1,5 км ) и вулканогенными отложениями среднего эоцена ( мощность 5 км ). Зона, являющаяся основной частью системы, характеризуется развитием крупных, сильно сжатых линейно-вытянутых складок довольно большого протяжения.

В строении Южной зоны, так же как Северной и Центральной, принимают участие вулканические и флишевые отложения мела и нижнего палеогена большой мощности. В отличие от других зон, здесь наблюдается уменьшение в восточном направлении мощности средне-эоценовой вулканической толщи ( от 5000 м до 100 м ) и увеличение в это же направлении мощностей верхнеэоценовых и олигоцен-нижнемиоценовых толщ ( от 2000 м в Ахалцихском районе до 5500 м в районе Тбилиси ). Не останавливаясь более подробно на характеристике отдельных тектонических зон

Аджаро-Триалетской складчатой системы, отметим лишь, что каждая зона дополнительно подразделяется на подзоны, различающиеся по типу складчатости.

Исследованная Зекарская интрузия расположена в северной части Абастуманско-Бошурской подзоны Центральной зоны. Остановимся на кратком геологическом описании последней.

Абастуманско-Бошурская подзона занимает центральное положение в Аджаро-Триалетской геосинклинали. Она относится к Центральной зоне и граничит на севере с Чаквинско-Саирминской подзоной (Северная зона) и с Кавтисхевской подзоной (Центральная зона). На юге Абастуманско-Бошурская подзона по всей протяженности сопряжена с Ахалцихской подзоной ( Южная зона ) ( рис. 1 ).

Верхний мел. Самыми древними образованиями Абастуманско-Бошурской подзоны являются верхнемеловые карбонатные отложения.

Выходы их наблюдаются главным образом, в восточной части подзоны. Самый крайний западный выход верхнемеловых отложений, по П.Д.Гамкелидзе и Н.Н.Кандели (1944), имеется в ущелье реки Ханисцкали.

Согласно А.Л.Цагарели (1964), наиболее полные разрезы верхнего мела наблюдаются в бассейнах рек Тедзами, Кавтура и Хекордзула. Общий разрез карбонатной толщи верхнего мела здесь представлен: сеноманскими туфами, песчаниками и тонкослоистыми мергелями и известняками; туронскими мергелями и известняками; с прослоями туфопесчаников, глинами и кремнями; турон-коньякскими розовыми и белыми известняками и мергелями; сантон-кампанскими слоистыми литографскими известняками; маастрихтскими литографскими известняками с прослоями песчаников, глин, мергелей, туфогенных пород; датской нижнепалеоценовой нестабильной свитой, сложенной красными, желтыми, коричневыми и серыми мергелями, мергелистистыми глинами, а также песчаниками с датской фауной.

Палеоцен-нижний эоцен. По сравнению с верхнемеловыми, палеоцен-нижнеэоценовые отложения Аджаро-Три-

алетской складчатой системы пользуются гораздо более широким распространением. В мощной толще нижнего палеогена П.Д.Гамкрелидзе (1949) выделяет в самостоятельную свиту отложения Боржомского флиша, который литологически подразделяется на две свиты : нижнюю и верхнюю.

По П.Д.Гамкрелидзе (1949), наиболее полные разрезы флишевых отложений Аджаро-Триалетской геосинклиналии отмечаются в бассейнах рек Тана, Тедзами и Дарабзула, где они трансгрессивно налегают на верхнемеловые отложения и постепенно переходят в среднезооценовые вулканические образования. Вслед за конгломератом (основание флиша, видимая мощность равна 5-6 м) залегают светло-серые слоистые мергелистые глины и мергели, с которыми переслаиваются тонкозернистые песчаники и мергелистые известняки (ориентировочная мощность 200-250 м).

Выше следуют нуммулитовые и кварцевые песчаники (мощность 0,3 - 5 м). мергели и, реже, известняки, которые чередуются между собой. Они относятся к верхней свите флиша, постепенно переходящей в тонкслоистые пестроцветные туфопесчаники и микротубофекции (ориентировочная мощность верхней свиты толщи равна 300-350 м).

Следует отметить, что в Аджаро-Триалетии взаимоотношения палеоценовых отложений с верхнемеловыми не всегда одинаковы; наряду с согласным наблюдается и несогласное залегание палеоцена на меловую толщу.

В Боржомском районе в верхней части флиша найденная фауна с уверенностью позволяет отнести эти отложения к нижнему эоцену (Гамкрелидзе, 1949; Качарава, Попгадзе, 1955).

Средний эоцен. Для Аджаро-Триалетской складчатой системы в целом характерно интенсивное проявление подводного эфузивного вулканизма, что привело к накоплению здесь мощных вулканических толщ. Среди последних наибольшим распространением пользуются образования среднего эоцена, которые наиболее полно и хорошо развиты в центральной и западной части геосинклиналии. Вся вулкани-

ческая толща расчленяется на три свиты: 1) нижнюю слоистую пестроцветную туфогенную свиту, 2) туфобреекчевую свиту, 3) верхнюю слоистую туфогенную свиту, из которых первые две относятся к среднему эоцену, третья же - к овэрским ярусам (Гамкрелидзе, 1949).

Наиболее полный анализ среднезооценового вулканализма приведен Г.С.Дзоценидзе (1948). Вулканическая толща обладает следующими характерными чертами:

1. Вулканическая толща среднего эоцена представлена в основном пирокластолитами и чередующимися с ними андезитовыми и андезито-базальтовыми покровами и секущими жилами.

2. Среди господствующих пирокластолитов в этой толще попадаются также прослои известняков, содержащих фауну.

3. Среди покровов выделяются два типа, слагающих нижний и верхний литологические горизонты. К низам толши относятся андезитовые покровы с фенокристаллами плагиоклаза андезин-лабрадорового состава; к верхним же горизонтам приурочены меланократовые породы с многочисленными фенокристаллами пироксена.

В среднезооценовой толще Аджаро-Триалетской складчатой системы особый интерес представляют породы с повышенной активностью калия, так называемые, щелочные калибазальты. Последние Г.С.Дзоценидзе относил к верхнему эоцену. Исследованиями М.Б.Лордкипанидзе и Г.Ш.Надарейшивили (1962) показано, однако, что щелочные калибазальты являются более древними образованиями и возраст их соответствует среднему эоцена.

В пределах Ахалцихской депрессии выделяется верхняя слоистая туфогенная свита, которая согласно налегает на массивную туфобреекчевую свиту, а сверху трансгрессивно перекрывается верхнезооценовыми (приабонскими) отложениями. Существование здесь наряду с вулканогенами также и осадочного материала говорит о затухании вулканизма к концу среднего эоцена.

Таким образом, как указал П.Д.Гамкрелидзе (1949),

Аджаро-Триалетская геосинклиналь максимума своего разви-  
тия достигла в среднеэоценовое время. Свидетельством  
тому является широко распространенная здесь вулканиче-  
ская толща среднего эоцена и ее огромная мощность. Незна-  
чительные же проявления вулканализма последующих эпох (вер-  
хнеэоценовой, нижнеплиоценовой и четвертичной), указыва-  
ют на постепенное вырождение Аджаро-Триалетской геосин-  
клинали и превращение ее в горную складчатую область.

### ОБЗОР СУЩЕСТВУЮЩИХ ПРЕДСТАВЛЕНИЙ В ОТНОШЕНИИ ИНТРУЗИВНЫХ ОБРАЗОВАНИЙ АД- ЖАРО-ТРИАЛЕТСКОЙ СКЛАДЧАТОЙ СИСТЕМЫ

Большинство интрузий Аджаро-Триалетской складча-  
той системы пространственно приурочено к вулканической  
толще среднего эоцена и расположено в западной и цент-  
ральной частях геосинклинали (реже они прорывают верх-  
неэоценовые, олигоценовые и миоценовые отложения).

Исследования, посвященные петрографическому изуче-  
нию отдельных интрузий Аджаро-Триалетской складчатой  
системы носят в основном описательный характер. Среди  
них следует отметить работы Д.С. Белянкина, В.П. Петрова  
и В.П. Еремеева (1935), Т.Г. Казахашвили и П.А. Топурия  
(1938), В.Р. Надирадзе (1941) и других. В более поздних  
работах Г.М. Заридзе (1947), Г.С. Дзоценидзе (1948), П.Д.  
Гамкрелидзе (1949) и В.Р. Надирадзе (1955) освещены об-  
щие вопросы интрузивного магматизма Аджаро-Триалетии.

Наиболее дискуссионными являются вопросы, касаю-  
щиеся условий формирования интрузий и их возраста. Г.С.  
Дзоценидзе выделяет три группы интрузий: 1) интрузии син-  
хронные вулканогенно-осадочной толще среднего эоцена  
(диабазы, монцо-диабазы, монzonиты, цеолитовое микрогаб-  
бро); 2) сиенитовые и сиенит-диоритовые интрузии, гене-  
тически связанные со среднеэоценовым эфузивным вулка-  
низмом и 3) анальцимовые сиениты, сформировавшиеся в

период верхнеэоценовой вулканической деятельности. На  
основании полного сходства минерального состава диаба-  
зов и монцо-диабазов ~~с нижними андезитовыми покровами~~ вулканической толщи среднего эоцена, Г.С. Дзоценидзе (1948)  
первые относит к силловой фации среднеэоценового вулка-  
низма. Цеолитовые же микрогаббро относятся им к жиль-  
ной серии верхних среднеэоценовых андезито-базальтов.

Интрузии ~~сиенитового и сиенит-диоритового~~ соста-  
ва распространены, главным образом, в западной части  
Аджаро-Триалетии. Наиболее крупными среди них являются  
Вакиджварская и Мерисская (до 20 - 25 км<sup>2</sup>).

Основываясь на общности минерального состава си-  
енит-диоритовых интрузий, их пространственной приурочен-  
ности к среднеэоценовой вулканогенно-осадочной толще, а  
также принимая во внимание наличие гальки сиенита в ба-  
зальных конгломератах верхнеэоценовых отложений, Г.С. Дзо-  
ценидзе (1948) приходит к выводу о генетической связи  
сиенит-диоритовых интрузий со среднеэоценовыми эфузива-  
ми.

Аналитимовые сиениты, которые приурочены к пере-  
ходной зоне от Аджаро-Триалетской геосинклинали к Гру-  
зинской глыбе, генетически связываются со щелочной вул-  
каногенной толщей, имеющей широкое развитие в этом рай-  
оне. Такова в общих чертах генетическая схема Г.С. Дзоце-  
нидзе о развитии палеогенового интрузивного вулканализма  
Аджаро-Триалетской складчатой системы.

По П.Д. Гамкрелидзе (1949), габбро-диоритовые ин-  
трузии центральной части Аджаро-Триалетии (Дзама, Зека-  
ри) должны иметь происхождение, аналогичное сиенитовым и сиенит-диоритовым интрузиям западной части (Вакидж-  
вари, Мериси и др.).

Отличны от предыдущих исследователей взгляды  
В.Р. Надирадзе (1955), который все интрузии Аджаро-Три-  
алетии подразделил на пять групп, каждая из которых со-  
ответствует отдельной интрузивной фазе. Три из них (три-  
алетская, аджарская и саирнская) соответствуют орогене-

тическим фазам Аджаро-Триалетской складчатой системы, а две (бормская и ахалцихская) связаны с нисходящими движениями геосинклиналии.

Среди сиенитовых и сиенит-диоритовых интрузий В.Р.Надирадзе (1955) различает две возрастные группы. В первую группу входят Вакиджварская, Дзамская и Зекарская интрузии, которые соответствуют предверхнезооценовой, триалетской фазе складчатости. Во второй группе объединяются интрузии Мериси, Учамла, Схалта и др. Они соответствуют, так называемой, Аджарской орофазе, заметно более молодой, чем триалетская.

В одной из работ, касающихся палеогенового вулканизма Закавказья, Г.С.Дзоценидзе (1964), выделил две среднезооценовые интрузивные фазы. К третьей фазе принадлежат интрузии, залегающие в верхнезооценовых вулканогенных известково-щелочного состава.

Г.С.Закариадзе (1964) проводил детальное геохимическое исследование интрузивных выходов Мериси и Вакиджвари. Им установлено, что Мерисская и Намонастревская интрузии резко отличаются друг от друга по минеральному и химическому составу. Аналогом Намонастреви является Вакиджварская интрузия биотитовых сиенитов. На основании геологических, петролого-геохимических и геокронометрических данных, Г.С.Закариадзе указывает на двухфазность процесса становления интрузии Мериси.

Петролого-геохимическое исследование Т.В.Иваницкого касалось интрузивных пород Аджарии (Иваницкий и др., 1968). В интрузивном магматизме этого района им условно выделены три главные фазы и две субфазы. Это: 1) габбро-габбро-диоритовая фаза, 2) фаза собственно диоритовая и 3) фаза сиенитовая. К третьей фазе относятся: подфаза кислых дайковых тел и подфаза габбро-диабазов и диабазов.

Как показано Т.В.Иваницким, породы Мерисского и Намонастрево-Чалатского массивов несут в себе черты гибридизма, который обусловлен, с одной стороны местными

и глубинными ассилиационными явлениями, с другой - наложенными процессами щелочного и кремниевого метасоматоза.

Т.Л.Иваницким и др. (1966) проводилось также изучение поведения некоторых металлогенных элементов ( $\text{Pb}$ ,  $\text{Zn}$  и  $\text{Cu}$ ) в магматических и метасоматических породах, а также в слагающих их минералах. В результате этих исследований показано, что в процессе становления пород Аджарии, в результате щелочного и кремниевого метасоматоза происходил некоторый вынос из пород свинца и цинка.

Позднее проводилось петрологическое изучение интрузий Джочо, (Закариадзе, Лордкипанидзе, 1968), Мериси (Шавишвили, 1968) и интрузивных образований восточной части Аджаро-Триалетской складчатой системы (Кекелия, Чадарейшвили, 1969). Авторами установлено, что в сложении Джочо и интрузий восточной части Аджаро-Триалетии участвуют две генетически связанные серии пород: известково-щелочные и субщелочные. Наряду с этими сериями, в Мерисском массиве представлены также и щелочные породы (эгрировые и биотитовые нордмаркиты).

Таковы в общих чертах существующие представления об интрузивных образованиях Аджаро-Триалетской складчатой системы.

## ПЕТРОГРАФИЯ ЗЕКАРСКОГО МАССИВА

### Общие сведения

Зекарская интрузия расположена в Центральной части Аджаро-Триалетской складчатой системы, на стыке Гурийской подзоны и Северной зоны. Вмещающими породами для нее служат вулканогенные породы среднего эоценена, с

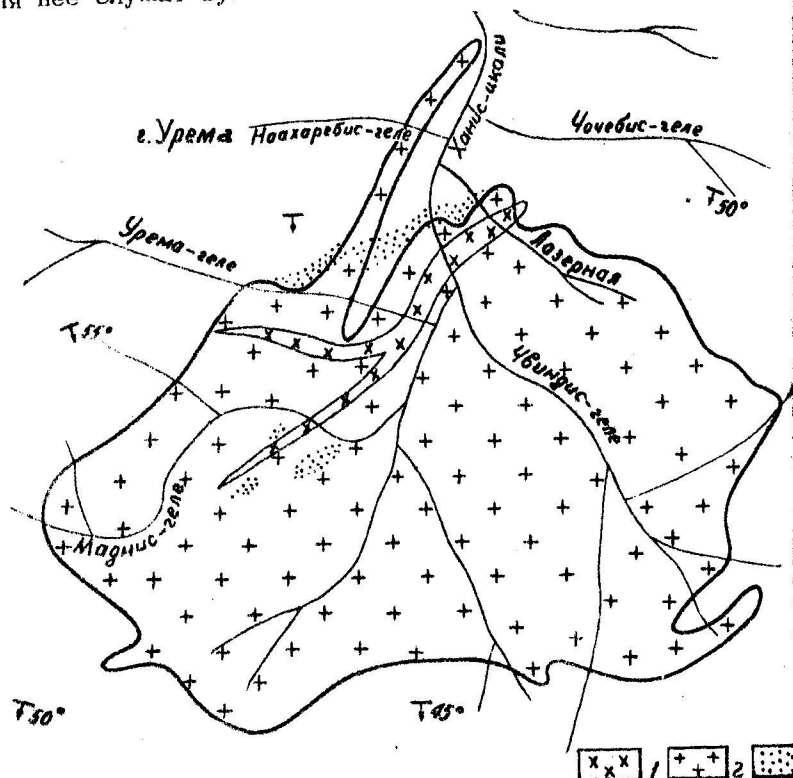


Рис. 2. Схематическая геологическая карта района Зекарской интрузии (по В.Р. Надирадзе). 1—гравийно-беслоистые туфобрекции, 2—кварцевые диориты, 3—габбро-диориты.

которыми она имеет активные контакты. Интрузия, обнажающаяся в верховьях р.Ханисцкали в районе Зекарского порога, представлена двумя разобщенными выходами. Главный ее выход имеет штокобразную форму, площадью около  $15-20 \text{ км}^2$  (рис. 2). Другой, занимающий меньшую площадь, расположен на юном склоне водораздельного хребта Ханисцкали и Баратхеви. Выходы обладают одинаковым химико-минералогическим составом и аналогичны по содержанию редких элементов (в частности ТР и редких щелочей), в связи с чем объединяются нами в единое магматическое тело.

Зекарская интрузия образует крутые контакты (особенно ярко выраженные в северо-западной части) с вмещающими породами. Внедрение ее происходило вдоль крупного сброса, осложняющего ядро Баратхевской синклиналии (Надирадзе, 1954).

Геологические данные свидетельствуют о небольшой глубине эрозионного среза Зекарской интрузии, так как в пределах интрузии отмечаются небольшие участки (реликты) или неразмытой кровли, представленные контактно измененными туфогенами (ксенолиты вмещающих пород приурочены, как правило, к тем участкам интрузии, которые расположены в сравнительном удалении от контактов); интрузия обнажается в руслах истоков р.Ханисцкали, занимая гипсометрически более низкие уровни, чем вмещающая туфо-илезито-базальтовая толща, выходы которой расположены на склонах и водораздельных хребтах (см. рис. 2).

Вышеотмеченные геологические факты говорят о том, что Зекарская интрузия представлена в основном своей типичной частью и лишь в ущелье реки Ханисцкали, в районе "Чочеби", интрузия эрозией вскрыта на глубину 200-250 м.

## ПЕТРОГРАФИЧЕСКАЯ ХАРАКТЕРИСТИКА ПОРОД ЗЕКАРСКОЙ ИНТРУЗИИ

Полевыми наблюдениями и последующей петрографической обработкой собранного материала в Зекарском массиве устанавливаются следующие разновидности пород: оливиновые габбро, габбро-пироксениты, роговообманковые габро-шонкиниты, биотитовые габбро, габбро-диориты, диориты и аплиты. Подчиненную роль играют породы, подверженные постмагматическим изменениям (в основном эпидозиты), встречающиеся в пределах Зекарского массива в виде маломощных жилоподобных тел.

В распределении выделенных разновидностей пород интрузии намечается некоторая закономерность: центральную часть массива слагают более кислые породы – габбро-диориты, диориты и аплитовые жилы, тогда как более основные разновидности – оливиновые габбро и габбро образуют внешнюю оторочку интрузивного тела, располагаясь в виде дуги вдоль северного контакта. У южной и юго-западной границ массива распространены габбро-диориты и диориты; более основные разновидности, по-видимому, скрыты под вулканогенными образованиями среднего эоцена.

Среди основных разновидностей Зекарской интрузии выделяются субшелочные их разновидности (биотитовое биотит-калишпатовое габбро), между которыми наблюдаются постепенные взаимопереходы.

Диориты, кварцевые диориты и аплитовидные породы слагают дайки и жилы. Вдоль контакта аплитов и габбро-диоритов часто наблюдаются узкие зоны, переработанные гидротермально в эпидозиты.

Отдельные участки массива насыщены жильными телами порфириотов, среди которых выделяются: 1) роговообманково-пироксеновые порфирииты, 2) плагиоклазовые порфирииты, 3) диорит-порфирииты. Жилы и дайки порфириотов приурочены к системе трещин отдельности меридионально-направления. Мощность жил не превышает 1–2 м, по простиранию они прослеживаются на 100–120 м. В структуре

пород интрузии наблюдается значительное многообразие, однако наибольшее распространение имеют гипидиоморфные, габбровые, порфировидные и реже полосчатые структуры. Для наиболее осенних разновидностей пород Зекарского массива, слагающих эндоконтактовые зоны, характерны порфировидные структуры, где порфировые выделения представлены моноклинным, реже ромбическим, пироксеном. Центральные участки Зекарской интрузии, сложенные породами габбро-диоритового и диоритового состава, обладают гипидиоморфной и габбровой структурами.

Оливиновые габбро. В краевой части северной и северо-западной границ Зекарской интрузии, в ущельях р. Ханисцкали и ее правого притока р. Чвинта распространены породы, характеризующиеся порфировидным обликом. Это темно-серые, плотные, неравномернозернистые породы, состоящие из плагиоклаза (45%), пироксена – моноклинного и ромбического, оливина (10 %), магнетита и апатита. Плагиоклаз образует полисинтетически сдвойниковые кристаллы андезин-лабрадорового состава (№ 65–60). Как правило, плагиоклазы серицитизированы, частично эпидотизированы и пелитизированы.

Порфировидный облик породы (рис. 3) создают крупные (размер зерен от 0,5 до 1,0 см) кристаллы моноклинного пироксена, которые располагаются среди более мелких выделений плагиоклаза и рудного минерала. Как показали замеры оптических констант моноклинного пироксена ( $cNg = 40\text{--}44^{\circ}$  и  $2V = \text{от } 54 \text{ до } 61^{\circ}$ ), состав его отвечает диопсиду (Треппер, 1958). Выделения оливина почти полностью замещены вторичными продуктами. Изменение оливина выражается в его серпентинизации, карбонатизации и хлоритизации. Обычно оливин замещен агрегатом высокочисленных минералов. В некоторых псевдоморфозах преобладающим вторичным минералом является карбонат. Ввиду малых размеров кристаллов оливина, нам не удалось замерить его оптические константы.

Габбро-пироксениты. В периферических частях массива залегают более основные разновидности габбровых пород. Они наблюдаются в среднем истоке р. Ханисцкали – в

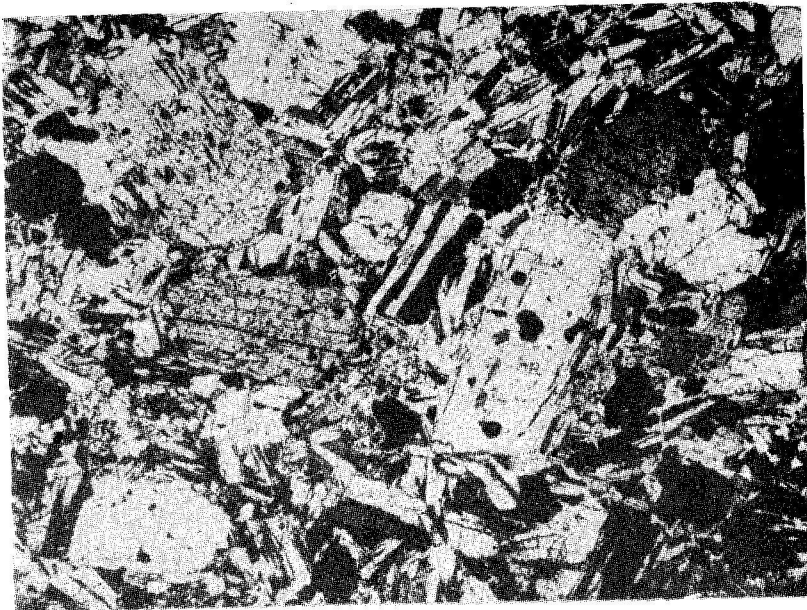


Рис. 3. Порфировидное оливиновое габбро. На снимке видны порфировые выделения пироксена. Ник +, увел. 30.

непосредственном контакте с эфузивами. Габбро-пироксениты состоят главным образом из моноклинного пироксена (около 70%), плагиоклаза и ромбического пироксена. Структура их габбровая, порфировидная (рис. 4). Наиболее идиоморфными являются кристаллы моноклинного пироксена. Порода подвержена изменениям — пироксен замещается биотитом, образующим расплывчатые выделения светло-коричневого цвета и уралитовой роговой обманкой. Причем, биотит в одних случаях замещает пироксен, в других же развивается по пироксену совместно с актинолитовой роговой обманкой. Плагиоклаз встречается в подчиненном количестве. Он образует удлиненные, беспорядочно расположенные призматические, часто сдвойниковые и зональные выделения.

22

Как показали замеры на Федоровском столике, плагиоклаз соответствует лабрадору (№ 65-70): Плагиоклаз изменен — подвержен серицитизации; в зональных кристаллах серицитом замещается ядро.

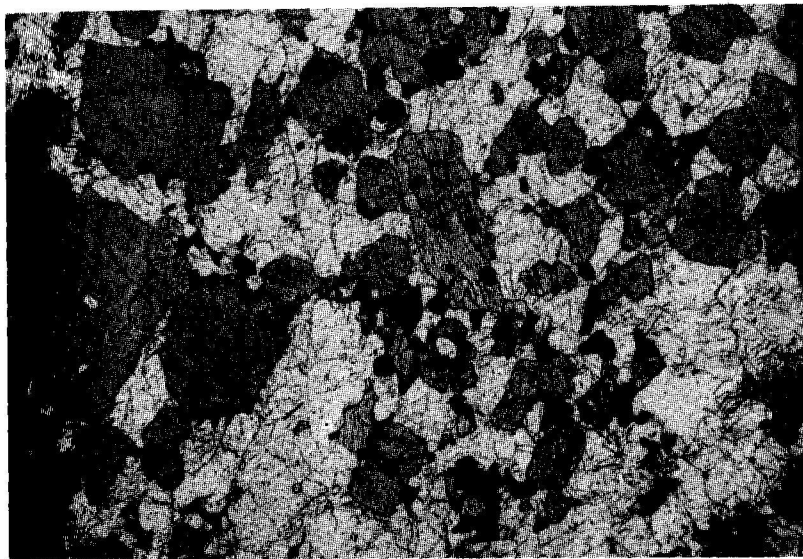


Рис. 4. Порфировидный габбро-пироксенит краевых частей массива. Видны крупные выделения моноклинного пироксена. Ник +, увел. 30.

По мере удаления от периферических частей Зекарской интрузии, оливин исчезает, и габбровые породы слагаются уже моноклинным пироксеном (35%), роговой обманкой (5–8%), плагиоклазом (55–58%) и рудным минералом. Среди габбровых пород выделяются нормальные габбро и породы, содержащие в небольшом (до 8%) количестве роговую обманку. Последние макроскопически почти не отличаются от оливинового. Все три породообразующих минерала обладают одинаковой степенью идиоморфизма (рис. 5).

23

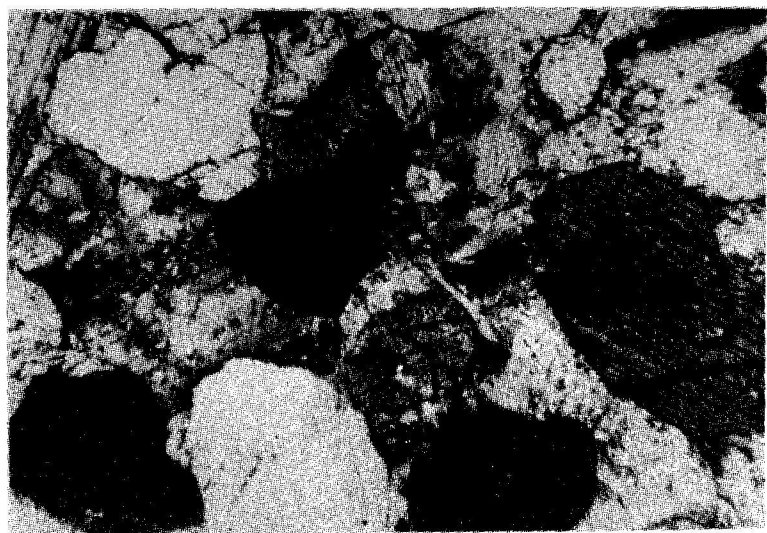


Рис. 5. Роговообманковое габбро. На снимке наблюдаются выделения одинакового идиоморфизма. Ник. +, увел. 80.

Среднее содержание темноцветных минералов составляет 40–45 %. Основным же минералом породы является плагиоклаз, который представлен лабрадором ( № 55 – 57 ), часто сдвойникован со слабо выраженным зональным строением. Пироксен диопсид-авгитового ряда (  $2V = 54\text{--}57^\circ$ ,  $cNg = 40\text{--}42^\circ$  ), роговая обманка образует единичные, порфировидные кристаллы.

Судя по оптическим константам (  $2V = 81\text{--}83^\circ$ ;  $cNg = 10^\circ$  ), она является полущелочной роговой обманкой. Реакционные взаимоотношения между пироксеном и роговой обманкой отсутствуют; лишь изредка в шлифах удалось наблюдать обрастание зерен пироксена каймой роговой обманки.

Изменения породы выражаются в частичном замещении плагиоклаза альбитом, серицитом и эпидотом; пиро-

ксен и роговой обманка – биотитом, что указывает на автогенетический характер этих изменений.

Нормальные габбро связаны постепенными переходами с габбро-пироксенитами и роговообманковыми габброН. На периферии массива образуют крупные тела, пересекаемые диоритовыми жилами. Они отличаются от описанных пород свежестью, массивным сложением и равномерным распределением в них составляющих минералов. Габбро состоит из плагиоклаза ( 52 – 60 % ) и моноклинного пироксена ( 40–45 % ), а в контакте с диоритами появляются роговая обманка и кварц. В качестве небольшой примеси присутствует магнетит. Вторичные минералы – эпидот, хлорит, дюнексен, карбон т. Преобладающей структурой является гиббровая. В краевых частях порода приобретает полосчатый облик, благодаря ориентированному расположению сланиющих ее минералов.

Плагиоклаз колеблется по составу от № 65 до № 70. Двойникование происходит по альбитовому, периклиновому и Рок-Турнэ законам. Крупные пироксены содержат пойкилитовые включения плагиоклаза. Пироксены замещаются хлоритом, эпидотом и альбитом ( продукты постмагматического изменения породы ). Пространства между призмами плагиоклаза заполнены в основном моноклинным пироксеном (  $cNg = 42\text{--}48^\circ$ ,  $2V = 60^\circ$  ), некоторые зерна которого замещены роговой обманкой и магнетитом.

В редких шлифах отмечаются зерна ромбического пироксена, присутствующих вместе с моноклинным, без видимых реакционных взаимоотношений с ним.

Габбро-шонкиниты и шонкиниты развиты в центральных участках Зекарской интрузии. Габбро-шонкиниты и шонкиниты связаны постепенными переходами с роговообманковыми и диопсидовыми габброН, а в самой центральной части интрузии, в ущельях правых притоков р.Ханисцкали, рр.Чвинта и Маднигеле образуют крупные тела, пересекаемые диоритовыми жилами. По химическому составу среди этих пород выделяются переходные разновидности между габбро и шонкинитами. Габбро-шонкиниты состоят из плагиоклаза ( 35 % ), моноклинного пироксена ( 3,5 % ), биотита

(30 - 38%) и калиевого полевого шпата (26%).

Биотит является ведущим темноцветным минералом шонкинитов и габбро-шонкинитов. Он образует крупные (до 1 см) идиоморфные кристаллы, с пойкилитовыми вростками плагиоклаза. Распределение биотита в породах отображено на микрофотографии (рис. 6). Пироксен играет подчиненную роль в породе. Полевошпатовая часть породы слагается плагиоклазом (50 - 53%) и калиевым полевым шпатом. Последний иногда имеет перититовый облик. Некоторые участки породы характеризуются монционитовой структурой.

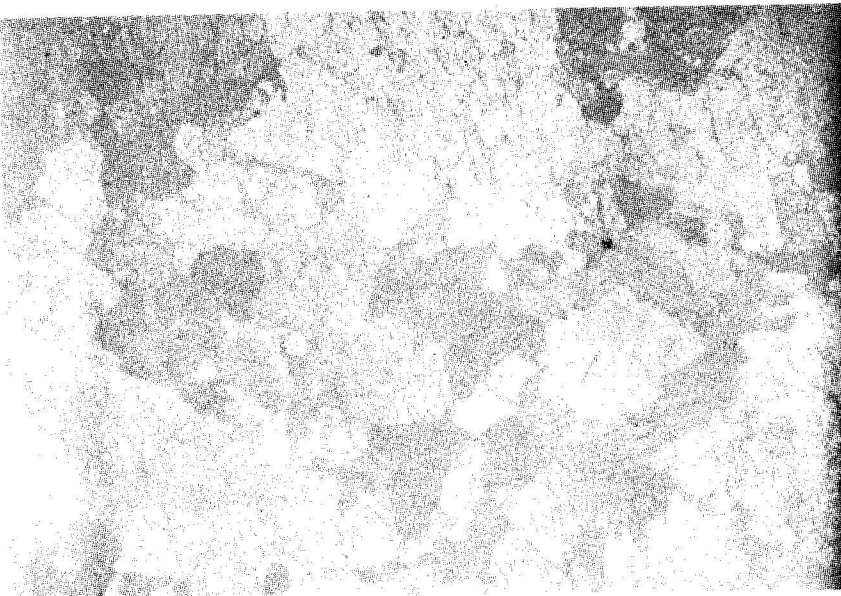


Рис. 6. Габбро-шонкинит. Скопление биотита и пироксена среди калиевого полевого шпата. Ник. +, увел. 30.

Аксессорные минералы представлены магнетитом, титаномагнетитом и апатитом. Постмагматические изменения породы выражены серицитизацией, эпидотизацией и хлоритизацией пордообразующих магматических минералов.

Габбро-диориты и диориты. Габбро-диориты и диориты встречаются в пределах Зекарской интрузии в виде обособленных тел, залегающих среди более основных пород, а также слагают секущие жилы и дайки, наблюдаемые в разных участках по всему выходу интрузии. В основном они отмечаются в центральных частях и вместе с габбро-шонкинитами занимают не более 25-30% объема Зекарского массива. Они обладают светло-серым цветом и средние и мелко-зернистым строением (размеры зерен колеблются от 0,10 до 0,5 см). Главные выходы габбро-диоритов и диоритов встречаются в ущельях рр. Чвинта и правых притоков р. Ханисцкали.

Основными минералами породы являются плагиоклаз, биотит, в подчиненном количестве встречаются роговица обманка, моноклинный пироксен и кварц; редко присутствует калишпат. Структура габбро-диоритов и диоритов гипидиоморфная (рис. 7), местами габбровая. Плагиоклаз —



Рис. 7. Габбро - диорит. Ник. +, увел. 20.

основная составляющая породы (около 70–80%). Они образуют беспорядочно расположенные идиоморфные выделения в основном ряда андезина (№ 45–50). В зональных кристаллах внешняя зона обычно более кислая (№ 25 – 30). Как правило, плагиоклаз сернистизирован, пелитизирован и эпидотизирован. Эпидот развивается вдоль микротрешина на стыке крупных зерен роговой обманки и плагиоклаза.

Роговая обманка и биотит занимают 10 – 15% всего объема породы. Роговая обманка темно-зеленого цвета с резким плеохроизмом. Редко наблюдаются реакционные взаимоотношения между роговой обманкой и биотитом.

Кварц и калишпат заполняют интегретации между плагиоклазом, биотитом и пироксеном.

Аплиты встречаются в виде маломощных крутопадающих жилок мощностью 10–20 см. Они характеризуются графической структурой сростания кварца с полевым шпатом, в их строении принимают участие равномерно-зернистый кварц, плагиоклаз, перититизированный калишпат. В редких случаях встречается биотит, почти полностью замещенный агрегатом эпидота и хлорита.

Аплиты морфологически представлены жилообразными секущими телами с резкими контактами с габбро-диоритами.

### СОСТАВ И НЕКОТОРЫЕ ВОПРОСЫ ГЕНЕЗИСА ПОРОДОСБРАЗУЮЩИХ МИНЕРАЛОВ ЗЕКАРСКОЙ ИНТРУЗИИ

Породообразующими минералами пород Зекарской интрузии являются плагиоклаз, пироксен, оливин, роговая обманка, биотит, калишпат. Рассмотрим особенности их химического состава, а также некоторые вопросы их генезиса.

Плагиоклазы являются наиболее распространенными минералами пород Зекарской интрузии. Они образуют узкие призматические кристаллы, для которых характерны полисинтетические двойники (рис. 8). Для плагиоклазов пород, слагающих граничные части массива – порфировид-

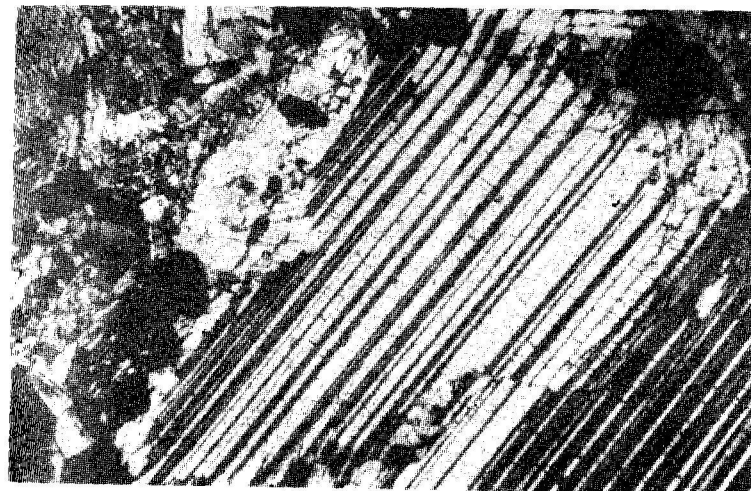


Рис. 8. Полисинтетические двойники плагиоклаза (№60) в габбро. Ник. +, увелич. 90.

ых оливиновых габбро – чрезвычайно характерно зональное строение. Зональность таких плагиоклазов прямая, переходы между зонами происходят в большинстве случаев, постепенно, без видимых резких границ. Центральные части зональных кристаллов обычно более основные, чем краевые. Максимальное значение этих колебаний составляет 15–20% Ап. (Замеры плагиоклазов производились на универсальном стеклянке Федорова). В таблице 1 приводятся номера плагиоклазов габбро-диоритовых пород Зекарской интрузии с сопоставлением их с плагиоклазами соответствующих типов пород, приводимых Б. Трегером (1935).

Как видно из табл. 1, состав плагиоклаза испытывает заметные колебания от оливиновых габбро до габбро-диоритов и аплитов. В этом ряду пород плагиоклаз меняется от биотинита (№ 75) в габбро (слагающих внешнюю окраину Зекарского интрузивного массива) до андезин-лабрадора (№ 45–58) в габбро-шонкинитах и диоритах централь-

ной части. Однако эта закономерность, в ряде случаев, нарушается, так как состав плагиоклазов не постоянен и в самих габбровых разновидностях с повышенной основностью. Пределы отмеченных колебаний не превышают 20% содержания амортитовой составляющей. Наиболее основным плагиоклазом (№ 70–75) слагаются приконтактовые породы, северной и северо-западной части интрузии.

Таблица 1  
Составы плагиоклазов габбро-диоритовых пород Зекарской интрузии

№ образца	Порода	Состав плагиоклазов, % содержания Ап	Закон двойникования	Обычные составы плагиоклазов для данного типа пород (по В. Трегеру)
1216	Габбро	70–80	Альбитовый	—
1235	То же	63–65	Карлсбадский	64
165	"	60–65	То же	—
215	"	64–66	"	—
248	"	63	"	—
240	Габбро-рого-вообманковое	58–50	Альбитовый	70
271	Габбро-мононит	55	То же	40
220	Габбро-диорит	45	"	45
222	То же	46	"	45
242	Габбро-шонкинит	58	"	60
639	Аплитовая жила	20–30	"	—

Состав плагиоклазов из щелочных разновидностей габбро-шонкинитов и габбро-мононитов более выдержаный и колеблется в пределах от 48 Ап до 58 Ап. Основность плагиоклаза уменьшается до 40–45% Ап в габбро-диоритах. Найболее кислые плагиоклазы – андезины (№ 25–30) – присутствуют в диоритах и аплитах.

При сравнении составов плагиоклазов город Зекарской интрузии со средними составами плагиоклазов из соответствующих типов пород, по В. Трегеру, выявляются некоторые характерные особенности: плагиоклазы Зекарских габбро более основного состава, тогда как в щелочных (шонкиниты, монониты) и в кислых (диориты, габбро-диориты) они совпадают с данными, приводимыми В. Трегером (1935). Основные и среднекислые плагиоклазы по характеру кристаллов и высокой степени идиоморфизма выделяются ими как первичная магматическая генерация этого минерала. Помимо отмеченных в Зекарской интрузии, выделяются пирометасоматические плагиоклазы, отвечающие по составу альбит-олигоклазу. Нередко процесс альбитизации равнит довольно интенсивно: при этом образуются крупные метакристаллы шахматного альбита. Образование последнего чисто связано с процессом пропиллитизации, где альбит встречен в ассоциации с эпидотом, хлоритом и кальцитом. Вопросы, связанные с постмагматическими новообразованиями минералов, будут рассмотрены ниже.

**Пироксен.** Пироксены в породах Зекарской интрузии являются преобладающими темноцветными минералами. В основном они представлены моноклинным пироксеном; гораздо меньшим распространением пользуются ромбические пироксены, встреченные нами совместно с моноклинными линн. в нескольких шлифах.

Моноклинный пироксен обнаружен почти во всех разновидностях пород. Исключение составляют кварцевые диориты и аплиты, где пироксен отмечен в виде единичных ромбических зерен. В табл. 2 приведены оптические константы пироксенов.

Таблица 2

## Оптические константы пироксенов Зекарской интрузии

№ образца	Показатели преломления			cNg ffg	2V
	Ng	Nm	Np		
269	1,699	1,681	1,673	40°	54°
236	1,701	1,685	1,678	42°	55°
215	-	-	-	44°	57°
K-1	-	-	-	45°	61°
259	-	-	-	42°	56°
236 <sup>1</sup>	-	-	-	1	80°

Замеры оптических констант пироксенов производились из различных типов пород. Как видно из табл. 2, все они обладают близкими значениями (с незначительными колебаниями) оптических констант. Такие константы, по А.Н. Винчеллу (1953), соответствуют диопсиду. Ромбический пироксен образца 236<sup>1</sup> соответствует по составу гиперстену (табл. 2). Принадлежность исследованных моноклинных пироксенов к диопсидовой группе подтверждается также силикатными анализами (табл. 3).

Таблица 3

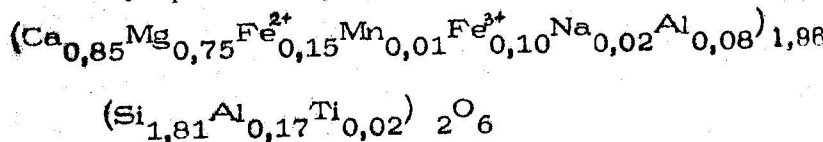
## Химические анализы пироксенов (вес. %).

№ пробы и название породы	Весовые проценты окислов											
	SiO <sub>2</sub>	TiO <sub>2</sub>	Al <sub>2</sub> O <sub>3</sub>	Fe <sub>2</sub> O <sub>3</sub>	FeO	MgO	MnO	Na <sub>2</sub> O	K <sub>2</sub> O	P <sub>2</sub> O <sub>5</sub>	SO <sub>3</sub>	П.п.
215 габбро	49,04	0,02	5,77	3,26	4,88	13,31	21,08	0,4	0,86	-	0,51	0,24
271, габбро- микроконтакт	48,94	0,84	6,81	2,88	4,96	10,93	20,85	0,44	0,87	0,25	0,51	0,16
K-1 пиро- ксеновый варфорт	48,80	1,08	5,86	4,98	4,92	13,38	21,30	0,18	0,44	0,27	0,03	-
11 <sup>x</sup> ) габ- бролитогранит	50,06	0,97	2,59	4,20	6,15	13,01	20,90	0,56	0,88	-	-	0,49
15 <sup>y</sup> сланец	50,15	0,66	2,92	2,78	5,81	12,81	22,41	0,98	0,89	-	-	0,19

<sup>x)</sup> Анализы заменены из работы Т.В. Иванникова и др. 1968.

Пересчет анализов по методу И.Д.Борнеман-Старын-  
кевич (1964) дает следующие кристаллохимические форму-  
лы:

1. Пироксен (обр. 215)



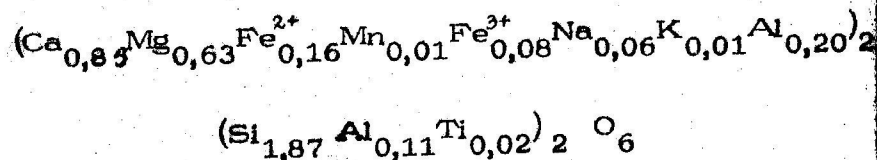
Железистости:  
2

$$f^0 = 37,8 \text{ ат. \%}$$

$$f' = 17,1 \text{ ат. \%}$$

$$f'' = 24,8 \text{ ат. \%}$$

2. Пироксен (обр. 271)



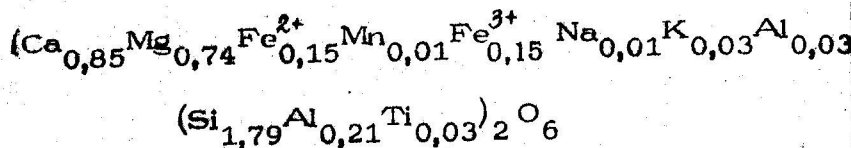
Железистости:

$$f^0 = 33,6 \text{ ат. \%}$$

$$f' = 20,3 \text{ ат. \%}$$

$$f'' = 21,8 \text{ ат. \%}$$

3. Пироксен (обр. К-1)



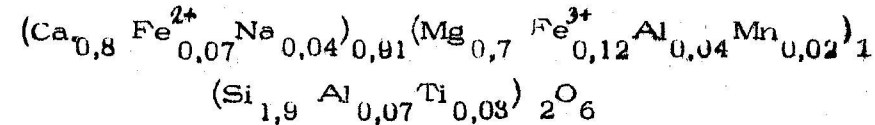
Железистости:

$$f^0 = 47,2 \text{ ат. \%}$$

$$f' = 17,0 \text{ ат. \%}$$

$$f'' = 28,1 \text{ ат. \%}$$

4. Пироксен № 11 (Чалати)



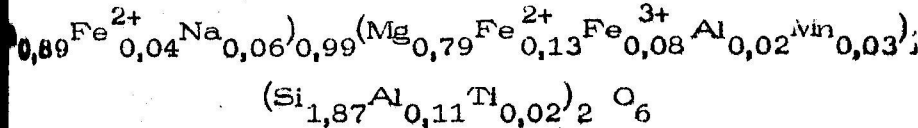
Железистости: 1

$$f^0 = 37,7 \text{ ат. \%}$$

$$f' = 21,0 \text{ ат. \%}$$

$$f'' = 30,0 \text{ ат. \%}$$

5. Пироксен № 13 (Намонастреви)



Железистости:

$$f^0 = 36,8 \text{ ат. \%}$$

$$f' = 18,6 \text{ ат. \%}$$

$$f'' = 23,0 \text{ ат. \%}$$

2 Принимается следующее выражение железистости

$$f^0 = \frac{Fe_2O_3}{FeO + Fe_2O_3} \cdot 100 \text{ атомн. \% - удельная железистость,}$$

$$f' = \frac{FeO}{FeO + MgO} \cdot 100 \text{ атомн. \% - "стандартная" желези-} \\ \text{стость,}$$

$$f'' = \frac{(FeO + Fe_2O_3)}{FeO + MgO + Fe_2O_3} \cdot 100 \text{ атомн. \% - общая железистость.}$$

Как видно из приведенных кристаллохимических формул пироксенов, состав их отвечает составу диопсида-салита. Обладая одинаковым содержанием кремнезема, они отличаются лишь незначительными колебаниями в содержании следующих компонентов - закисного железа и магнезии.

Наличие в пироксенах таких элементов, как щелочи ( $K$ ,  $Na$ ),  $Mn$  и др., можно объяснить изоморфным вхождением последних в кристаллическую решетку пироксена. Помимо главных петрогенных элементов в пироксенах обнаружены также некоторые элементы - примеси.

В табл. 4 приводится спектральный анализ пироксена из габбро-диоритовых пород Зекарской интрузии.

Таблица 4<sup>x)</sup>

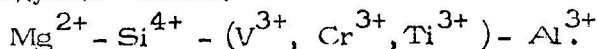
Элементы	Mn	Ni	Co	Ti	V	Cr	Cu
Количество, %	0,1	$5 \cdot 10^{-3}$	$3 \cdot 10^{-3}$	0,3	$8 \cdot 10^{-3}$	$1 \cdot 10^{-2}$	$5 \cdot 10^{-3}$

Элементы	Zn	Sn	Ge	Ga	Sc	Y	Yb
Количество, %	$1 \cdot 10^{-2}$	$1 \cdot 10^{-4}$	$1 \cdot 10^{-4}$	$7 \cdot 10^{-2}$	$5 \cdot 10^{-3}$	$1 \cdot 10^{-4}$	$1 \cdot 10^{-4}$

<sup>x)</sup> Анализ произведен А.Н.Дудыкиной.

Как видно из таблицы, в пироксene присутствуют марганец, никель, кобальт, титан, ванадий, хром, медь, цинково, германий, галлий, скандий, иттрий, иттербий, бор. Особый интерес представляет наличие таких элементов, как кобальт, никель, титан, хром, ванадий, характерных для магмы основного состава. Наличие в нем трехвалентных катионов  $Ti^{3+}$ ,  $Cr^{3+}$ ,  $V^{3+}$  и др. можно объяснить следующим образом. Как показано А.И.Цветковым (1951).

кремний в высокотемпературных бесщелочных пироксенах может замещаться алюминием, следовательно, обнаруженные трехзарядные ионы могут заместить в кристаллической решетке пироксена магний и тем самым сбалансировать заряд решетки. Изоморфизм этот может быть представлен следующей схемой:



Таким образом, можно считать, что алюминий в бесщелочном пироксене играет своеобразную кристаллохимическую роль: с одной стороны замещающего кремний в кремнекислородных тетраэдрах, а с другой - аккумулятора трехвалентных катионов  $Ti^{3+}$ ,  $Cr^{3+}$ ,  $V^{3+}$  и др.

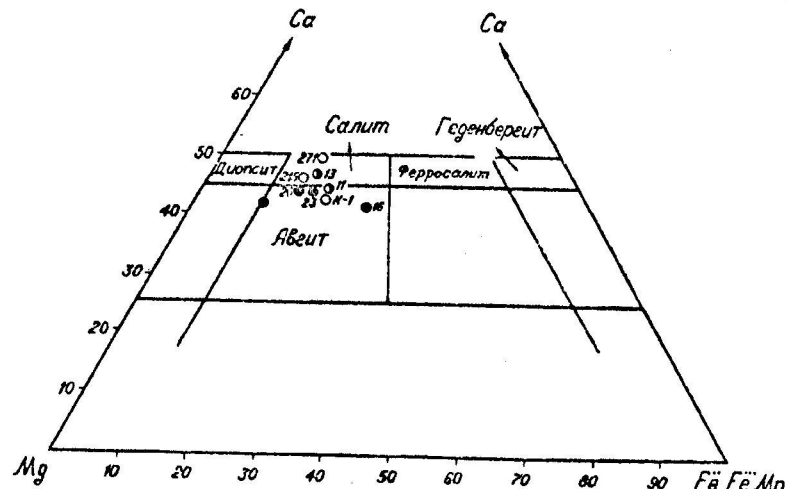


Рис. 9.

Номенклатура моноклинных пироксенов в системе  $CaMgSi_2O_6$ - $CaFeSi_2O_6$ - $Fe_2Si_2O_6$ - $Mg_2Si_2O_6$  (Дир. У.И. и др., 1965). Белые точки - пироксены Зекари, черно-белые - пироксены Мериси, черные - пироксены из лав Газайских островов, обр. К-1 - пироксен из вулканогенов Зекари.

Таблица 5.

С целью сравнения нами приводятся химические анализы пироксенов из других интрузий западной части Ад-жаро-Триалетской складчатой системы и химический анализ пироксена из пироксеновых порфиритов Зекарского массива (табл. 3). Как видно из таблицы, а также из приведенных кристаллохимических формул, состав их отвечает составу диопсид-салитавгитов. На диаграмме (рис.9) показаны пределы колебаний исследованных пироксенов из Зекарского массива и из Намонастревского и Чалатского выходов интрузии Мериси (образцы 11 и 13). Из этой диаграммы и на основании вышеизложенного следует, что: 1) составы пироксенов из Зекарской, Намонастревской и Чалатской интрузии, близки между собой и отвечают салит-авгитам, 2) они обнаруживают большое сходство с пироксенами из порфиритов вмещающей толщи и лав Гавайских островов, 3) общность химизма рассматриваемых пироксенов, наряду с другими факторами (аналогия химического состава габбройдов и эффузивов и геологическая их сопряженность), может указывать на происхождение интрузии и вмещающей вулканической толщи из единого очага первичной магмы основного состава.

Биотит. Биотит в Зекарских породах встречается повсеместно, участвуя почти во всех парагенезисах. Исключение составляют оливиновые габбро, где биотит развивается в виде мелкочешуйчатых агрегатов по пироксену или образует лепидобластовые скопления, ассоциирующие с актинолитом и эпидотом и относятся к позднemагматическим образованиям.

Наибольшим распространением биотит пользуется в субщелочных разновидностях, где он является ведущим темноцветным минералом. По характеру выделения<sup>3)</sup> и степени идиоморфизма подобные биотиты с уверенностью можно отнести к типичным магматическим образованиям. Оптические константы биотитов приведены в табл. 5.

№ образца	Порода	Ng = Nm	(-) 2V
242	Габбро-шонкинит	1,619	Практически равен нулю
449	Габбро-диорит	1,623	То же
271	Шонкинит	1,620	"
165-1	Габбро	1,625	"
240	Габбро-монционит	1,622	"

Как видно из таблицы, оптические свойства биотитов из различных разновидностей габбровых пород Зекарской интрузии сходны между собой. По данным А.Н. Винчелл и Г. Винчелл (1953), биотиты с подобными оптическими свойствами принадлежат к магнезиальным разновидностям.

Для сравнительной оценки химизма биотита в качестве параметра мы выбрали железистость. Определение ее по данным известных оптических констант возможно с помощью диаграммы В.С. Соболева (1950), которая построена для биотитов из гранитоидов, а также из обычных.

3) Одним из признаков отнесения минералов переменного состава к минералам магматического происхождения в пределах одного геологического тела является относительное постоянство их состава, а также взаимоотношение с ассоциирующими с ними минералами. Магматические биотиты в Зекари характеризуются постоянной железистостью и, в основном, не находятся в реакционных взаимоотношениях с ассоциирующими с ними минералами, за исключением краевых частей, где быстрый спад температуры зафиксирован неравновесными реакционными взаимоотношениями между темноцветными минералами габбройдов.

обогащенных фтором пегматитов. Как показало сравнение, значения большого показателя преломления —  $N_{\text{Fe}}/N_{\text{Mn}}$  биотитов Зекарской интрузии ложатся в поле низкой железистости диаграммы В.С. Соболева.

Принадлежность исследованных биотитов к магнезиальным их разностям подтверждается также силикатными анализами, приведенными в табл. 6 и 7.

Таблица 6

Химический состав биотита из Зекарской интрузии

Окислы	Весовые %	Атомные количества	Атомные отношения (a)	Число атомов катионов	$W_K$
$\text{SiO}_2$	37,19	619	0,6198	2,87	11,48
$\text{TiO}_2$	2,68	33	0,335	0,15	0,60
$\text{Al}_2\text{O}_3$	14,98	274	0,2744	1,27	3,91
$\text{Fe}_2\text{O}_3$	3,65	45	0,0456	0,21	0,63
$\text{FeO}$	11,73	163	0,1632	0,75	1,50
$\text{MnO}$	0,34	5	0,0052	0,02	0,04
$\text{MgO}$	14,89	369	0,3694	1,71	3,42
$\text{CaO}$	2,23	39	0,0398	0,18	0,36
$\text{Na}_2\text{O}$	0,81	26	0,0260	0,12	0,12
$\text{K}_2\text{O}$	6,94	147	0,1472	0,68	0,68
$\text{SO}_3$	0,18	—	—	—	—
$\text{P}_2\text{O}_5$	0,33	—	—	—	—
Влага	0,21	—	—	—	—
П.П.п.	3,38	—	0,3754	1,74	
Сумма	99,54				

Делитель — 1,5111 : 7 = 0,2158

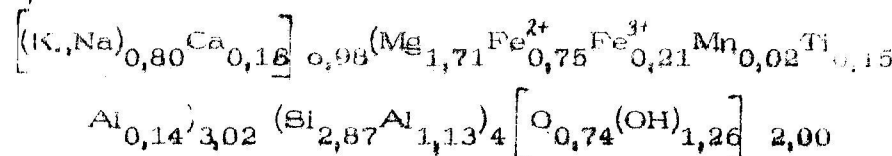
Избыток  $(\text{OH}) = 17,4 - 1,26 = 0,48$

0,9%  $\text{H}_2\text{O}$

Аналитик К.Ш.Мтиулишвили.

Пересчет химического анализа биотита по методу И.Д.Борнеман-Старынкевич (1964) дает следующую кристаллохимическую формулу:

40



избыток воды : (+0,9%  $\text{H}_2\text{O}$ )

Железистости:

$f^0 = 41,7$  ат. %

$f' = 30,5$  ат. %

$f'' = 96,1$  ат. %

Роговая обманка. Роговая обманка — изменение распространенная из темноцветных минералов в габб-эдиоритах Зекари. Она представлена двумя генерациями, выделяющимися по оптическим свойствам и по взаимоотношениям

другими минералами. Первичная роговая обманка образует идиоморфные выделения, без заметных реакционных взаимоотношений с пироксеном. В различных фациях пород она представлена титанистой разновидностью базальтической роговой обманки — керсунитом. Оптические константы ее следующие: ( $-$ )  $2V = 81-89^\circ$ ,  $\text{Ng} = (-) 10-11$ ,  $\text{Ng} = 1,703$ ,  $\text{Nr} = 1,674$ ,  $\text{Nm} = 1,690$ ; ярко выраженный плеохроизм от зеленовато-коричневого до желто-зеленого цветов. Следует отметить, что о наличии керсунита в породах Аджаро-Триалетии было впервые указано М.В.Лордкианидзе и Г.Ш.Надарейшвили (1964), По И.Ферхугену (1962) и Г.С.Кеннеди (1948), входению титана в кристаллическую решетку силикатов (в конкретном случае роговой обманки) способствует недосыщенность магмы кремнеземом и ее относительное богатство алюминием,

Вопрос относительно генезиса керсунита является еще далеко неясным. Как отмечает Аоки (1959), керсунит возникает в результате ассимиляции гранитного материка и что он не является нормальным продуктом кристаллизации первичной магмы.

1) Здесь принимаются те же выражения железистости, что и на стр. 35

Таблица 7

Химический состав биотита из габбро-диорита (обр. 11) выхода Чалати Мерисской интрузии (Иваницкий и др., 1968).

Оксиды	Весовые %	Молекулярные количества	Ат.кол. кислорода	Число атомов кислорода, рассчитанное на 12	Ат.коли- чества катионов	Чис- ло ато- мов кати- онов
SiO <sub>2</sub>	37,77	629	1258	6,1	629	3,05
TiO <sub>2</sub>	5,45	68	136	0,66	38	0,33
Al <sub>2</sub> O <sub>3</sub>	6,81	67	201	0,97	134	0,64
Fe <sub>2</sub> O <sub>3</sub>	9,50	59	177	0,86	118	0,58
FeO	9,38	130	130	0,63	130	0,63
MnO	0,37	5	5	0,024	5	0,024
MgO	16,02	397	397	1,9	397	1,9
CaO	5,31	95	95	0,46	95	0,46
BaO	0,21	1	-	-	-	-
Na <sub>2</sub> O	0,62	1	-	-	-	-
K <sub>2</sub> O	6,10	65	65	0,32	130	0,64
Cr <sub>2</sub> O <sub>3</sub>	0,004	-	-	0,32	-	-
P <sub>2</sub> O <sub>5</sub>	0,07	-	-	-	-	-
H <sub>2</sub> O+	1,91	106	106	0,51	212	1,02
H <sub>2</sub> O-	0,09	-	-	-	-	-
Сумма	100,21		2470			

Общий делитель: 2470 : 12 = 206. Аналитик - Б.Ко-биашвили.

В породах Зекарской интрузии, в которых встречается керсунит, не наблюдаются какие-либо признаки, указывающие на ассимиляцию габбровой магмой более кислого материала. Поэтому керсунит нами рассматривается, как нормальный продукт кристаллизации перчиной основной магмы.

В табл. 8 приведен полуколичественный спектральный анализ роговой обманки. Как видно из таблицы, в роговой обманке из Зекарской интрузии обнаружены элементы - примеси характерные для основных магм. Гаковыми являются: хром, ванадий, никель, кобальт, титан, медь и др.

Таблица 8  
Спектральный анализ роговой обманки  
(Зекарская интрузия)

Элементы	Si	Al	Mg	Ca	Fe	Mn	Ni	Co	Ti
Количество, %	10	10	5	10	5	0,1	0,003	0,03	1-3
<hr/>									
<hr/>									
Элементы	V	Zn	Cu	Pb	Ag	Sn	Ge	Sc	
Количество, %	0,05	0,005	0,03	0,008	0,001	10 <sup>-4</sup>	0,01	0,01	
<hr/>									
Элементы	Y	Yb	Na	K	Li				Sr
Количество, %	0,001	10 <sup>-4</sup>	3	1,0	0,01				0,1

Калиевый полевой шпат, Калиевый полевой шпат встречается в щелочных разновидностях пород - габбро-шонкнитах и монцонитах, а также в диоритах и аплитовидных породах, образуя ксеноморфные выделения, заполняющие ингерсии между ранее выделившимися минералами. Среднее содержание его в породах не превышает 3-5%, достигая в шонкнитах и аплитовидных жилах - 15-25%.

Калишпаты Зекарской интрузии обладают микронеритовым строением. Они содержат вrostки альбита, ориен-

тированные вдоль определенных кристаллографических направлений. Угол оптических осей калишпата колебается от  $80^{\circ}$  до  $85^{\circ}$ . Оптические константы калишпатов из Зекарской интрузии даны в таблице 9.

Таблица 9

№ пробы	- 2V		(010)	(001)	Разновид- ность кали- шпата
	преде- лы	средн.	Ng	Nm	
1	81-83	82	4.5	10.11	Анортоклаэ
2	82	62	3.5	10.14	Анортоклаэ
3	68-70	69	2	4.6	Ортоклаэ
4	60-64	62	3	14	Ортоклаэ
5	58-68	62	10	-	Ортоклаэ

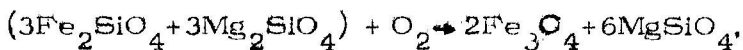
Как видно из таблицы, пределы колебаний оптических констант калиевых полевых шпатов незначительны. Согласно А.С.Марфунину (1980), они относятся к промежуточным ортоклаазам моноклинной и триклинической сингонии. По этим же константам зекарские калишпаты можно отнести к микроперититам (Марфунин, 1980). Об этом свидетельствуют также данные, полученные при изучении шлифов.

Оlivиn, слагающий вместе с основным плагиоклазом периферические зоны Зекарского массива, в большинстве случаев полностью замещен серпентином и агрегатами хлорита, карбоната, слюды и рудного минерала, с сохранением характерных форм.

Как известно (Дмитриев, 1962), степень измененности оливина, т.е. процент содержания продуктов замещения оливина относительно общего количества этого минерала зависит от содержания воды в магме: при повышенном содержании последней оливин замещается вторичными минералами (серпентином, бруцитом и т.д.) еще до полного застывания породы. Таким образом, степень его измененности может свидетельствовать о распределении и относительном количестве летучих в теле интрузии. Как видно на примере Зекарской интрузии, почти полное отсутствие

свежего оливина может указывать на немаловажную роль воды при формировании оливиновых габбро. Часто оливин обрастает реакционной каймой ромбического пироксена, который, в свою очередь, замещается моноклинным.

В некоторых случаях наблюдается заметное скопление магнетита паряду с ромбическим пироксеном. Образование последних объясняется как результат реакционного взаимоотношения оливина и остаточного расплава (Кипо, 1950). Однако образование каемки ромбического пироксена и обильное количество магнетита может быть также объяснено с точки зрения окисления оливина (Йодер, Тилли, 1965) по следующей реакции:



Таким образом, немаловажную роль при возникновении ромбического пироксена и магнетита может играть механизм окисления, а не разорбции оливина жидкостью.

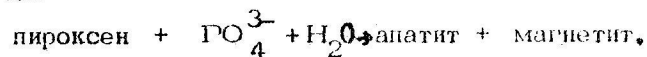
Аксессорные минералы Зекарской интрузии представлены магнетитом, апатитом и реже сфеном. Среди названных минералов первый распространен наиболее широко. Он встречается во всех разновидностях исследованных пород. Выделения магнетита <sup>5)</sup> приурочены в основном к темноцветным составляющим породы и характеризуются самыми разнообразными взаимоотношениями с ними. Из рудных минералов В.Р.Надирадзе (1954) отмечает также ильменит.

Часто магнетит играет роль цементирующего минерала. Цементацию кристаллов породообразующих минералов магнетитом В.Р.Надирадзе (1954) объясняет наличием в магме "миниатюрного очага с фузивным процессом застывания интрузии."

Апатит встречается в виде удлиненных кристаллов и мелких зерен (до 0,1 мм), включенных в плагиоклаэ, би-

5) Магнетит диагностирован в полированных шлифах.

отйт и пироксен. Иногда встречаются хорошо образованные кристаллы с гексагональными поперечными разрезами. В ряде случаев, в результате застывания никроксена, образуются метакристаллы апатита совместно с магнетитом. Эта реакция схематически может быть представлена в следующем виде:



Как показал В.В.Щербина (1966), вполне возможна существование свободного аниона  $\text{PO}_4^{3-}$  в силикатных расплавах. Несмотря на близость размеров радиусов  $\text{PO}_4^{3-}$  и  $\text{SiO}_4^{4-}$ , равных соответственно  $2,38\text{\AA}^0$  и  $2,40\text{\AA}^0$ , они имеют различную валентность, а отсюда величину отношения заряда к размеру аниона их резко различна:  $\text{PO}_4^{3-} = 1,26$  и  $\text{SiO}_4^{4-} = 1,67$ , т.е. фосфорная кислота сильнее кремниевой.

Таким образом, в отличие от кремниевой кислоты, встречающейся в природе в виде изополикислот, фосфорная кислота встречается в магматических системах в виде самостоятельного простого аниона  $\text{PO}_4^{3-}$ .

Из вышесказанного следует, что в Зекарской интрузии апатит представлен двумя генерациями: 1) апатит первой генерации кристаллизовался непосредственно из расплава; 2) апатит второй генерации образовался в результате воздействия остаточного раствора, содержащего анион  $\text{PO}_4^{3-}$  на твердую фазу, представленную пироксеном. При этом совместно с апатитом образуется магнетит, как это показано в вышеприведенной схеме.

Сфен встречается в редких случаях. Выделения его, как правило, приурочены к биотиту, располагаясь по трещинам спайности последнего. В очень редких случаях сфен наблюдается в виде характерных клиновидных и конвертообразных кристаллов.

Помимо отмеченных акцессорных минералов, в породах Зекарского массива встречаются также пирит и халькопирит. Они располагаются в породе в виде мелких вкраплеников. Очень часто пирит ассоциирует с магнетитом.

Заканчивая характеристику главных породообразующих минералов Зекарской интрузии, необходимо коснуться вопроса кристаллизации и последовательности выделения минералов из магматического расплава. Этот вопрос представляет большой интерес, так как при выделении группы минералов, кристаллизующихся одновременно или в какой-нибудь последовательности, можно судить об эволюции магматического расплава в ходе кристаллизации.

На основании анализа структурных взаимоотношений минералов, нами выявлены некоторые характерные особенности кристаллизации породообразующих минералов Зекарской интрузии.

1. Как уже указывалось, между оливином и моноклинным пироксеном наблюдались реакционные взаимоотношения, хотя не столь ярко проявленные. В оливиновом габбро кристаллы оливина обрастают пироксеном, состав которого отвечает салиту. Такое взаимоотношение оливина и пироксена не является повсеместным явлением. В большинстве случаев, ближе к центральным частям интрузии, реакционные взаимоотношения между оливином и пироксеном не отмечаются. Порода слагается из оливина, пироксена и основного плагиоклаза, обладающих одинаковой степенью идiomорфизма. Судя по характеру идиоморфизма, порядок кристаллизации оливина, диопсида и плагиоклаза должен определяться эвтектическими (или же близкими к эвтектике) соотношениями между ними. Интересно отметить, что аналогичная картина, однако выраженная гораздо более ярко, наблюдалась некоторыми исследователями в породах габроидов Елетьозерского массива в Карелии (Богачев и др., 1963). Существование эвтектики между оливином, диопсидом и плагиоклазом подтверждается экспериментальными данными. Система диопсид-форстерит-аортит изучалась Е.Ф.Осборном и Д.Б.Тэтом (1952), которыми показано, что кристаллизация в этой системе начинается одной из фаз: либо форстеритом, либо диопсидом, либо аортитом; затем две из них выделяются совместно, а при температуре  $1270^\circ\text{C}$

начинается одновременная кристаллизация всех трех фаз.

Наблюдаемые в некоторых породах Зекарской интрузии взаимоотношения между вышеперечисленными минералами согласуются с экспериментальными данными Е.Ф. Осборна и Д.Б.Тэта. Однако, гораздо чаще в оливиновых габбро оливин представлен в виде неустойчивого реликта, обрастающего пироксеном.

Породы, сложенные двухминеральным парагенезисом (плагиоклазом и пироксеном), также являются результатом кристаллизации эвтектического расплава. Как показано Н.Л.Боузеном (1934), диопсид с анортитом образует бинарные эвтектики.

2. В габбро-шишкитах, монцонитах и габбро-диоритах минеральные ассоциации слагаются, наряду с плагиоклазом и пироксеном, также биотитом, роговой обманкой и калишпатом. Обычными для этих пород являются четырехминеральные парагенезисы без видимых реакционных взаимоотношений между минералами. Однако нами отмечены и ре-

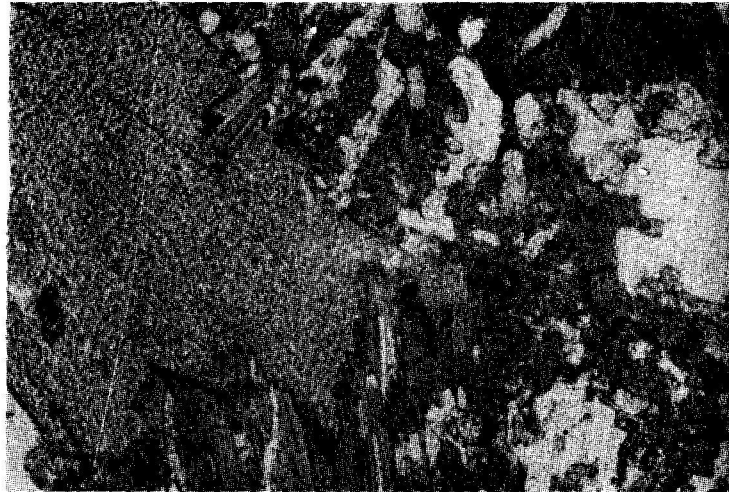


Рис. 10. Реакционные взаимоотношения биотита и роговой обманки, Ник. +, увел. 60.

ционные соотношения пироксена и роговой обманки и биотита, свидетельствующие о быстрой кристаллизации магмы в отдельных частях камеры. На рис.10 приводится случай реакционного взаимодействия роговой обманки и биотита.

## ВЫВОДЫ

1. Высокая степень идиоморфизма, а также характер взаимоотношений основных породообразующих минералов друг с другом, позволяют с уверенностью отнести их к первично-магматическим образованиям.

2. Наличие зональных кристаллов плагиоклаза и пироксена, а также характер взаимоотношений между фемических минералами свидетельствуют о неравновесных условиях кристаллизации магмы в краевых частях Зекарского массива.

3. В основных разновидностях пород Зекарского интрузива, наряду с последовательным выделением породообразующих минералов, наблюдаются и эвтектические соотношения. Это последнее явление находит свое подтверждение в экспериментальных данных Боузена (1934), Осборна (1952) и др.

4. Породообразующими минералами пород Зекарской интрузии являются: плагиоклаз лабрадор-битовникового ряда, моноклинный пироксен-авгит-салит, ромбический пироксен-гиперстен, биотит с относительно высоким содержанием маргния ( $MgO=14,89$  вес. %) и низкой общей железистостью ( $f'_i = 36,1$  ат. %), амфибол-титанистая разновидность базальтической роговой обманки — керсугит.

Ведущая роль  $Ca, Mg$  и  $Ti$  в породообразующих минералах, сравнительно низкие значения железистости биотита и пироксена по сравнению с железистостью этих минералов из гранитоидных пород, а также наличие элементов-примесей  $Cr, V, Co, Ni$  (пироксен и роговая обманка) и др. указывают на их генетическую связь с магмой основного состава.

## ПОСЛЕМАГМАТИЧЕСКИЕ ПРОЦЕССЫ В ПОРОДАХ ЗЕКАРСКОГО ИНТРУЗИВА (ЭПИДОТИЗАЦИЯ)

В породах Зекарской интрузии эндогенные послемагматические процессы пользуются довольно широким распространением. Они проявлены как в самой интрузии, так и в приконтактовых вмещающих породах. Ассоциация минеральных образований в измененных породах соответствует процессу пропилитизации.<sup>6)</sup>

В результате воздействия на породы Зекарской интрузии водных постмагматических растворов, в них образуется новый парагенезис гидротермальных минералов: эпидот, хлорит, кальцит, актинолит, серцинит, пирит, реже преитит. По сравнению с другими минералами наиболее распространенным является эпидот; поэтому остановимся подробно на рассмотрении процесса эпидотизаций, наиболее ярко выраженного в интрузивных породах Зекарского массива.

Эпидот является характерным минералом постмагматически измененных пород. Нахождение эпидота совместно с другими вторичными минералами является хорошим геохимическим и температурным индикатором метаморфических процессов, указывающим, с одной стороны, на соотношения в системе ведущих элементов эпидота Ca, Al, Fe и Si и, с другой, — на температуру образования данного минерального парагенезиса. Процесс эпидотизации в породах Зекарской интрузии и вмещающих вулканогенах, по сравнению с другими постмагматическими процессами, является наиболее распространенным (Кекелия, 1964).

Процесс эпидотизации здесь протекает вплоть до образования эпидозитов, как почти мономинеральных пород с небольшим количеством хлорита, так и кварцевых, квар-

6) Как известно, пропилитизация интрузивных пород была рассмотрена В.А.Жариковым (1959), которым указывается на сходство минеральных фаций обычных пропилитов с гидротермально измененными интрузивными породами гранитного состава.

кальцит-хлоритовых, с наблюдающимися реликтовыми участками исходной породы. Из реликтовых минералов в эпидозитах особенно часто наблюдаются разложившиеся плагиоклаз и пироксен, которые замещаются кварцем, эпидотом и кальцитом. Эпидозиты встречаются в виде маломощных жилоподобных тел как в пределах самой Зекарской интрузии, так и во вмещающей туфогенной толще в зонах контактного воздействия интрузии на вмещающие породы. Эпидоты из Зе-

Таблица 10

Химический состав сильно эпидотизированного и свежего габбро, вес, %.

Разновидности пород	Габбро	Сильно эпидотизированное габбро	Числовые характеристики	Габбро	Сильно эпидотизированное габбро
№ пробы	39	90		39	90
SiO <sub>2</sub>	46,96	48,68	a	10,3	10,6
TiO <sub>2</sub>	1,06	0,95	c	8,8	8,5
Al <sub>2</sub> O <sub>3</sub>	19,42	16,88	b	22,4	23,7
Fe <sub>2</sub> O <sub>3</sub>	4,33	5,59	s	58,5	59,2
FeO	4,81	4,33	f	40	40
MnO	0,17	0,16	m	39	34
CaO	10,36	9,82	c'	21	24
MgO	4,68	4,48	n	74	68
Na <sub>2</sub> O	3,21	3,10	t	1,6	1,3
K <sub>2</sub> O	1,75	2,32	q	17,8	21
P <sub>2</sub> O <sub>5</sub>	0,78	0,40	o	-14,4	-9,3
SO <sub>3</sub>	0,40	—	a/c	1,17	1,55
H <sub>2</sub> O	0,48	—			
П.п.п.	1,40	3,20			
Сумма	99,81	99,88			

Аналитики К.Ш.Мтиулишвили и А.Т.Болдырева

карской интрузии отличаются довольно постоянным составом. Отмечаются лишь незначительные колебания содержания железа. По некоторым замерам (5 кристаллов из различных эпидозитов) угол оптических осей ( $2V$ ) колеблется от  $-70$  до  $-75^{\circ}$ . Согласно диаграмме А.Н. Винчелла (1963), таким значениям  $2V$  соответствует содержание 35–40 мол. процентов феррисиликата.

Эпидот образует таблитчатые, изометрические, не-редко вытянутые кристаллы с зональным строением.

В табл. 10 приводится химический анализ сильно эпидотизированного (обр. 90) и свежего (обр. 39) габбро.

**Примечание:** (Обр. 90). Порода подвержена интенсивной эпидотизации. Сохраняются реликтовые участки исходной породы, представленные пелитизированным и серицитизированным плагиоклазом, пироксеном, биотитом. Совместно с эпидотом встречаются хлорит и кальцит. Эпидот развивается в основном по плагиоклазу; последний при этом обогащается альбитовой составляющей. Нередки случаи образования эпидота по пироксену, где вместе с ним развит кальцит и по биотиту, где образованию эпидота сопутствует выделение хлорита. По трещинам снастности развит лейкоксен. Кроме вышеуказанных вторичных продуктов в небольшом количестве встречается также актинолит, который развивается по пироксену.

(Обр. 39). Габбро-структура гипидиоморфная. Порода сложена пироксеном и плагиоклазом; редко встречается роговая обманка, находящаяся в реакционном взаимодействии с пироксеном. Наибольшим идиоморфизмом обладает плагиоклаз (№ 55–60), который образует удлиненные призматические кристаллы, часто сдвойниковые. Плагиоклаз серицитирован, в ряде случаев устанавливается наличие вторичного альбита.

Пироксен представлен дионсид-салитом, он образует довольно крупные (до 3–5 мм) кристаллы, что придает породе порфировидный облик.

Аксессорные минералы апатит и магнетит встречаются в незначительном количестве. Выделения их приурочены в основном к пироксену.

Как видно из таблицы 10, химический состав эпидотизированного габбро не показывает заметного отклонения от неизмененного габбро. По своим числовым характеристикам они также относятся к разновидностям габбро. Это обстоятельство свидетельствует о том, что процессы автометаморфизма, в результате которых произошло образование эпидозитов, протекали без заметного привноса или выноса основных компонентов (Кекелия, 1964).

Таблица 11

Результаты спектрального анализа  
эпидота<sup>7)</sup>

Элементы	Be	Sc	Mg	Ga	Ge	V	Cu
Количество, %	$2 \cdot 10^{-4}$	$3 \cdot 10^{-3}$	0,1	$5 \cdot 10^{-4}$	$1 \cdot 10^{-3}$	$5 \cdot 10^{-2}$	$3 \cdot 10^{-3}$

Элементы	Zn	Co	Ni	Sr	Ba	Cr
Количество, %	$1 \cdot 10^{-2}$	$3 \cdot 10^{-3}$	$3 \cdot 10^{-3}$	$5 \cdot 10^{-2}$	$1 \cdot 10^{-2}$	$3 \cdot 10^{-3}$

В таблице приводятся только обнаруженные элементы-примеси (анализ произвела А.Н. Дудыкина).

В табл. 11 приводятся результаты количественного спектрального анализа эпидота из Зекарской интрузии. Из элементов-примесей в эпидоте обнаружены: бериллий, скандий, магний, галлий, германий, ванадий, медь, цинк, кобальт, никель, стронций, барий, хром.

Предположительно наличие Mg (в количестве 0,1%) в эпидоте связано с обогащением среды магнием, в которой образуется эпидот. По-видимому, вхождению Mg в кристаллическую решетку эпидота способствует сама структура эпидота, а именно, существование в ней орто- и диортосиликатных групп (Рамбергом убедительно показано, что Mg не входит в каркасные силикаты). Таким образом, Mg в небольшом количестве может замещать Ca в кристаллической решетке эпидота.

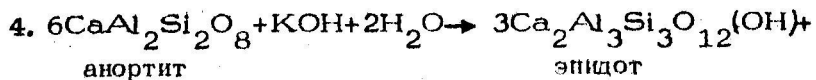
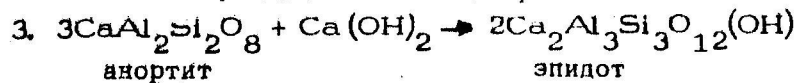
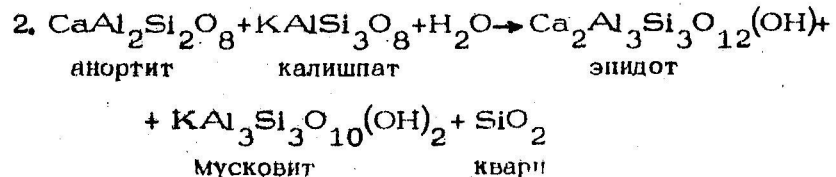
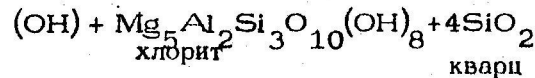
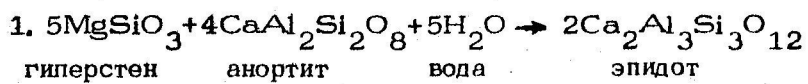
Рассмотрим случаи образования эпидота на примере Зекарской интрузии с учетом встречающихся первичных минеральных парагенезисов и геологической обстановки. Если исходный парагенезис представлен основным плагиоклазом и калишпатом, то процессу кристаллизации эпидота всегда сопутствует образование серицита и кварца. В большинстве же случаев эпидот образуется за счет плагиоклаза, при этом, если состав последнего приближается к составу анортита, процесс эпидотизации развит интенсивнее. Однако следует отметить, что образование эпидота протекает также в результате привноса (возможно, и перегруппировки) тех или иных компонентов. Об этом свидетельствует часто наблюдаемый процесс замещения биотита одновременно эпидотом и хлоритом. В породах, сложенных в основном плагиоклазом и незначительным количеством темноцветных минералов, образование эпидота можно объяснить привносом  $\text{Ca}(\text{OH})_2$ .

На основании микроскопического анализа установлены минералы, за счет которых происходит образование эпидота в парагенезисе с другими вторичными минералами (табл. 12).

Таблица 12

Первичные минералы	Вторичные минералы
Плагиоклаз	Эпидот, серцицит, кальцит
Пироксен	Эпидот, кальцит, хлорит
Пироксен	Биотит, актинолит, эпидот
Биотит	Эпидот, хлорит
Биотит	Эпидот, сфен, хлорит

Приведем некоторые возможные схематические реакции, при которых может образоваться эпидот, на примере реальных случаев, наблюдавшихся в Зекарской интрузии.



(реакция 4, очевидно, будет иметь место при  $T = 300^{\circ}$ . При  $T=300^{\circ}$  будет образовываться цеолит).



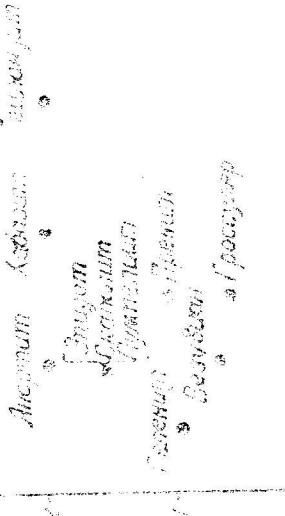
анортит эпидот

Реакция 1 показывает, что кристаллизации эпидота, возможно, способствуют сопряженные реакции. Это положение нашло подтверждение в экспериментальных данных В. С. Файфа и др. (1962), которым показано, что синтез эпидота протекает гораздо легче по реакции 1, чем из составляющих его окислов.

При наличии ромбического циркона (гиперстен) и альбитита вместе с эпидотом всегда ассоциирует хлорит. Таким образом, реакция, в результате которой выделяется хлорит, способствует образованию эпидота и не имеет места реакция анортит+эпидот+хлорит, так как анортит устойчив в широких пределах температуры и давления. Часто наблюдаемый парагенез эпидот + серпинит, характерный для средних и низких температур, можно, по-видимому, объяснить реакцией 4. Эпидот по сравнению с анортитом несколько богаче известняком и беднее глиноземом. Поэтому при образовании эпидота в результате замещения анортита образовывается небольшое количество глинозема, идущего на образование серпинита. Калий, необходимый для образования серпинита привносится водными растворами.

Для подтверждения вышеуведенных реакций образования эпидота полезно воспользоваться данными по его экспериментальному получению.

По синтезу эпидота имеется большое количество данных (Ehlers, 1953; Seymour Merrin, 1960 и др.). Трудности синтеза эпидота при низком давлении могли указывать на то, что эта фаза является устойчивой только при высоких давлениях. Однако это предположение не полностью подтверждается геологическими условиями нахождения эпидота. Эпидоты синтезировались из составляющих окислов в гипертермальной среде, при различном давлении водяного пара. В результате было установлено, что из соответствующей смеси оксидов эпидот образуется при температуре 505 и 630°, тогда как при 715° и выше преобладающими



Диаграмма, иллюстрирующая положение эпидота в системе  $\text{CaO}-\text{Al}_2\text{O}_3-\text{SiO}_2-\text{H}_2\text{O}$ .

рой откладывается отношение кремния к алюминию, на ордикате — отношения алюминия к кальцию (рис. 11).

Анализ диаграммы (рис. 11) показывает, что в ней присутствуют:

1. Безводные силикаты:

1. Анофтит  $\text{CaAl}_2\text{Si}_2\text{O}_8$
  2. Геленит  $\text{Ca}_2\text{Al}_2\text{SiO}_7$
  3. Скалолит  $\text{Ca}_4\text{Al}_6\text{Si}_6\text{O}_{25}$
  4. Гроссуляр  $\text{Ca}_3\text{Al}_2\text{Si}_2\text{O}_{12}$
- П. Водные (с конституционной водой) силикаты:
1. Эпидот-диопзит  $\text{Ca}_2\text{Al}_3\text{Si}_3\text{O}_{12}(\text{OH})$
  2. Пумпеллит  $\text{Ca}_2\text{Al}_3\text{Si}_3\text{O}_{11}(\text{OH})_3$
  3. Пренит  $\text{Ca}_2\text{Al}_2\text{Si}_3\text{O}_{10}(\text{OH})_2$
  4. Везувиан  $\text{Ca}_3\text{Al}_2\text{Si}_2\text{O}_8(\text{OH})_4$
  5. Маргарит  $\text{CaAl}_4\text{Si}_2\text{O}_{10}(\text{OH})_2$  (хр.сл.)

Ш. Цеолиты:

1. Томсонит  $\text{CaAl}_2\text{Si}_2\text{O}_8 \cdot 2,5\text{H}_2\text{O}$
2. Гейландит  $\text{CaAl}_2\text{Si}_4\text{O}_{12} \cdot 6\text{H}_2\text{O}$
3. Хабазит  $\text{CaAl}_2\text{Si}_6\text{O}_{16} \cdot 5\text{H}_2\text{O}$

Из сопоставления химических составов минералов "эпидотовой" точки — эпидота — и пумпелита и их ближайшего "соседа" — пренита — видно, что в них меняется число кислорода и гидроксильных групп. По-видимому, решающим фактором, разграничивающим поля устойчивости этих минералов, является температурный фактор.

## ВЫВОДЫ

1. Наблюдаемый парагенез с гидротермальными минералами отвечает среднетемпературной ступени эвтомета — морфизма, что является, видимо, типичным для процесса формирования гипабиссальных интрузий (Жариков 1959; Перчук, 1964 и др.).

2. Наиболее интенсивным процессом является процесс эпилогизации, который связан с гидротермальным азотометаморфизмом основных пород Зекарской интрузии.  
3. При процессе эпилогизации не наблюдается замещения приносящими компонентами, хотя в ряде случаев этот образуется в результате привноса кальция (случай замещения биотита эпидотом) (Кекелия, 1964).

4. Наличие магния в эпидотах связано с более основным характером среды.  
5. Кристаллизации эпидота способствуют сопряженные реакции, что подтверждается часто наблюдавшим совместным нахождением эпидота и хлорита как одновременных вторичных продуктов.  
6. Процесс образования эпидота при его высокой железистости (35–40 мол. %  $\text{Fe}_2\text{O}_3$ ) позволяет судить об относительном недостатке глиноэзма, характеризующем итюрохимин габбро-диоритов Зекарской интрузии, и в то же время повышение железистость эпидота может указывать на сравнительно высокую температуру его образования.

## ПЕТРОХИМИЧЕСКИЕ ОСОБЕННОСТИ ПОРОД ЗЕКАРСКОГО МАССИВА

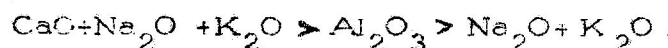
При характеристике петрохимических особенностей Зекарской интрузии нами было использовано 38 анализов, приводимых впервые.<sup>8)</sup>

До настоящего времени не было достаточно полного набора данных, позволяющих выявить петрохимические особенности пород Зекарского массива. Имеющиеся в литературе силикатные анализы, приводимые в работе В.Р. Найдзе (1954), давали неполное представление о химическом составе исследованных пород. В результате настоящего исследования выявлены основные черты химизма всех фациальных единиц, встречающихся в пределах Зекарского массива, в том числе и оливиновых (табл. 13), шонкинитов (табл. 14), габбро-диоритов и диоритов (табл. 15), а также вмещающих эфузивных пород, представленных андез-базальтами и их туфами (табл. 16).

Петрохимические пересчеты силикатных анализов пород произведены методом А.Н.Заварницкого (1960); полученные числовые характеристики нанесены на диаграммы (рис. 12). С целью сравнения, на диаграмму нанесены также средние химические составы габбро, шонкинитов и диоритов (по Дэли) и осевая линия химизма вулканогенных пород Аджаро-Триалетской складчатой системы.

Однотипны некоторые черты химизма исследованных пород интрузии в целом.

1. Как видно из приводимой диаграммы, химический состав наших пород отвечает нормальным составам, которых характерным является следующее соотношение макулярных количеств окислов:



Макулярные анализы были выполнены в Институте геологии и аналитической химии АН СССР, в Геологическом институте АН ГССР и Геологическом Управлении ГССР химиками-аналитиками А.Т.Бодыревой, К.Ш.Мтиулишвили, В.Н.Буганишвили, А.Н.Алексеенко и Н.И.Петвария.

Таблица 13  
Химические составы оливинового габбро и габбро  
Зекарской интрузии, вес. %.

Пробы	210	146	160-к	236	233	102	46	39	231	78
SiO <sub>2</sub>	59,78	43,02	48,85	43,80	46,18	46,54	46,92	46,96	47,30	48,88
TiO <sub>2</sub>	1,40	1,25	1,10	1,12	1,15	0,60	1,23	1,06	1,00	0,96
Al <sub>2</sub> O <sub>3</sub>	15,00	19,55	16,38	16,64	15,30	16,04	18,00	18,42	18,62	15,82
Fe <sub>2</sub> O <sub>3</sub>	8,08	9,70	7,05	7,35	6,59	5,29	4,04	4,33	4,80	5,90
MnO	0,17	0,21	0,24	0,20	0,20	0,26	0,14	0,17	0,14	0,16
CaO	16,00	12,31	13,23	14,21	12,90	10,57	10,87	10,86	10,47	11,65
MgO	7,70	6,23	6,77	6,83	7,00	5,83	5,04	4,98	4,95	4,48
K <sub>2</sub> O	0,84	2,26	2,05	1,92	2,34	2,92	3,07	3,21	2,89	2,40
Na <sub>2</sub> O	1,15	1,30	1,15	0,30	1,78	1,28	0,58	1,75	1,84	1,40
SiO <sub>5</sub>	0,24	0,55	0,66	0,00	0,36	0,70	0,75	0,78	0,36	0,30
Si	-	-	-	-	-	0,20	2,24	0,40	-	-
Al <sub>2</sub> O <sub>3</sub>	-	-	-	-	-	1,24	-	-	-	-
CaO	-	-	-	-	-	-	-	-	-	-
SiO <sub>2</sub>	100,18	97,70	100,16	99,65	100,08	91,51	99,97	99,81	99,82	99,85

Числовые характеристики по А.Н.Заварницкому

a	3,0	7,4	6,4	4,8	7,5	8,0	7,8	10,3	9,4	7,8
c	11,5	10,3	6,4	8,2	6,5	8,5	9,7	8,8	9,8	7,9
b	24,3	23,7	33,8	32,5	32,7	25,5	21,0	22,40	22,4	25,2
s	45,8	53,7	58,4	53,2	58,3	57,1	61,5	58,5	58,0	59,6
t	30,0	41,0	34,0	34,8	33,0	37,0	42,0	40,0	38,0	37,0
m	35,0	39,0	35,0	37,7	37,0	41,0	49,0	39,0	40,0	32,0
c'	29,0	19,0	30,0	27,2	28,0	20,0	15,0	21,0	21,0	30,0
n	52,0	72,0	74,0	91,0	67,0	77,0	83,0	74,0	74,0	72,0
v	2,6	2,05	1,9	1,8	1,8	1,02	1,78	1,6	1,6	1,46
q	21,0	31,0	18,6	20,1	17,0	18,0	17,0	17,8	18,0	21,0
a/c	-18,9	-17,5	-12,4	-12,4	-14,0	-12,1	-12,3	-14,1	-10,3	-3,5

литотип	Л.Т.Бодырева	Н.И.Натвания	А.Т.Бодырева	К.Ш.Мтиулишвили	А.Т.Бодырева
Зернистый турмитовый источник					

Примечание: Приводятся впервые

Примечание: Обр. 210 - габбро-пироксенит (урочище "Чонебу"), Минер. состав: плагиоклаз, пироксен, вторичный биотит. Обр. 146, 160-к, 220 - оливиниты, габбро, правый пр. Ханискахи, ур. "Чавага". Оливин - реликтовый, плагиоклаз, пироксен. Обр. 233, 102, 46, 86 - габбро, ущелье "Мадино-Гелев", минералы: состав: плагиоклаз, пироксен, горячая обманка!. Обр. 105, 231, 1, 73 - габбро, выход в ущелье Баратхев, минер. состав: плагиоклаз, пироксен, вторичный биотит к альбит.

Таблица 14

Химические составы габбро-шонкинитов Зекарской

интрузии, вес, %

№ пробы	150	250	2150	242	136	1300	240
<b>Оксиды</b>							
SiO <sub>2</sub>	45,73	47,20	47,60	47,00	49,45	50,50	50,50
TiO <sub>2</sub>	1,17	0,90	0,98	1,15	0,70	1,11	0,80
Al <sub>2</sub> O <sub>3</sub>	17,45	14,30	16,00	16,40	17,85	17,83	17,3
Fe <sub>2</sub> O <sub>3</sub>	4,97	5,80	4,7	6,80	1,37	5,36	4,10
FeO	5,32	4,20	4,30	4,31	4,50	4,31	4,20
MnO	0,34	0,17	0,15	0,14	0,14	0,15	0,34
MgO	3,90	7,60	6,80	5,10	4,08	4,44	4,31
CaO	11,32	12,30	9,30	11,00	7,75	7,02	8,65
Na <sub>2</sub> O	2,43	3,80	5,10	4,50	3,90	3,50	3,68
K <sub>2</sub> O	3,17	2,40	2,40	2,00	4,30	2,80	2,31
P <sub>2</sub> O <sub>5</sub>	1,04	0,33	0,37	0,32	0,23	0,43	0,79
SO <sub>3</sub>	0,25	-	-	-	-	-	0,18
Влаги	0,11	-	-	-	0,98	-	0,08
П.п.п.	2,53	1,50	3,00	1,00	1,72	2,33	1,06
Сумма	99,79	100,39	99,70	100,32	99,70	99,80	99,73
<b>Числовые характеристики по А.Н.Заварышкому</b>							
a	10,5	11,0	14,5	12,8	15,5	12,4	13,1
c	7,2	3,8	3,4	4,6	4,7	6,4	5,1
b	24,6	32,1	27,44	27,5	20,5	19,8	22,8
s	57,7	53,1	54,0	55,1	50,3	61,4	50,0
f	41,0	27	29	38	40	45	38
m'	28	30	42	31	34	40	33
c'	31	34	29	32	25	1	5
n	54	70	78	78	53	65	62
t	1,8	1,8	1,8	1,74	1,08	1,84	1,1
p	18	18	14	21	18	25	18
Q	-12,8	-18,8	-13,1	-20,0	-17,1	-8,4	-13,3
a/c	1,8	2,0	4,3	2,8	3,3	2,0	2,6

Аналитик  
или автор      В.Н.Буга-  
нишили

А.Т. Бодыкова

Н.И.Панеги-  
хария

А.Боцько

В.Н.Буга-  
нишили

Литератур-  
ный источник

Приходится впереме-

Приложение : Обр. 150, 118, 250, 242 - габбро-шонкиниты (центральная часть интру-  
зии), минеральный состав: плагиоклаз, пироксен, биотит, калишпат.  
Обр. 2150, 1300 - габбро-шонкиниты (выход в ущелье Егергеса), ми-  
неральный состав: плагиоклаз, пироксен, биотит, калишпат. Обр. 100,  
240 - оливиниты (ущелье р.Чистяка), минеральный состав: плагиоклаз,  
пироксен, рутиловая обманка, биотит, калишпат.

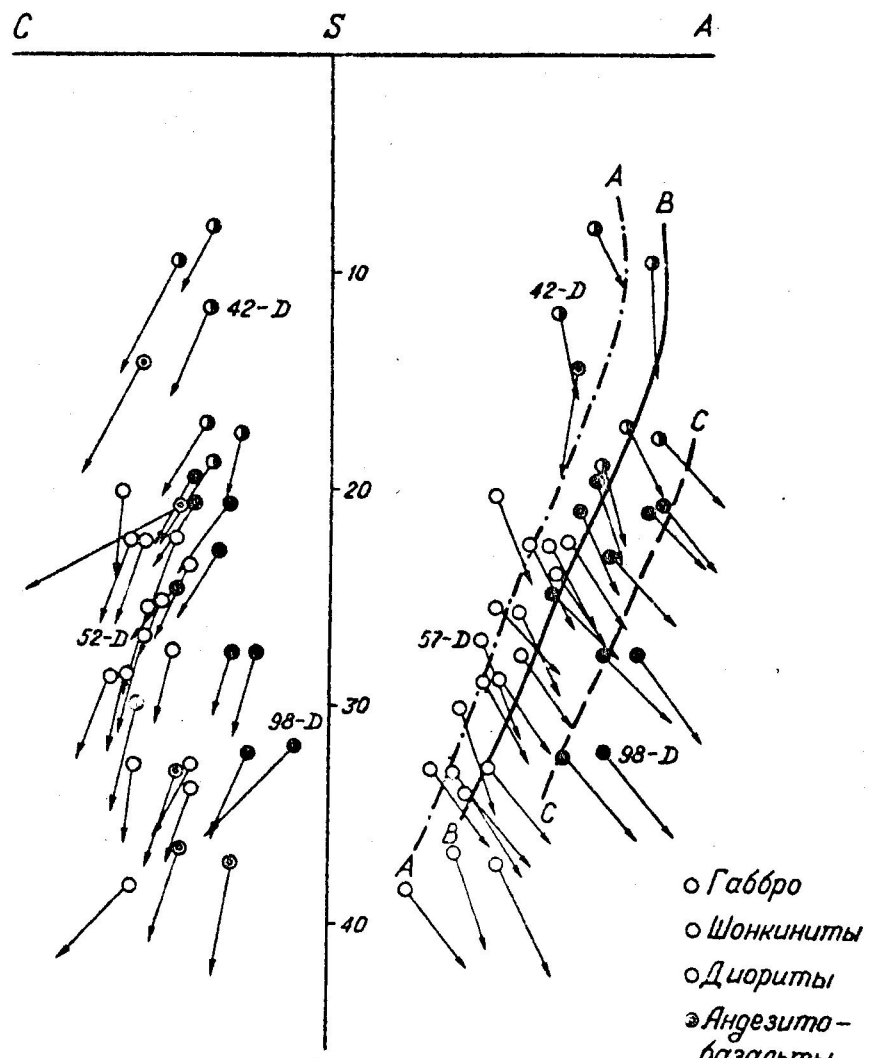


Рис. 12. Векторная диаграмма химического состава габбро-диоритов и эфузивов Зекарского массива.

2. Важной особенностью пород Зекарской интрузии является недосыщенность их кремнекислотой. Значение коэффициента  $\Phi$  как правило, отрицательное и колеблется в довольно широких пределах: для габбро от -2,3 до -1,5 для шонкинитов от -8,4 до -21,0 и для габбро-диоритов от -0,2 до -6,8. Исключение составляет кварцевый диорит, в котором наличие свободного кварца выражается в зернистом значении  $\Phi$ , равном +18,7.

Наиболее заметные колебания из основных числовых характеристик испытывает параметр "а", который зависит выражением щелочности, и параметр "б", определяющий количество темноцветных составляющих в породе. Сравнительно меньшее колебание обнаруживает величина "с" ( $s = 62,0 - 74,4$  для диоритов); пределы колебаний параметров а и б для пород интрузии весьма значительные ( $a = 3,6 - 16,4$ ;  $b = 7,8 - 38,3$ ).

Причиной, обусловившей колебание этих величин явилось, по-видимому, крайнее непостоянство количественно-минералогического состава по всей интрузии. Это нашло свой отпечаток на характер распределения темноцветных минералов, главным образом пироксена и биотита, исследованных породах.

Иная картина наблюдается в отношении параметра "с" (отображающего значение аортитовой составляющей), величина которого для всей интрузии колеблется от 3,8 до 10,3. Однако на самом деле пределы колебаний гораздо более узки, так как низкое значение "с" отмечается лишь для едильных пород (см. табл. 13, 14, 15). Прежде всего это сказывается на составе плагиоклазов. Как показала оптика плагиоклазов, основность их колеблется в небольших пределах (предел колебаний не превышает 15-20% An).

Изложенные данные позволяют установить следующие петрохимические особенности исследованных габбро-диоритов.

По химизму породы Зекари принадлежат к ассоциации с типичным щелочноземельным характером. На плоскостях SAB и SCB (рис. 12) расположение фигуративных точек указывает на разный щелочной характер этих пород; при этом заметного различия в отношении их кремнекислотности не наблюдается. Таким образом, при близких значениях содержаний кремнекислоты в габбровых породах отмечается повышенное содержание щелочей (табл. 17, 18). Это отражается и на минеральном составе пород. В породах повышенной щелочности происходит образование первого парагенезиса минералов, характеризующегося развитием полей кристаллизации биотита и калиевого полевого шпата, а также уменьшением основности плагиоклаза. Это последнее явление проявлено в меньшей степени. Эти породы характеризуются Кш+Би+Пи+Пл парагенезисом, отличие от пород, фигуративные точки которых на плоскости SAB расположены ближе к линии SB и для которых характерен Пл+Пи(+Р. обл.) парагенезис. Между этими породами наблюдаются постепенные переходы с промежуточными разновидностями (рис. 12). Среди пород Зекарской интрузии выделяются две вполне определенные самостоятельные серии (Кекелия, 1966), одна из которых (главная) отражает изменение химического состава от габбро-диоритам, другая же – в группе шонкинитов и монцонитов. Сопоставление этих серий с классическими типами различных эфузивных пород по А.Н.Заварецкому (1950) показывает почти полную аналогию изменения химизма от габбро к диоритам Зекарской интрузии с типом Иелоустонского парка, в частности, с породами вулкана Крандал (линия II на диаграмме – рис. 13), относимых к щелочно-земельному типу; напротив, серия габбро-шонкинитов близка щелочным сериям типа Этны и Марос-Хайвуд (линия I).

Таким образом, в Зекарской интрузии обнаруживается отчетливая дифференциация по кремнекислотности (в пределах каждой серии) и при близости значений кремнекислотности – различие по щелочности (между сериями) (Кекелия, 1966).

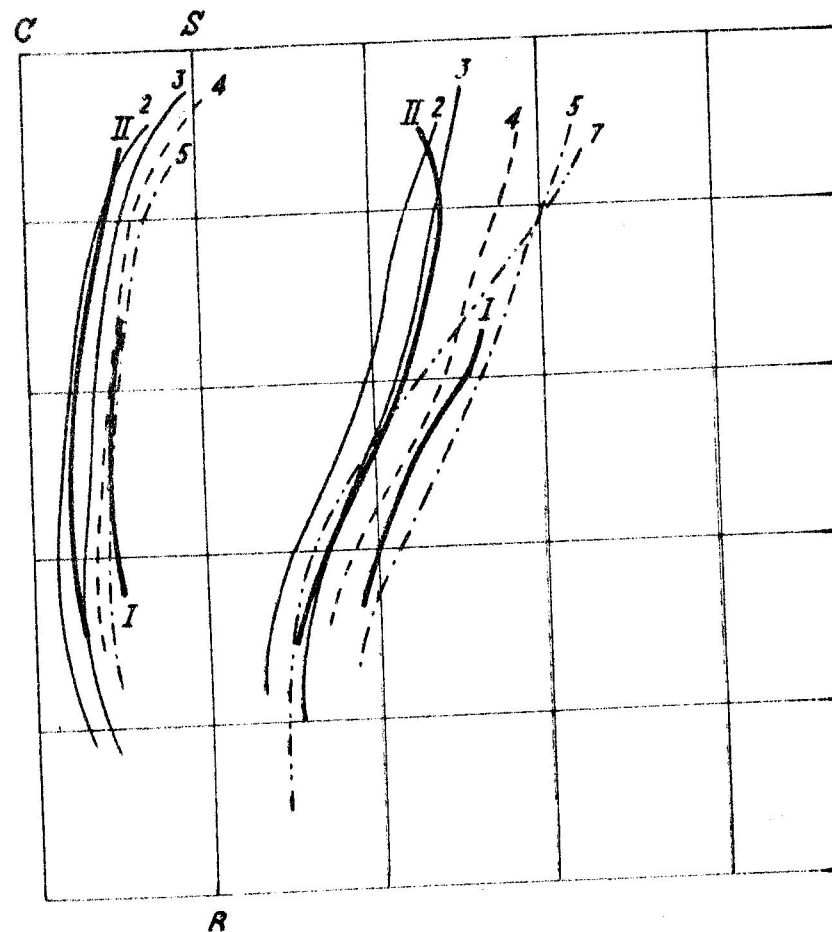


Рис. 13. Диаграмма сравнения вариационных линий вулканических серий пород с вулканическими ассоциациями различных регионов (по Заваринскому).

Особый интерес представляет распределение калия и натрия в интрузивных породах. Величина соотношения  $K_2O$  и  $Na_2O$  колеблется в основном в пределах от 0,25 до 1,5. Некоторые породы показывают отношение  $K_2O/Na_2O$ , близкое к единице. Это главным образом породы повышенной щелочности (в данном случае калия) — шонкиниты и монцониты. Высокое значение отношения  $K_2O/Na_2O$ , равное двум, наблюдается только в образце 219, который представляет собой габбро-пироксенит и расположен в эндоконтактной зоне интрузии (повышенное содержание калия в

Таблица 15

Химический состав диоритов Зекарской интрузии,  
вес. %

№ пробы	13	243	143	49	107
Окислы					
$SiO_2$	52,60	52,80	55,44	56,44	60,40
$TiO_2$	0,70	1,00	0,74	0,36	0,48
$Al_2O_3$	17,00	18,10	19,25	20,59	17,04
$Fe_2O_3$	5,80	4,14	2,25	1,25	2,49
$FeO$	4,30	3,25	3,02	3,20	2,04
$MnO$	0,14	0,11	0,17	0,10	0,15
$MgO$	4,12	3,10	3,52	2,81	1,42
$CaO$	5,80	7,60	7,33	5,74	5,43
$Na_2O$	3,42	6,00	3,92	4,17	3,60
$K_2O$	3,30	2,00	3,75	3,31	3,00
$P_2O_5$	0,32	0,14	0,40	0,55	0,14
$SO_3$	-	-	0,13	0,34	-
Влага	0,29	-	0,28	0,24	0
Н.п.п.	1,93	2,10	0,88	0,84	3,75
Сумма	99,72	100,34	99,98	99,84	99,95

Числовые характеристики по  
А.Н.Заварицкому

a	12,8	16,4	13,0	14,9	12,3
c	5,5	4,2	5,8	7,2	5,5
b	18,7	17,4	16,9	9,5	7,8
s	63,0	62,0	63,4	68,4	74,4
f	51	38	28	44	53
m'	39	30	35	53	31
c'	10	30	17	23	15
n	61	82	62	66	66
t	1,01	1,46	0,97	0,53	0,56
φ	27,5	21	11	10,7	28
Q	-5,1	-3,0	-6,8	-0,2	+18,7
a/c	2,3	3,9	2,4	2,1	2,3

Аналитик А.Н.Алек- А.Т.Бол- Н.И.На- К.Ш.Мти- А.Т.Бо  
или автор сеенко дырева петвария улишвили дырева

Литературный  
источник

Приводятся впервые

Примечание: Обр. 13, 243, 143, 49 – габбро-диориты (центральная и северная периферия интрузии); минеральный состав: плагиоклаз, роговая обманка, биотит, вторичный кварц. Обр. 107 – кварцевый диорит (урочище с.Хани); минеральный состав: плагиоклаз, кварц, роговая обманка.

ней объясняется наличием вторичного биотита). Однако эндо контакты Зекарской интрузии обычно объединены шелочами – в них отсутствуют калиевые минералы и кислый плагиоклаз. При сравнении ряда векторов интрузивных и эфузивных пород Зекарского массива наблюдается большое сходство их химического состава. Фигуративные точки пород вмещающей толщи (рис.12) совпадают с направлением дифференциации химического состава интрузивных габбровых пород (белые, черные и черно-белые точки). Отмечаются лишь небольшие различия: в нижней части диаграммы (плоскость SAB) векторы эфузивных пород проявляют больший наклон в длину, чем векторы оливиновых габбро и габбро, что указывает на относительно низкую известковистость и щелочность и высокую магнезиальность эфузивных пород по сравнению с интрузивными. Однако эти различия настолько небольшие, что их нельзя принимать как существенный признак химизма сравниваемых пород.

Анализ диаграммы (рис.12) показывает, что химические составы исследованных пород несколько отличны от составов габброндов по Дэли: фигуративные точки габбровых пород Зекари заметно отклонены от соответствующих средних составов этих пород по Дэли (образцы 56-Д, 57-Д и 98-Д), а также характеризуются более пологим наклоном векторов на плоскости SAB. Это указывает, во-первых, на повышенную основность пород Зекарской интрузии по сравнению со средними составами аналогов, по Дэли, что отражается в увеличении значений параметров „с“ и „с‘“ в ряде случаев  $m'$ . Минералогически этот эффект выражается в образовании известковистых (кальциевых) минералов – салит-авгита, основного плагиоклаза, апатита, а также биотита с низкой железистостью в ряду габбро-диорита. Во-вторых, исследованные габбронды отличаются более высокими значениями параметра  $a$ , отражающего обогащение щелочами. Последнее особенно четко проявлено в шонкинитах и габбро-шонкинитах. При этом, если для главной серии Зекари среди щелочей преобладает нат-

рой, то для серии габбро-шонкинитов возрастает значение калия (уменьшение параметра  $n$ ), что видно также из рис. 12. Минералогически это означает появление калиевого минерала - биотита и калишпата в ассоциации с плагиоклазом и пироксеном в серии габбро-шонкинитов. Последнее свидетельствует о повышении щелочности (в частности понижении активности калия) в расплаве, из которого кристаллизуются шонкиниты, что подтверждается также и взаимосвязью близостью серии шонкинитов с пегматитами сериями типа Эттии и Марос-Хайруд.

Высокая щелочность и известковистость характерны также для дноритов Зекарской интрузии.

Таблица 10  
Химический состав пород вмещающей  
андезито-базальтовой толщи Зекарского массива,  
вес. %.

Порода	Андеозито-базальты				Туф	Андеозит
№ пробы	216	200	250	258	28	223
Окислы						
$\text{SiO}_2$	45,12	45,96	42,24	37,16	51,94	50,06
$\text{TiO}_2$	0,82	0,93	1,05	0,80	0,34	0,97
$\text{Al}_2\text{O}_3$	13,00	13,76	14,38	17,14	20,59	18,58
$\text{Fe}_2\text{O}_3$	4,00	1,42	9,50	4,28	1,88	4,07
$\text{MnO}$	5,52	5,01	6,48	4,40	3,70	3,38
$\text{MgO}$	0,14	0,14	0,20	0,22	0,18	0,15
$\text{CaO}$	11,80	8,96	9,50	4,30	3,96	5,27
$\text{Na}_2\text{O}$	11,88	13,96	9,96	7,74	6,58	10,58
$\text{K}_2\text{O}$	3,15	1,83	2,02	1,72	3,15	3,79
$\text{P}_2\text{O}_5$	0,80	1,08	0,97	4,67	2,47	1,82
$\text{F}_2\text{O}$	0,21	0,18	0,04	0,05	0,59	0,25
$\text{ZrO}_2$	-	-	-	-	0,20	-
$\text{HfO}_2$	-	-	2,56	1,56	-	-
$\text{UO}_3$	-	-	0,40	0,47	0,44	-
$\text{ThO}_2$	3,57	6,44	0,95	5,04	3,78	1,27
Пироксены	100,01	99,67	100,28	99,81	99,80	100,17

Числовые характеристики по  
А.Н.Заварицкому

a	7,9	5,8	5,9	11,7	11,6	11,2
c	4,5	6,7	6,9	6,9	8,8	7,2
b	37,1	32,9	36,5	20,8	14,2	22,3
s	50,5	54,6	50,7	60,6	65,4	59,3
f	23	12	40	42,3	39	31,0
m'	53	48	45,2	39,4	52	41,0
c'	26	33	15,1	17,3	-	27,0
a'	-	-	-	-	8,5	-
n	85	71	76	36	66	77
t	1,3	1,4	1,9	1,3	0,46	1,5
q	9	3,9	22,6	19,8	11,6	16,0
Q	-19,3	-9,1	-17,6	-9,1	-1,2	-11,0
a/c	1,75	0,87	0,85	1,7	1,3	1,55

Аналитик или автор	А.Т.Болдырева	К.Ш.Манулиани
Литературный источник		Приводится впервые

Примечание: Обр. 216 - пироксен-плагиоклавовый порфирит (ур."Чечеби"). Обр. 200, 250, 258 - пироксен-плагиоклавные порфириты с небольшим количеством роговой обманки в порфиритовых выделениях; основная масса криптокристаллическая (водораздел рр.Ханискали и Баратхеви и водораздел рр.Ханискали и Маднишгеле). Обр. 28 - туф (г.Нагеба), обр. - 223 - андезит (средний исток р. Ханискали.).

Таким образом, анализ диаграмм приводит нас к выводу о генетическом родстве Зекарской интрузии и вмещающей андезито-базальтовой толще: совпадение фигуративных точек химических составов эфузивов с направлением дифференциации химического состава габбро-диоритовой серии с вариационной линией химизма палеогеновых пород Аджаро-Гриалетской складчатой системы (Дзоченидзе, 1948). Свидетельствует, наряду с геологическими данными, о происхождении интрузивных и эфузивных пород из единой родоначальной магмы, т.е. об их комагматичности.

Диаграмма (рис. 12) (см. габбро-диоритовую серию) наглядно иллюстрирует процесс кристаллизационной дифференциации, приведшей к последовательному внедрению отдельных членов серии в вулканогенную толщу.

### ЗАВИСИМОСТЬ МИНЕРАЛЬНОГО СОСТАВА ГАББРОИДНЫХ ПОРОД ОТ ХИМИЧЕСКИХ ПОТЕНЦИАЛОВ $K_2O$ И $Na_2O$ .

Наиболее характерными минеральными ассоциациями габброидных пород Зекари являются: 1) плагиоклаз + моноклинный пироксен, 2) плагиоклаз + моноклинный пироксен + биотит, 3) плагиоклаз + роговая обманка + биотит + моноклинный пироксен, 4) плагиоклаз + ромбический пироксен + моноклинный пироксен, 5) плагиоклаз + ромбический пироксен + моноклинный пироксен + роговая обманка, 6) калишпат + плагиоклаз + моноклинный пироксен + биотит.

Равновесные четырехминеральные парагенезисы фиксированы на отдельных участках Зекарской интрузии. Парагенезисы представлены следующими минералами: 1) плагиоклаз + моноклинный пироксен + роговая обманка + биотит; 2) плагиоклаз + ромбический пироксен + моноклинный пироксен + роговая обманка и плагиоклаз + моноклинный

пироксен + биотит + калишпат.

Нами не приводятся парагенезисы кварцодержащих пород, занимающих чрезвычайно значительный объем в Зекарском массиве и обособленных в виде маломощных жил.

Исследование минеральных парагенезисов с помощью правила фаз показало, что при становлении их  $K_2O$  и  $Na_2O$  вели себя вполне подвижным образом. Калишпат одновременно присутствующих минералов, находящихся в равновесии, не превышает четырех. Предположение Д.С. Коржинского (1946, 1957) о вполне подвижном поведении калишпата при магматических процессах, в дальнейшем нашло экспериментальное подтверждение (Челищев и др., 1963).

Количество равновесных минералов в породах Зекари полностью определяется числом виртуальных инертных компонентов:  $SiO_2$ ,  $Al_2O_3$ ,  $CaO$  и  $(Mg, Fe)O$ . Минимум ассоциаций отдельных участков Зекарской интрузии указывает на повышение химических потенциалов щелочей (в основном  $K_2O$ ), нарушающих нормальный ход кристаллизации габбровой магмы.

Для выяснения зависимости минеральных парагенезисов габбровых пород Зекари от двух интенсивных факторов равновесия нами построена диаграмма химических потенциалов  $K_2O$  и  $Na_2O$  (рис. 14). В конкретном случае при произвольных и постоянных температуре и давлении и зависимых значениях  $K_2O$  и  $Na_2O$  будем иметь дело с полный шестиминеральный парагенезис ( $\Phi=K_1+2+4+2+6$ ), которому соответствует точка на диаграмме химических потенциалов  $K_2O$  и  $Na_2O$ . При составлении машины (табл. 17) использовались данные химических анализов (табл. 3, 6), определение номеров плагиоклазов на Ферроинском столике и формулы, заимствованные из справочников А.Н. Винчелла (1953) и В. Трегера (1958).

Расчет моновариантных реакций (табл. 18) производился при помощи определителей (Коржинский, 1957). Для установления стабильности линий относительно нонвариантной точки использовалось правило Скрайнемакера (Шиш, Коржинский, 1957). Направление линий (угол нак-

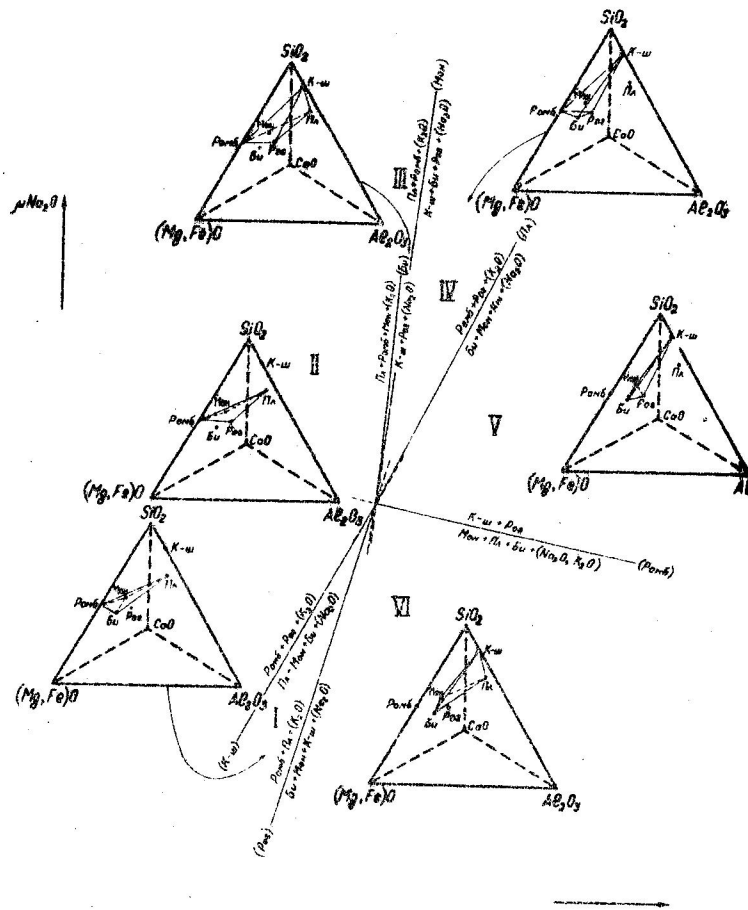


Рис. 14. Диаграмма, иллюстрирующая зависимость минеральных парагенезисов от химических потенциалов калия и натрия (обозначения минералов те же, что и в таблице 22).

допа касательных моновариантных кривых) определялось исходя из закона действующих масс:

$$\frac{d\mu_{Na_2O}}{d\mu_{K_2O}} = \frac{b}{a} = \operatorname{tg} d,$$

где  $a$  и  $b$  стехиометрические коэффициенты при  $Na_2O$  и  $K_2O$  соответственно в моновариантных реакциях.

На диаграмме (рис. 14) изображен пучок устойчивых линий моновариантных равновесий, разделяющий ее на шесть дивариантных полей, в пределах которых возможно независимое изменение химических потенциалов  $K_2O$  и  $Na_2O$ . В каждом поле вписан тетраэдр состава, отражающий связь между минеральным составом и соотношением ионных компонентов —  $SiO_2$ ,  $Al_2O_3$ ,  $CaO$ ,  $(Mg, Fe)O$ , определяющих минеральный состав породы.

Рис. 15 дает представление о способе нанесения химических составов минералов в тетраэдр.

Таблица 17

Составы реагирующих минералов

Минерал	Символы	$SiO_4$	$1/2 Al_2O_3$	$(Mg, Fe)O$	$CaO$	$K_2O$	$Na_2O$
Плагиоклаз	Пл	12	8	0	3	0	1
Моноклинный пироксен	Мон	1,8	0,25	1	0,85	0	0,01
Ромбический пироксен	Ромб	2	0	2	0	0	0
Биотит	Би	2,9	1,25	2,7	0,2	0,35	0,05
Роговая обманка	Рог	6	3	4	2	0	0,5
Калишпат	КШ	3	1	0	0	0,5	0

Таблица 18

Возможные моновариантные реакции между минералами

Символы минералов	Моновариантные реакции
Ил	$12,1 \text{ Би} + 11,4 \text{ Мон} + 0,18 \text{ Кш} + (2,4225 \text{ } \text{Na}_2\text{O}) = 9,925 \text{ Ромб} + 6,055 \text{ Рог} + (4,34 \text{ } \text{K}_2\text{O})$ .
Мон	$3,8 \text{ Пл} + 13,7 \text{ Ромб} + (6,4 \text{ } \text{K}_2\text{O}) = 11,4 \text{ Кш} + 2,0 \text{ Би} + 5,5 \text{ Рог} + (0,95 \text{ } \text{Na}_2\text{O})$ .
Ромб	$116,36 \text{ Кш} + 144,78 \text{ Рог} = 16,44 \text{ Мон} + 39,7 \text{ Пл} + 153,4 \text{ Би} + (23,366 \text{ } \text{Na}_2\text{O}) + (4,42 \text{ } \text{K}_2\text{O})$ .
Би	$12,1 \text{ Пл} + 38,4 \text{ Ромб} + 6,0 \text{ Мон} + (16,1 \text{ } \text{K}_2\text{O}) = 36,2 \text{ Кш} + 20,7 \text{ Рог} + (1,81 \text{ } \text{Na}_2\text{O})$ .
Рог	$414,0 \text{ Би} + 330,0 \text{ Мон} + 368,8 \text{ Кш} + (97,1 \text{ } \text{Na}_2\text{O}) = 723,9 \text{ Ромб} + 121,1 \text{ Пл} + (32,89 \text{ } \text{K}_2\text{O})$ .
Кш	$3,8 \text{ Пл} + 684 \text{ Мон} + 724 \text{ Би} + (137,56 \text{ } \text{Na}_2\text{O}) = 581,8 \text{ Ромб} + 368,8 \text{ Рог} + (253,4 \text{ } \text{K}_2\text{O})$ .

## Примечание

к таблице 18: Каждая реакция обозначается символом отсутствующего минерала.

Диаграмма (см. рис. 14) наглядно иллюстрирует изменение парагенетических соотношений минералов с изменением химических потенциалов  $\text{K}_2\text{O}$  и  $\text{Na}_2\text{O}$ , т.е. зависимости состояния магматической системы от выделенных двух интенсивных факторов равновесия. Определенным полем диаграммы соответствуют максимальные четырехминеральные парагенезисы, слагающие в основном как отдельные массивы, так и небольшие участки в пределах габброидных интрузий. Здесь необходимо отметить, что диаграмма отражает зависимость минерального состава от химизма для недосыщенных кремнекислотой пород, пользующихся наибольшим распространением.

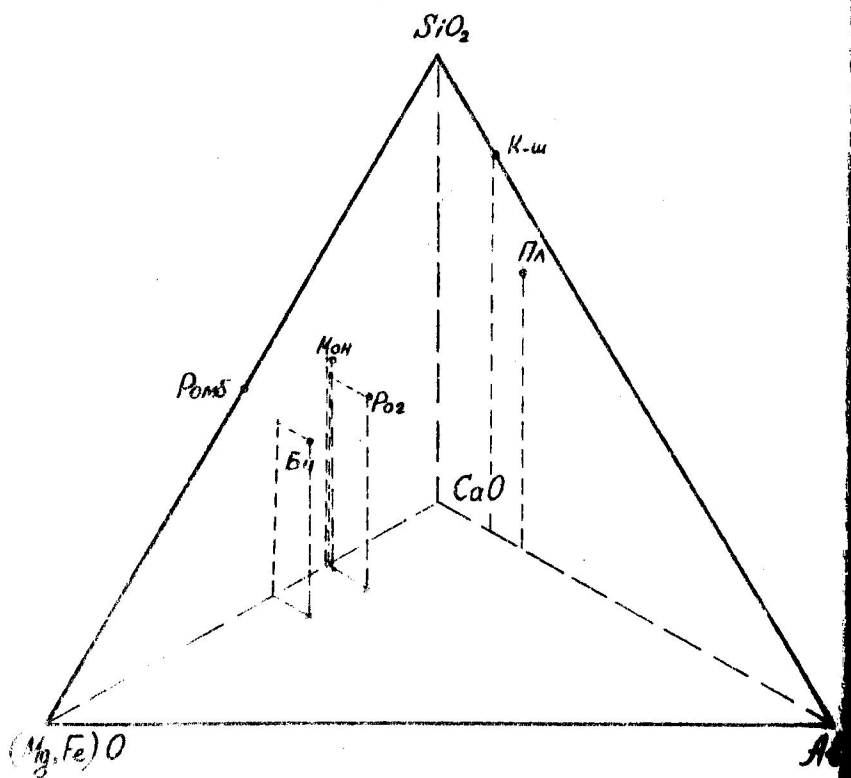


Рис. 15. Диаграмма, дающая представление о способе изображения химических составов минералов в трёхмерном пространстве.

Как видно из диаграммы, при постоянном потенциале  $K_2O$  и повышении потенциала  $Na_2O$  (переход от поля VI к полю I, а также от поля I к полю II) происходит закономерная смена парагенетической ассоциации  $Bi + Mo$  +  $Ksh + Pl$  (поле VI) ассоциацией  $Romb + Mon + Pl + Bi$  (поле I), которая в свою очередь сменяется парагенезисом  $Romb + Mon + Rog + Pl$  (поле II).

Наиболее широко как в пределах Зекарской интрузии, так и в других интрузивных породах Аджаро-Триалетии, Вакиджварская и Намонастревская (Закариадзе, 1964) распространены парагенезисы поля VI ( $Pl + Ksh + Mon + Bi$  и  $Pl + Rog + Bi + Mon$ ). Отмечаются также и ассоциации, типичные для поля II ( $Pl + Romb + Mon + Rog$ ) в Зекарской интрузии (Кекелия, 1966) и поля V ( $Pl + Ksh + Mon + R$ ) в Дзамской интрузии. На микрофотографии (рис. 16) видна минеральная ассоциация поля VI.



Рис. 16. Ассоциация биотита, пироксена, плагиоклаза, калиевого полевого шпата.

Таким образом, при изотермических условиях кристаллизации и однородности состава исходного магматического расплава, увеличение потенциала  $K_2O$  (при постоянном значении потенциала  $Na_2O$ ) приводит к расширению полей кристаллизации бистита и калишпата в ассоциации с пироксеном и плагиоклазом (Кекелия, 1966). Такая закономерность зафиксирована на отдельных участках центральной части Зекарской интрузии, где, наряду с парагенезисом  $Pl + Moi$ ,  $Mon + Romb + Pl + Rog$ , наблюдаются парагенезисы  $Pl + Ksh + Mon + Rog$  и  $Pl + Pi + Ksh + Bi$ , указывающие на высокий химический потенциал  $K_2O$  в момент их кристаллизации.

Выводы, полученные из диаграммы потенциалов щелочей, могут быть распространены не только на комплекс интрузивных пород Аджаро-Триалетской складчатой системы, но имеют и более общий характер.

Так, например, типоморфные парагенезисы I и II полей, указывающие на относительно низкий потенциал  $K_2O$ , широко распространены в Чинейской габбро-анортозитовой интрузии (Лебедев, 1962), а парагенетические ассоциации V поля встречаются наиболее часто в габбродиных городах Армении (Геворкян, 1965), Карелии (Богачев и др., 1963) и других регионов.

Изложенные выше результаты наших исследований (Кекелия, 1966) и существующий литературный материал (Даоченидзе, 1948; Закариадзе, 1965; Лордкипанидзе и др., 1964) по вулканизму Аджаро-Триалетской складчатой системы свидетельствуют о едином источнике пород — магме основного состава, дифференциация которой запечатлена в гамме интрузивных образований; а разнообразие парагенетических ассоциаций габбродиных пород вызвано различными химическими потенциалами щелочей для отдельных интрузий.

## НОВЕДЕНИЕ РЕДКОЗЕМЕЛЬНЫХ ЭЛЕМЕНТОВ В ПОРСАХ ЗИКАРСКОГО МАССИВА

История исследования общих закономерностей распределения редкоземельных элементов в земной коре охватывает последние четыре десятилетия. В работах, опубликованных за это время, затронуты гибким образом вопросы геохимии редкоземельных элементов в кислых и, частично, в щелочных породах, а также метеоритах. Среди них следует отметить следующие: V.M.Goldschmidt and I.Thomassen (1924), V.M.Goldschmidt (1926), Г.Хевеши (1929), E.Миами (1935), I.Z.Noddack (1935). В последние годы существенный вклад в проблему изучения редкоземельных элементов внесли Д.С.Бородин (1960), Ю.А.Балашов, Н.В.Туранская (1960<sub>1</sub>, 1960<sub>2</sub>), Б.И.Злобин, Ю.А.Балашов (1961); А.П.Виноградов (1961<sub>1</sub>, 1961<sub>2</sub>, 1962), Э.Я.Вайнштейн, А.С.Павленко, Н.В.Туранская, Т.Н.Юлова (1961); И.В.Швей (1962); Ю.А.Балашов (1962) и другие.

Данные о содержании редкоземельных элементов в основных породах опубликованы впервые в 1952 году (Сахама, 1952). Т.Г.Сахама приводит всего лишь один анализ габбро и долерита на содержание р.э.э. При сравнении с другими более кислыми типами пород Южной Лапландии автором установлено, что для габбро и долеритов, а также для зеленокаменных пород характерно заметное накопление элементов иттривой группы по сравнению с гранитами, гранито-гнейсами и др. Преобладание иттрия в основных породах, по мнению Т.Г. Сахама, объясняется более легким изоморфным замещением кальция иттрием по сравнению с более крупными по объему элементами La, Ce и Nd.

Ю.А.Балашов в своей работе по распространению редкоземельных элементов в земной коре (1963) приводит четыре анализа для основных пород из различных регионов: двух пироксенитов из Монче-Тундры (Кольский п-ов), уральского перидотита и габбро-диорита из Сусамырского батолита (Тянь-Шань). Эти данные позволяют судить о колебаниях  $\frac{\Sigma Ce}{\Sigma Y}$  отношения (от 1,0 до 1,9) и суммы

Tr<sub>2</sub>O<sub>3</sub> (от 0,09 до 0,3%). Из Сусамырского батолита (Л.Л.Леонова, Ю.А.Балашов, 1963) проанализированы основные породы первой интрузивной фазы на редкоземельные элементы; содержание р.э.э. в них равно, соответственно, 0,034%, 0,027% и 0,036%.

В работе А.С.Тауэла и др. (1965) приводится несколько анализов для габбро и габбро-диоритов из гранитного массива (Калифорнийский батолит). В отличие от предыдущих исследований здесь имеются данные о содержании р.э.э. по мономинеральным фракциям.

Большое количество данных о содержании р.э.э. в эфузивных основных породах приводятся в работе Л.А.Хескина и др. (1968); Минеева (1969) и др.

Материал по Зекарскому массиву позволил выявить определенные закономерности в распределении р.э.э. и на этом основании решить ряд петрогенетических вопросов.

Анализ содержания и состава редкоземельных элементов проводился при участии и под руководством Ю.А.Балашова химическим (для выделения суммы р.э.э.) и рентгеноспектральным (для определения индивидуальных р.э.э.) методами.

# ВЛИЯНИЕ ФАЦИАЛЬНЫХ ИЗМЕНЕНИЙ НА РАСПРЕДЕЛЕНИЕ РЕДКОЗЕМЕЛЬНЫХ ЭЛЕМЕНТОВ В ПОРОДАХ ЗЕКАРСКОЙ ИНТРУЗИИ

Петрографический анализ показал, что в породах, гающих интрузию, обнаруживаются заметные вариации структуре, в соотношении и составе породообразующих минералов. Так, структура изменяется от гипидиоморфистой и габбровой, офитовой и порфировидной, вплоть до полосчатой. Состав плагиоклаза колеблется от № 45 до № 55. Непостоянен также парагенезис минералов и химический состав пород. Среди габбро выделяются оливинсодержащие, однако преобладают пироксеновые, а также биотит и калишпатсодержащие разности (габбро-шонкиниты). Для более кислых пород характерны изменения от габбро-диоритов до габбро-монацититов и диоритов.

Из анализов пород Зекарской интрузии на р.э.э. (табл. 19) следует, что в габбро и его более кислых аналогах состав и содержание р.э.э. значительно варьирует (

$$= 1,8 - 3,1 \text{ при } \text{TR}_2\text{O}_3 = 14 - 49 \cdot 10^{-3} \% \text{ и } (\frac{\Sigma \text{Ce}}{\Sigma \text{Y}}) = 2,$$

при  $\text{TR}_2\text{O}_3 = 18 - 76 \cdot 10^{-3} \%$ , соответственно, для габбро-диорита). Сравнение распределения р.э.э. с особенностями химического состава изученных пород (табл. 20)казывает отчетливую корреляцию состава р.э.э. с изменением петрохимического параметра  $a$ , который в общей форме отражает, как известно, относительное количество щелочных элементов, связанных в лейкократовых породообразующих минералах. Тем самым подобная корреляция косвенно указывает на важность соотношения породообразующих минералов для оценки состава исследованных пород. Как показывает анализ обоих породообразующих минералов (табл. 21), в плагиоклазе преобладают легкие лантаноиды  $(\frac{\Sigma \text{Ce}}{\Sigma \text{Y}}) = 2$ ,

в то время как в пироксене наблюдается накопление иттриевой группы и иттрия ( $(\frac{\Sigma \text{Ce}}{\Sigma \text{Y}}) = 1,3$ ). Можно полагать,

в породах, обогащенных Ca, Mg и Fe, каковыми являются габбро и габбро-диориты Зекарской интрузии, осно-

Таблица 16  
Состав и содержание редкоземельных элементов в породах Зекарской интрузии

№ порядка	Порода	Содержание элементов												Содержание $\text{TR}_2\text{O}_3$			
		La	Ce	Pr	Nd	Sm	Eu	Gd	Tb	Dy	Ho	Er	Vb	V			
36	Габбро	1	2,0	0,80	1,1	0,27	0,05	0,31	-	0,25	-	0,11	0,10	1,1	1,9	0,028	
118	Габбро-диорит	1	1,8	0,26	1,0	0,28	-	0,23	-	0,20	-	0,15	0,10	0,8	2,8	0,025	
242	То же	1	1,5	0,18	0,8	0,22	-	0,22	-	0,20	-	0,07	0,04	0,8	2,5	0,021	
165	Габбро	1	2,5	0,41	1,86	0,55	-	0,58	-	0,46	-	0,23	0,18	1,8	1,8	0,018	
220	То же	1	2,0	0,25	1,0	0,24	0,07	0,25	0,08	0,18	0,13	0,18	0,08	1,0	2,2	0,019	
128	-	1	1,8	0,23	1,1	0,19	-	0,27	-	0,22	-	0,12	0,10	1,3	2,0	0,017	
239	Габбро-оливиновое	1	2,1	0,24	1,1	0,28	0,11	0,28	-	0,25	-	0,11	0,08	1,1	2,4	0,015	
238	То же	1	1,8	-	1,26	0,52	-	0,40	-	0,28	-	-	-	1,8	0,014		
237	Габбро	1	1,8	0,31	0,80	0,22	0,06	0,26	-	0,17	-	0,08	0,10	0,8	2,8	0,014	
81	Габбро-анортитовая	1	1,8	0,20	0,85	0,20	-	0,12	-	0,10	-	-	-	-	3,0	0,049	
125	То же	1	1,5	0,15	0,85	0,12	-	0,14	-	0,12	-	0,07	0,08	1,2	2,1	0,048	
127	-	1	1,7	0,22	0,80	0,18	-	0,16	-	0,13	-	0,08	0,06	0,7	3,1	0,035	
166	Среднее для габбр	1	1,85	0,24	1,1	0,28	0,08	0,27	0,08	0,22	0,08	0,13	0,10	1,1	2,3	0,021	
101	Габбро-диорит	1	1,8	0,22	0,8	0,19	-	0,28	-	0,24	-	0,18	-	0,11	1,0	2,5	0,076
107	То же	1	1,8	0,23	0,85	0,20	-	0,11	-	0,18	-	0,13	0,12	1,0	2,5	0,042	
13	-	1	2,0	0,28	1,1	0,25	-	0,23	0,06	0,22	-	0,10	0,11	1,0	2,5	0,020	
243	Диорит	1	2,0	0,22	1,0	0,26	0,05	0,18	0,04	0,18	0,05	0,12	0,08	1,0	2,8	0,024	
241	Габбро-диорит	1	1,8	0,26	1,1	0,28	0,08	0,26	0,06	0,27	0,05	0,14	0,11	1,4	2,1	0,018	
143	То же	1	1,8	0,28	0,85	0,18	-	-	-	0,14	-	0,11	0,08	0,8	2,8	0,008	
Среднее для интрузии	1	1,8	0,22	0,8	0,22	0,08	0,23	0,06	0,20	0,04	0,11	0,08	1,0	2,5	0,031		
	1	1,9	0,24	1,0	0,24	0,07	0,25	0,07	0,20	0,087	0,12	0,08	1,1	2,8	0,023		

масса р.э. сосредоточена в пордообразующих минералах.  
Аксессорные минералы - обычные концентраты р.э. (апатит, циркон и офер) встречены в незначительных количествах.

Таблица 20

Химический состав пород Зекарской габбро-диоритовой интрузии, вес. %.

Окислы	№ пробы *)							
	220	165	39	242	118	13	243	107
SiO <sub>2</sub>	44,00	47,02	46,96	47,60	45,82	52,60	52,80	80
TiO <sub>2</sub>	1,22	0,90	1,06	1,15	0,70	0,70	1,00	0,41
Al <sub>2</sub> O <sub>3</sub>	19,20	17,39	19,42	16,40	19,04	17,00	18,10	17
Fe <sub>2</sub> O <sub>3</sub>	6,28	9,00	4,83	6,80	4,22	5,80	4,14	2,4
FeO	4,96	3,22	4,81	4,31	5,04	4,30	3,25	2,0
MnO	0,18	0,21	0,17	0,14	0,14	0,14	0,11	0,11
MgO	5,97	5,49	4,68	5,10	3,44	4,12	3,10	1,1
CaO	12,98	11,19	10,36	11,00	8,79	5,80	7,60	3,4
Na <sub>2</sub> O	2,73	2,5	3,21	4,50	3,90	3,42	6,00	2,8
K <sub>2</sub> O	1,10	1,1	1,75	2,00	3,58	3,30	2,00	1,1
a	8,0	9,0	10,3	12,8	15,1	12,8	16,4	11
s	53,9	56,1	58,5	55,1	57,8	63,0	62,0	53,9
b	28,6	27,5	22,4	27,5	20,7	18,7	17,4	28,6
c	9,5	7,4	8,8	4,6	6,4	5,5	4,2	9,5
a/c	0,85	1,2	1,2	2,8	2,4	2,3	3,9	0,85
$\Sigma Ce$	2,2	1,9	1,9	2,5	2,8	2,5	2,8	2,2
$\Sigma Y$								
TR <sub>2</sub> O <sub>3</sub> · 10 <sup>-3</sup>	19	19	26	21	25	20	24	19

\*) Пробы №№ 220-118 - габбро, №№ 13-107 - габбро-диориты.

и вряд ли могут играть существенную роль в балансе распределения р.э. в рассматриваемых породах. Следовательно, в первом приближении отмеченные вариации в составе р.э. габбро и габбро-диоритов могут быть связаны с изменением соотношения плагиоклаза и пироксена. Более того, нали-

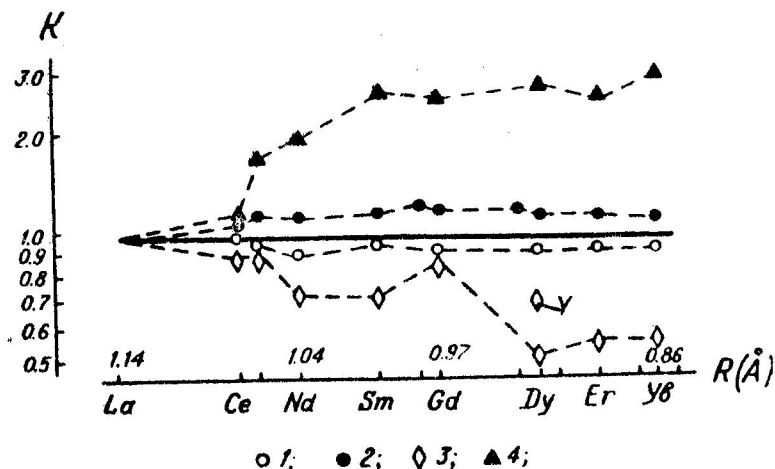


Рис. 17. Изменение относительного содержания р.з.э. в плагиоклазе и пироксene из габбро и средних относительных содержаний для габбро и габбро-диоритов.

K - коэффициент концентрации р.з.э., отнесенный к средней распространенности р.з.э. в Зекарской интрузии, которая в настоящей работе принята за эталон сравнения по методу Кориелла и др. (1952) Coryell and coll. (A) - величина ионных радиусов по Аренсу (1952), 1- габбро, 2-габбро-диорит, 3- плагиоклаз (№ 50-53), 4- пироксен.

торое относительное преобладание легких лантаноидов в габбро-диоритах по сравнению с габбро (рис. 17), очевидно, подчиняется той же зависимости. Таким образом, центральные зоны Зекарской интрузии в целом отличаются от краевых, представленных габбро, относительным накоплением цериевой группы.

Сопоставление данных, приведенных для габбровых разновидностей в таблицах 20 и 21, позволяет наметить бо-

лее определенную закономерность. Из таблицы 25 следует, что более кислый плагиоклаз (№50-53) относительно обогащен легкими лантаноидами ( $\frac{\Sigma Ce}{\Sigma Y} = 3,1$ ) по сравнению с более основным (№65) плагиоклазом ( $\frac{\Sigma Ce}{\Sigma Y} = 2,7$ ). Так как химический состав габбро определяется главным образом количеством плагиоклаза и пироксена, то отношение петрохимических параметров  $\frac{a}{c}$  отражает изменение в основности (составе) плагиоклаза (табл. 20) (что подтверждается и изменениями номеров плагиоклаза) и свидетельствует о вариациях состава р.з.э. в плагиоклазах.

По величине отношения  $\frac{a}{c}$  габброидные породы разделяются на две группы ( $\frac{a}{c} = 0,83 - 1,2$  и  $2,4 - 2,8$ ), которым соответствуют различные парагенезисы. Группа с пониженным соотношением  $\frac{a}{c}$  характеризуется парагенезисом, отвечающим нормальному габбро - Мон + Пл + (Р.об., в другой обнаруживается парагенезис Мон+Пл+Би+Кш, характерный для габбро-шонкинитов.

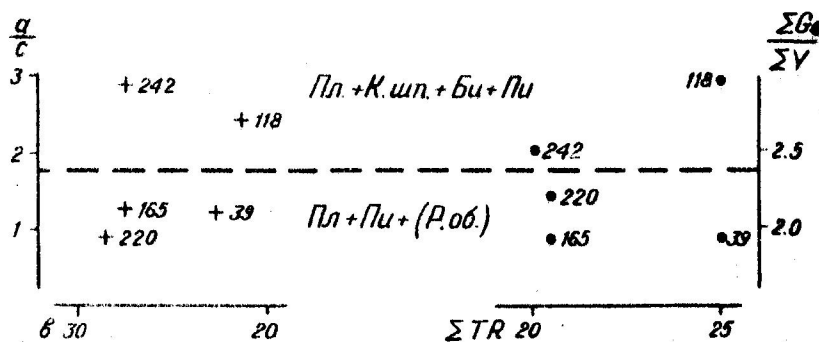


Рис. 18. Различия в составе и содержании р.з.э. в габбро и габбро-шонкинитах в зависимости от изменений петрохимических параметров  $a/c$  и  $b$ .

На рис. 18 приведена диаграмма изменения отношения петрохимических параметров  $\frac{a}{c}$  и отношения  $\frac{\Sigma Ce}{\Sigma Y}$  (построенная по данным табл. 20).

Из диаграммы видно, что максимальным значениям отношения соответствует и наибольшее обогащение легкими лантаноидами и наоборот. Следовательно, различие в составе р.з.э. плагиоклазов и габбро и соответствующая разница в соотношении р.з.э. габбро и габбро-шонкинитов отражает различие в условиях щелочности среды при формировании этих пород. Подобное генетическое различие в распределении р.з.э. обусловлено, очевидно, особенностями становления интрузии. Можно полагать, что малый размер интрузии, ее гипабиссальное положение и наличие ксенолитов в краевых частях являлось причиной вариаций в потенциалах щелочей в момент кристаллизации пород, что и наложило отпечаток на изменение состава р.з.э. в разных типах габбровых пород.

Из рис. 18 следует также, что изменение содержания р.з.э. в обоих полях щелочности коррелируется с вариациями петрохимического параметра  $b$ , показывающего относительное содержание темноцветных минералов в породе. Габбро с минимальными значениями  $b$  характеризуется повышенным содержанием суммы р.з.э. и наоборот. Изменения параметра  $b$  в породах одного и того же поля отражают эволюцию в составе пород в ходе кристаллизационной дифференциации габбро-диоритового расплава (уменьшение содержания темноцветных к концу кристаллизации. Значительное увеличение суммы р.з.э. к габбро-диоритам ( $TR_2O_3 = 2,0 \cdot 10^{-3\%}$  и  $3,5 \cdot 10^{-3\%}$  соответственно) обусловлено накоплением р.з.э. в более кислых дифференциатах, как и в сильно дифференцированных, многофазных интрузиях кислого состава [Калифорнийский и Сусамырский батолиты (Леонова, Балашов, 1963, Towell и др. 1963)]. В последних и изменение состава р.з.э. от габбро к гранодиоритовым фациям в целом более контрастно, чем в породах Зекарской интрузии, где процессы эвтектической кристаллизации затушевы-

ваются различием щелочности в отдельных участках интрузии.

Сравнивая среднюю распространенность р.э.э. в Зекарской интрузии с данными по основным породам других районов, следует отметить близость состава и содержания р.э.э. Зекарской интрузии к габбро-диоритовой фазе Сусамырского батолита и к габбро-диориту Мерисской интрузии (Грузия). В то же время распространенность р.э.э. в исследуемой интрузии заметно отличается от атлантических оливиновых базальтов Килауэа (табл. 22), что может указывать на генетическое различие с основными породами, формировавшимися в различных геологических условиях. Следует отметить, что на основании геолого-тектонических исследований П.Д. Гамкелидзе (1949) пришел к выводу, что сиенитовые и габбро-диоритовые интрузии Аджаро-Триалетской складчатой системы имеют аналогичное происхождение. Глубинные сиенитовые участки габбро-диоритовых тел он считает еще не вскрытными эрозией. Наличие генетической связи между сиенитовыми (Мериси, Вакиджвари) и габбро-диоритовыми (Зекари) интрузиями подчеркивают и другие геологи (Дзоценидзе, 1948 и др.). Таким образом, близость в распространенности р.э.э. габбро-диоритов Мерисской и Зекарской интрузий, очевидно, является геохимическим индикатором, подтверждающим геологические наблюдения. Кроме того, отмеченные вариации в составе и содержании эффузивных основных пород — базальтов и диабазов (табл. 22) — вероятно, связаны с колебаниями физико-химических условий, в частности режима щелочности, в процессе их становления (Балашов, Кекелия, 1965). По аналогии с изменением состава р.э.э. в габбро Зекарской интрузии можно полагать, что и здесь ведущим фактором являются различия в потенциале щелочей исходных расплавов.

Таблица 21  
Состав редкоземельных элементов в плагиоклазах и пироксене из габбро Зекарской интрузии

Минерал	Редкие земли							
	La	Ce	Pr	Nd	Sm	Eu	Gd	Td
Плагиоклаз 50-53	1	1,65	0,23	0,7	0,16	0,15	0,23	-
Плагиоклаз 60-65	1	1,87	0,22	0,83	0,19	0,12	0,18	-
Пироксен	1	2,2	0,42	2,0	0,64	0,22	0,75	0,14

Минерал	Редкие земли							
	Dy	Ho	Er	Yd	Y	Lu	$\frac{\Sigma Ce}{\Sigma Y}$	$TR_2O_3 \%$
Плагиоклаз 50-53	0,11	-	0,07	0,06	0,7	-	3,1	0,007
Плагиоклаз 60-65	0,15	-	0,13	0,08	0,9	-	2,7	0,007
Пироксен	0,60	0,10	0,30	0,28	2,9	0,09	1,2	0,007

Суммы р.э.э. в некоторых минералах  
Зекарской интрузии \*)

$TR_2O_3 \%$	Минералы					
	Пироксен, обр. 243	Калишпат, обр. 243	Плагиоклаз, обр. 243	Пироксен, обр. 243	Пироксен, обр. 209	Калишпат, обр. 259
$TR_2O_3 \%$	0,003	0,007	0,007	0,024	0,016	0,009

\*) Сумма  $TR_2O_3$  в породообразующих минералах определялась калориметрическим методом.

Таблица 22

Средняя распространенность редкоземельных элементов в некоторых

Элементы	Габбро-диас-тиры (Зеки-ри)		Габбро-диориты (Мериси)		Диабаз (Монте-Турда)		Базальты (Сусак-мысский ба-тонит)		ГабброК-литориты (Южно-Ки-ский баго-нат)		Оливиновые базальты (Атлантика)		Вулкано-с性强ебазаль-ты Капуэя			
	La	1,0	1,0	1,0	2,2	1,0	1,0	2,0	1,0	1,0	3,6	0,59	1,9	3,50	1,0	4,96
Ce	1,9	1,8	0,23	0,27	0,29	0,29	0,29	0,39	0,39	0,59	0,65	0,59	1,70	0,40	0,37	0,37
Pr	0,24	0,24	1,0	1,2	1,04	0,97	0,97	1,9	1,9	1,17	0,32	0,32	0,40	0,40	0,40	0,40
Nd	1,0	1,0	0,24	0,27	0,27	0,27	0,27	0,22	0,22	0,60	0,60	0,60	0,40	0,40	0,40	0,40
Sm	0,24	0,24	-	-	-	-	-	0,06	0,06	0,25	0,25	0,25	0,12	0,12	0,12	0,12
Eu	0,067	-	-	-	-	-	-	-	-	0,72	1,90	1,90	0,35	0,35	0,35	0,35
Gd	0,25	0,29	0,35	0,35	0,24	0,24	0,24	0,21	0,21	0,06	0,06	0,06	0,06	0,06	0,06	0,06
Tb	0,057	-	-	-	0,07	0,07	0,07	0,012	0,012	0,7	-	-	-	-	0,39	0,39
Dy	0,20	0,20	0,21	0,21	0,24	0,24	0,24	0,14	0,14	0,14	0,14	0,14	0,44	0,44	0,44	0,44
Ho	0,067	-	-	-	0,08	0,08	0,08	0,03	0,03	0,43	0,43	0,43	1,35	1,35	1,35	1,35
Er	0,12	0,15	0,15	0,15	0,12	0,12	0,12	0,075	0,075	0,06	0,33	0,33	1,08	1,08	1,08	1,08
Yb	0,09	0,1	0,1	0,1	0,14	0,14	0,14	0,06	0,06	0,85	3,8	3,8	10,50	10,50	10,50	10,50
Y	1,02	1,5	1,3	1,4	-	-	-	-	-	-	-	-	0,23	0,23	0,23	0,23
$\frac{Lu}{Ce}$	2,3	2,0	2,1	1,9	-	-	-	3,15	3,15	1,1	-	-	0,65	0,65	0,65	0,65
$\Sigma REO$ , %	2,3·10 <sup>-2</sup> %	2,4·10 <sup>-3</sup> %	2,0·10 <sup>-2</sup> %	3,8·10 <sup>-2</sup> %	2,5·10 <sup>-2</sup> %	5·3·10 <sup>-3</sup> %	5·3·10 <sup>-3</sup> %	1,1·10 <sup>-2</sup> %	1,1·10 <sup>-2</sup> %	1,1·10 <sup>-2</sup> %	1,1·10 <sup>-2</sup> %	1,1·10 <sup>-2</sup> %	1,1·10 <sup>-2</sup> %	1,1·10 <sup>-2</sup> %	1,1·10 <sup>-2</sup> %	1,1·10 <sup>-2</sup> %
K-го анализа	Среднее из 18	Среднее из 18	1	1	1	4	Среднее из 4	4	4	4	4	4	4	4	4	4
Литература	Ю.А.Балашов, М.А.Кекенев	Ю.А.Балашов, М.А.Кекенев	Ю.А.Балашов, М.А.Кекенев	Ю.А.Балашов, М.А.Кекенев	Ю.А.Балашов, М.А.Кекенев	Ю.А.Балашов, М.А.Кекенев	Ю.А.Балашов, М.А.Кекенев	Ю.А.Балашов, М.А.Кекенев	Ю.А.Балашов, М.А.Кекенев	Ю.А.Балашов, М.А.Кекенев	Ю.А.Балашов, М.А.Кекенев	Ю.А.Балашов, М.А.Кекенев	Ю.А.Балашов, М.А.Кекенев	Ю.А.Балашов, М.А.Кекенев	Ю.А.Балашов, М.А.Кекенев	Ю.А.Балашов, М.А.Кекенев
литер.	(1965)	(1965)	(1965)	(1965)	(1965)	(1965)	(1965)	(1965)	(1965)	(1965)	(1965)	(1965)	(1965)	(1965)	(1965)	(1965)

## ФАКТОРЫ ДИФФЕРЕНЦИАЦИИ РЕДКОЗЕМЕЛЬНЫХ ЭЛЕМЕНТОВ В ПОРОДАХ ЗЕКАРСКОЙ ИНТРУЗИИ

Как указывалось, между габбро и шонкинитами обнаруживается различие в содержании р.з.э., коррелируемое со значением петрохимических параметров, в частности с отношением  $a/c$ . Очевидно, кроме габбро, породы более кислого состава — габбро-диориты и диориты той же серии должны быть противопоставлены в отношении р.з.э. шонкинитам.

Для графического изображения соотношения групп и отдельных р.з.э. в породах наиболее целесообразно использовать семикомпонентные диаграммы В.И.Лодочникова (Павленко, 1983; Балашов и Шараськин, 1966).

Способ построения диаграммы приведен на рис. 19, где состав р.з.э. представлен ломаным вектором с тремя фигуративными точками, полученными в результате занесения в определенном порядке процентного содержания каждого из семи четных р.з.э. Последние используются для характеристики составов р.з.э. в силу подобия изменения соотношения среди четных и нечетных р.з.э. (Баринский, 1958). При этом учитывается, что нарушение соотношения отдельных пар элементов, обвязанное изменению валентности одного из них, легко может быть описано величинами отношений этих пар (например,  $\frac{Ce}{La}$  или  $\frac{Dy}{Sm}$ ) (Балашов и др., 1965; Балашов, Шараськин, 1966).

Подобные диаграммы (см. рис. 19) характеризуются следующими особенностями:

1. Величина вектора 1 пропорциональна суммарному процентному содержанию Sm и Gd, а его наклон характеризует величину отношения  $\frac{Dy}{Gd}$ .

2. Величина вектора 2 пропорциональна суммарному процентному содержанию Dy и Er, а его наклон характеризует отношение  $\frac{Dy}{Er}$ .

3. Расстояние по горизонтали от нижней фигуративной точки вектора до гипотенузы треугольника пропорционально процентному содержанию Yb, а линия, про-

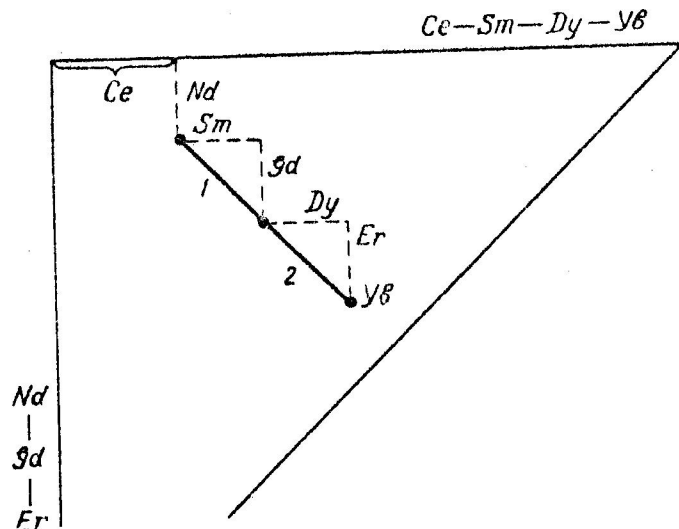


Рис. 19. Способ нанесения содержания р.э. на семикомпонентную диаграмму.

веденная через эти точки показывает изменение содержания (Балашов, Шараськин, 1966).

Нанесение всех данных состава р.э.<sup>9)</sup> в габбро-диоритах, диоритах и шонкинитах на семикомпонентную диаграмму и сравнение линий изменения состава р.э. в пределах обоих эволюционных рядов (рис. 20) вполне определено показывает, что в пределах Зекарской интрузии обнаруживается, в соответствии с особенностями петрохимии самой интрузии, два самостоятельных, не совпадающих друг с другом типа дифференциации р.э., отражаемых различием в наклоне линий эволюции состава р.э. пород щелочноземельной и субщелочной серий. Из рис. 20 следует, что это касается прежде всего изменений соотношения самых легких лантаноидов (верхняя линия, отвечающая отношению  $\frac{\text{Ce}}{\text{Nd}}$ ). Для серии габбро-диоритов отмечается менее контрастное изменение отношения  $\frac{\text{Ce}}{\text{Nd}}$ , чем для серии

<sup>9)</sup> Содержание р.э. приводятся в табл. 19 и 29.

шонкинитов. Различие в соотношении средних и тяжелых лантаноидов в обеих сериях незначительно (близость средней и нижней линий и наклонов векторов обеих серий). Следовательно, можно говорить, что различие в эволюции состава р.э. щелочноземельной и субщелочной серий обусловлено главным образом изменением относительного содержания самых легких лантаноидов.

С другой стороны, дифференциация р.э. в пределах каждой серии (вдоль линий), несомненно, отражает эволюцию состава р.э., в ходе кристаллизационной дифференциации. В последнем легко убедиться если сравнить распределение точек составов р.э. габбро и диоритов (рис. 20). Поздние дифференциаты более кислого состава щелочноземельной серии - диориты приурочены лишь к правой ветви и характеризуются более резким обогащением легкими лантаноидами. Если учесть, что начиная с дифференциатам габбро левой части диаграммы (рис. 20), характеризующимся относительным обогащением тяжелыми лантаноидами, отвечают весьма низкие суммарные содержания р.э. ( $0.7 - 1.9 \cdot 10^{-2} \% \text{TR}_2\text{O}_3$ ), а габбро-диоритам и габбро правой части с преобладанием легких р.э. гораздо более высокие концентрации суммы р.э. ( $1.8 - 7.6 \cdot 10^{-2} \% \text{TR}_2\text{O}_3$  и  $3.5 - 4.9 \cdot 10^{-2} \% \text{TR}_2\text{O}_3$  соответственно), то вполне очевидна общая направленность в изменении состава и содержания р.э. в ходе кристаллизационной дифференциации габбро-диоритовой серии Зекарской интрузии: от ранних к поздним разновидностям пород происходит накопление суммы при относительном обогащении легкими р.э. Отмеченная эволюция в распределении р.э. для габбро-диоритовой серии вполне сопоставима с характером дифференциации р.э. в других, изученных ранее породах базальтоидных (Павленко и др., 1966) гранитоидных (Балашов, 1963), ультраосновных щелочных (Балашов, Шараськин, 1966) формаций.

Для субщелочной серии шонкинитов, являющейся более поздним дифференциатом (приуроченность к централь-

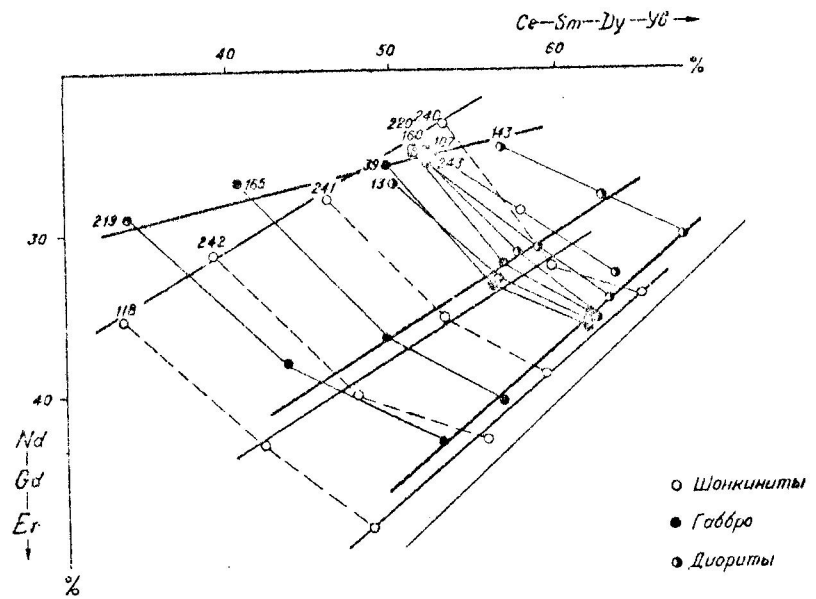


Рис. 20. Совмещенная диаграмма эволюции состава р.з.э. щелочноземельной и субщелочной серий пород Зекарской интрузии.

ных частиях интрузии) характерны в целом более высокие концентрации р.з.э. ( $2,0 - 2,5 \cdot 10^{-2}\%$ ) (Балашов, Кекелия, 1965). В пределах эволюционных линий (рис. 20) для шонкинитов отчетливых изменений в сумме р.з.э. не обнаружено, что, возможно, связано с относительно небольшими колебаниями содержания р.з.э. для этой группы пород. Напротив, изменения состава р.з.э. в шонкинитах весьма значительны. Таким образом, увеличение щелочности пород по сравнению с габбро (образование шонкинитов) влияет в первую очередь на изменение соотношений р.з.э. Следует, однако, отметить, что в целом шонкиниты отличаются от габбро более высоким содержанием суммы р.з.э. при относительном обогащении легкими р.з.э., что характерно для поздних фаз обычного ряда кристаллизационной дифференциации.

ции. Отсюда очевидно, что использование лишь величин отношений  $\frac{Ce}{La}$  и  $TiO_2$  (без анализа эволюции состава р.з.э. иными методами, например, с помощью семикомпонентной диаграммы) может привести к ложным выводам о факторах разделения р.з.э. и, следовательно, об условиях формирования пород (в нашем случае для шонкинитов можно было бы "пропустить" влияние повышения потенциалов щелочей при образовании этих пород).

Резюмируя все сказанное, можно заключить, что вариации в составе р.з.э. для пород Зекарской интрузии обусловлены кристаллизационной дифференциацией (внутри каждой серии) и различием в щелочности при формировании пород (между сериями) (Кекелия, Балашов, 1967<sup>1</sup>). Относительные изменения в составе р.з.э. пород при этом связаны прежде всего с различием в соотношении легких лантаноидов. Разделение этих элементов в результате кристаллизационной дифференциации для щелочноземельной серии, формировавшейся при относительно чрезвычайно высоких значениях потенциалов щелочей, менее значительны, чем для серии шонкинитов. Таким образом, поведение р.з.э. при образовании отдельных серий оказывается не идентичным и, следовательно, различия в интенсивности изменений состава р.з.э. (в фактонах линий на семикомпонентных диаграммах) следует рассматривать как геохимический индикатор изменения условий щелочности среды при формировании магматических пород, что вполне отвечает петрохимическим различиям обеих серий (Кекелия, 1966).

## РАСПРЕДЕЛЕНИЕ РЕДКОЗЕМЕЛЬНЫХ ЭЛЕМЕНТОВ В АНДЕЗИТО-БАЗАЛЬТОВОЙ ТОЛЩЕ ЗЕКАРСКОГО МАССИВА

Рассмотрим закономерности поведения редкоземельных элементов в андезито-базальтовой толще, вмещающей Зекарскую интрузию. Петрохимическая близость андезито-базальтов Зекари к габбро-диоритовой серии (рис. 12 и табл. 13, 16) позволяет предположить и аналогию в распределении в них р.з.э. (Кекелия, 1966). Из рис. 21 а, на котором представлены составы р.з.э. в исследованных нами вмещающих эфузивах (табл. 23) следует, что в этой толще наблюдается дифференциация р.з.э., причем относительное обогащение тяжелыми лантаноидами обнаруживают более основные, а накопление легких р.з.э. — более кислые эфузивы (табл. 24). Сопоставление линий изменения составов р.з. э. эфузивов и габбро-диоритовой серии Зекари

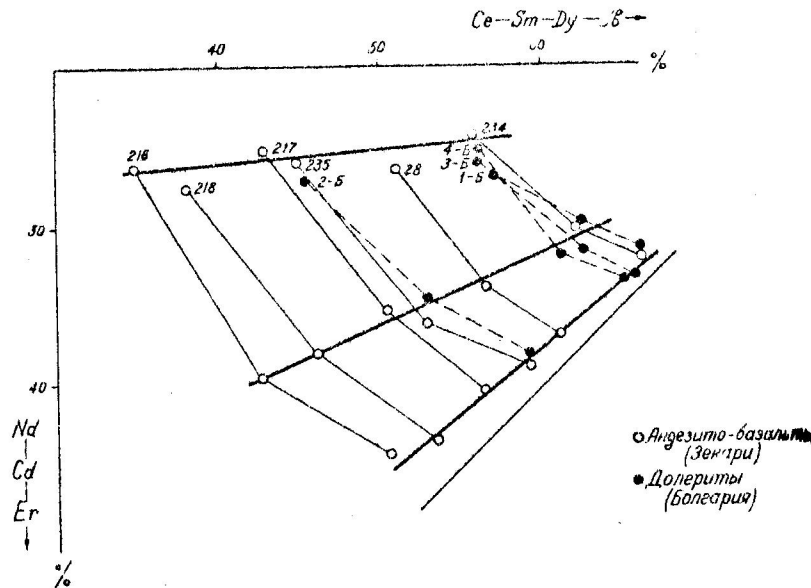


Рис. 21 а. Изменение состава и содержания р.з.э. в породах вмещающей андезито-базальтовой толщи.

показывают полную их тождественность (рис. 21 б). Близость р.з.э. для обеих серий (табл. 24) и аналогия в эволюции состава р.з.э. подтверждают тем самым, что распределение р.з.э. во вмещающих эфузивных (рис. 21 а) отражает этапы кристаллизационной дифференциации, общие для близких по возрасту эфузивных и интрузивных пород, происшедших, очевидно, из единого магматического очага (Кекелия, Балашов, 1967).

С целью сравнения, в табл. 23 приводятся данные по р.з.э. для базальтов и долеритов Центрального разлома, пересекающего Болгарию с севера на юг. Нанесение на диаграмму (рис. 21 а) данных состава р.з.э. в базальтах и долеритах Болгарии и состава р.з.э. в эфузивах Аджаро-Триалетии показывает достаточную близость распространенности р.з.э. нормальных и субшелочных разновидностей Болгарии к наиболее обогащенной легкими лантаноидами группе пород Грузии (первая ветвь), хотя субшелочной характер болгарских основных пород сказывается в некотором, но небольшом смещении точек, отражающих соотношения наиболее легких р.з.э. ( $\frac{Ce}{Nd}$ ), в сторону увеличения Nd по сравнению с андезитами, что напоминает подобную тенденцию, отмеченную в шонкинитах Зекарской интрузии. Следовательно, разделение р.з.э. в эфузивах обусловлено теми же факторами — падением температуры и вариациями в щелочности, — что и в интрузивных породах.

Как видно из таблицы 25, в долеритах Болгарии отмечаются значительные изменения в содержании и составе р.з.э. ( $\frac{\Sigma Ce}{\Sigma Y} = 3,6 - 1,9$  при  $\text{TR}_2\text{O}_3 = 0,026 - 0,014 \%$ ).

Повышенное содержание р.з.э. (в среднем) в основных породах Болгарии ( $0,025 \% \text{TR}_2\text{O}_3$ ) и резкое преобладание легких лантаноидов ( $\frac{\Sigma Ce}{\Sigma Y} = 3,1$ ), при отмечаемых колебаниях в распространенности р.з.э. долеритов, существенно отличают природенные типы базальтов и долеритов Болгарии от их платформенных аналогов — траппов Сибирской платформы (Балашов, Несторенко, 1966), в которых

Таблица 23

Состав и содержание редкоземельных элементов в породах Зекарского массива, г/т

№ по- зи- ции	Порода	La	Ce	Pr	Nd	Sm	Eu	Gd	Tb	Dy	Ho	Er	Yb	Y	$\frac{\Sigma Ce}{\Sigma Y}$	TR <sub>2</sub> O <sub>3</sub> %
219	Габбро-про- ксенит	7,9	21	2,8	18	6,0	1,8	5,6	1,8	6,0	2,2	3,0	2,6	32	1,1	7,0 10 <sup>-3</sup>
216	Порфирит	9,0	16	4,9	12	3,6	2,0	6,1	-	3,6	-	2,2	2,4	22	1,3	8,5 10 <sup>-3</sup>
240	Щонкинит	38	90	-	39	11	-	15	-	9,0	-	3,0	2,2	-	2,7	2,4 10 <sup>-2</sup>
217	Базальт	25	48	8,2	27	8,2	4,0	11	1,6	6,3	1,9	5,5	3,8	39	1,7	2,1 10 <sup>-2</sup>
218	Порфирит	1,6	25	5,5	18	4,8	2,2	6,8	-	4,8	-	3,7	2,7	27	1,5	1,4 10 <sup>-2</sup>
234	Андезит	24	48	5,0	24	5,5	1,6	5,0	-	3,4	-	1,6	1,8	24	2,8	1,7 10 <sup>-2</sup>
235	Андеэнт	18	38	6,2	22	6,7	1,6	8,6	-	5,3	-	2,2	1,8	22	2,2	1,8 10 <sup>-2</sup>
90	Эпидоэзит	43	86	11	62	20	-	23	-	13	-	8,0	10	86	1,5	4,5 10 <sup>-2</sup>
28	Туф	30	65	6,2	38	6,0	-	8,0	-	4,8	-	3,4	2,0	30	2,1	3,0 10 <sup>-2</sup>
1-Б*	Базальт	45	87	11	41	9,0	2,7	7,2	-	5,4	-	2,6	1,6	31	3,6	2,9 10 <sup>-2</sup>
4-Б*	То же	43	86	12	39	7,8	2,6	9,0	2,6	5,8	-	3,2	3,0	39	2,8	3,0 10 <sup>-2</sup>
3-Б*	Долерит	40	80	10	37	9,0	2,0	8,0	-	4,4	-	2,4	1,7	21	3,6	2,6 10 <sup>-2</sup>
2-Б*	То же	13	34	4,9	20	5,5	1,5	5,7	1,6	4,7	1,2	2,7	2,1	30	1,9	1,4 10 <sup>-2</sup>

\*) Анализы р.з.э. безалльтов и долеритов Болгарии (приводятся впервые. Анализы произведены Ю.А.Балашовым).

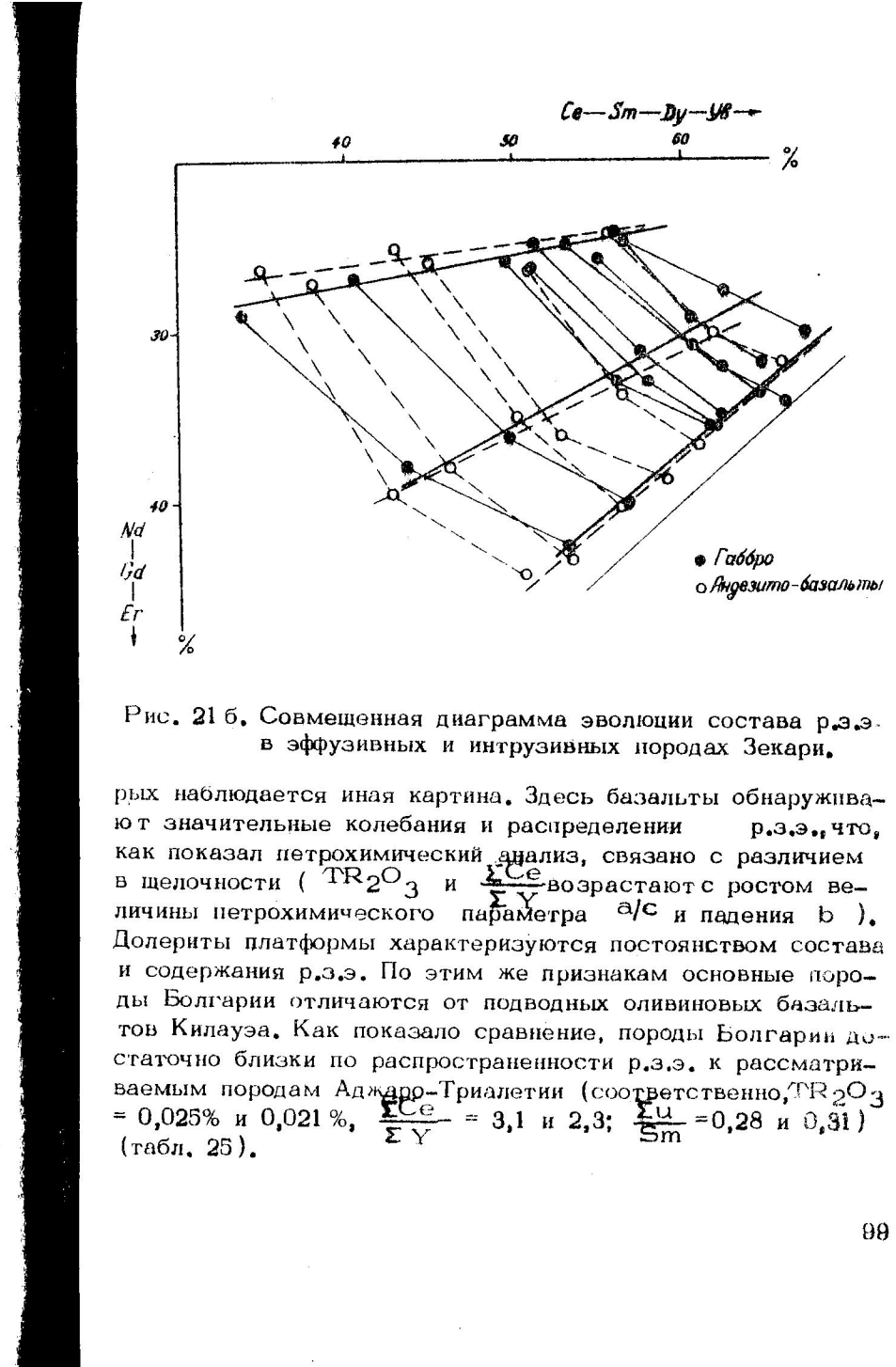


Рис. 21 б. Совмещенная диаграмма эволюции состава р.з.э. в эффективных и интрузивных породах Зекари.

рых наблюдается иная картина. Здесь базальты обнаруживают значительные колебания и распределения р.з.э., что, как показал петрохимический анализ, связано с различием в щелочности (TR<sub>2</sub>O<sub>3</sub> и  $\frac{\Sigma Ce}{\Sigma Y}$  возрастают с ростом величины петрохимического параметра  $a/c$  и падения  $b$ ). Долериты платформы характеризуются постоянством состава и содержания р.з.э. По этим же признакам основные породы Болгарии отличаются от подводных оливиновых базальтов Килауэа. Как показало сравнение, породы Болгарии достаточно близки по распространенности р.з.э. к рассматриваемым породам Аджаро-Триалетии (соответственно, TR<sub>2</sub>O<sub>3</sub> = 0,025% и 0,021%,  $\frac{\Sigma Ce}{\Sigma Y}$  = 3,1 и 2,3;  $\frac{\Sigma U}{\Sigma Y}$  = 0,28 и 0,31) (табл. 25).

Поскольку вышеупомянутые породы отличаются от траппов Сибири и подводных океанических базальтов, то, очевидно, это различие является генетическим. Можно, следовательно, полагать, что в подвижных зонах земной коры, источники магмы, формирующие андезито-базальтовые и долеритовые покровы или габбропл. интрузии, отличаются по условиям формирования и дифференциации от образований аналогичного типа в платформенных условиях.

Таблица 24  
Распределение CaO, Na<sub>2</sub>O, K<sub>2</sub>O и TR<sub>2</sub>O<sub>3</sub>  
в андезито-базальтах Зекарского массива

№ пробы	216	218	217	235	234
CaO	11,88	11,58	9,38	8,07	6,78
Na <sub>2</sub> O	3,15	2,92	2,14	2,49	2,42
K <sub>2</sub> O	0,80	0,50	3,49	2,86	5,12
TR <sub>2</sub> O <sub>3</sub> · 10 <sup>-2</sup> %	0,85	1,4	2,1	1,6	1,7
$\frac{\Sigma Ce}{\Sigma Y}$	1,3	1,5	1,7	2,2	2,8

Сумма р.з.э. в габбро Зекарской интрузии

№ пробы	219	165	39	220	239	237
TR <sub>2</sub> O <sub>3</sub> · 10 <sup>-2</sup> %	0,7	1,9	2,6	1,9	1,5	1,4

Отмеченная выше пространственная и возрастная сопряженность габброндов и эфузивов подтверждается также особенностями химизма этих образований. Как габбро, так и андезито-базальты приадлежат к единой ассоциации с ярковыраженным щелочноzemельным характером (совпадение вариационных линий этих пород на диаграмме — рис. 12). Обнаруживается отклонение вариационной линии шонкингов, которое, как отмечалось выше, вызвано повыше-

Таблица 25

Относительная рас пространенность редкоземельных элементов  
в платформенных и геосинклинальных тектонических  
породах

Элементы	Болеея	Сибирская п. форма	Западная Группа			Восточная																	
			Ла	Се	Пр	Нд	См	Еу	Гд	Тт	Ду	Хб	Ла	См	Еу	Гд	Тт	Ду	Хб	Ла	См	Еу	Гд
La	1,0	1,0	1,0	1,0	1,0	1,0	1,0	1,0	1,0	1,0	1,0	1,0	1,0	1,0	1,0	1,0	1,0	1,0	1,0	1,0	1,0	1,0	1,0
Ce	1,95	2,0	2,0	2,7	2,05	2,2	1,96	1,85	2,20	3,1	2,2	2,7	2,0	1,9	1,95	2,1	1,6	1,6	1,6	1,6	1,6	1,6	3,33
Pr	0,25	0,28	0,24	0,39	0,27	0,33	0,34	0,35	0,33	0,41	0,46	0,40	0,25	0,32	0,26	0,31	0,38	0,45	0,45	0,45	0,45	0,45	0,47
Nd	0,91	0,91	0,93	1,35	0,37	1,2	1,15	1,3	1,27	1,5	1,8	1,80	1,0	1,1	1,1	1,1	2,17	3,50	1,7	1,7	1,7	1,7	1,7
Sm	0,20	0,18	0,22	0,44	0,22	0,24	0,29	0,45	0,33	0,46	0,72	0,61	0,24	0,26	0,26	0,32	0,37	1,17	1,17	1,17	1,17	1,17	1,17
Eu	0,68	0,68	0,65	0,12	0,065	0,05	0,11	0,13	0,11	0,18	0,20	0,22	0,07	—	0,08	0,09	0,14	0,52	0,12	0,12	0,12	0,12	0,12
Gd	0,16	0,21	0,20	0,46	0,21	0,17	0,41	0,51	0,37	0,62	0,75	0,73	0,25	0,23	0,27	0,36	—	1,50	1,45	1,45	1,45	1,45	1,45
Tt	—	0,06	—	0,13	0,036	—	—	—	0,10	0,08	0,20	0,17	0,07	—	0,08	0,06	0,09	0,35	0,08	0,08	0,08	0,08	0,08
Dy	0,12	0,13	0,11	0,38	0,14	0,08	0,28	0,54	0,35	0,52	0,77	0,71	0,15	0,20	0,22	—	0,47	—	0,30	0,30	0,30	0,30	0,30
Ho	—	—	—	0,10	0,035	—	—	0,13	0,10	0,18	—	0,20	0,12	—	0,09	0,11	0,09	0,44	0,06	0,06	0,06	0,06	0,06
Er	0,087	0,073	0,06	0,22	0,077	0,02	0,14	0,26	0,20	0,31	0,46	0,42	0,16	0,15	0,13	0,22	—	1,35	0,16	0,16	0,16	0,16	0,16
Du	—	—	—	—	—	—	—	—	—	—	—	—	—	—	—	—	—	—	0,03	0,23	0,02	0,02	0,02
Xb	0,036	0,07	0,04	0,17	0,06	0,01	0,11	0,22	0,17	0,29	0,45	0,36	0,09	0,09	0,11	0,18	0,24	1,05	0,11	0,11	0,11	0,11	0,11
La	—	—	—	—	—	—	—	—	0,04	—	—	0,19	—	—	—	—	0,03	0,04	0,23	0,02	0,02	0,02	0,02
Y	0,70	0,90	0,70	1,70	0,85	0,40	1,4	2,35	1,9	4,0	6,8	4,5	1,0	0,8	1,1	2,0	3,0	10,5	1,5	1,5	1,5	1,5	1,5
$\frac{Ce}{La}$	3,6	2,8	3,6	1,9	3,1	6,7	1,7	1,95	1,6	1,0	0,98	0,95	2,2	2,8	2,3	1,4	1,2	0,65	2,6	2,6	2,6	2,6	2,6
$\frac{Sm}{La}$	0,30	0,30	0,23	0,27	0,28	0,21	0,38	0,27	0,33	0,40	0,36	0,30	—	0,31	0,28	0,38	0,34	0,30	0,012	0,012	0,012	0,012	0,012
$\frac{Eu}{La}$	0,031	0,026	0,014	0,025	0,025	0,017	0,0033	0,014	0,014	0,008	0,011	0,019	0,025	0,021	0,011	0,011	0,011	0,011	0,011	0,011	0,011	0,011	

Литера-  
турные  
источники

Ю.А.Белоцлов, Г.В.Несторенко, 1966,

Ю.А.Белоцлов,  
М.А.Кекелия,  
1955,

Л.А.Хаскин и др. (1968)

нием щелочности расплава.

Как показал анализ поведения р.з.э. в исследованных породах, дифференциация состава р.з.э. в эфузивах и в интрузии обусловлена одними и теми же факторами: с одной стороны, кристаллизационной дифференциацией, и с другой, – вариациями щелочности расплава.

Таким образом, отмеченные особенности поведения р.з.э. в породах Зекарского массива (Кекелия, Балашов, 1967) на фоне общности нетрохимических черт и геологического положения эфузивов и габброидов (Кекелия, 1966) позволяет говорить о происхождении в тех и других из единого магматического очага родоначальной магмы, т.е. об их комагматичности.

### РАСПРЕДЕЛЕНИЕ И ОСОБЕННОСТИ ПОВЕДЕНИЯ РЕДКИХ ЩЕЛОЧНЫХ ЭЛЕМЕНТОВ (Li и Rb) В ПОРОДАХ ЗЕКАРСКОГО МАССИВА

Изучением особенностей распределения лития и рубидия в изверженных горных породах занимались многие исследователи. К настоящему времени известно, что в процессе магматической дифференциации редкие щелочные элементы проявляют неодинаковое поведение на различных стадиях магматического процесса и накапливаются в поздних дифференциатах. Отмеченное свойство редких щелочных элементов используется часто для установления последовательности образования пород в генетически связанных сериях.

Как было показано выше, главными причинами, определяющими различия пород в Зекарском массиве, являются с одной стороны, кристаллизационная дифференциация и, с другой – различный потенциал щелочей (в особенности лития) в отдельных участках интрузии. В этой связи, рассмотрение вопросов, касающихся поведения лития и рубидия в процессе формирования Зекарского массива, представляется наиболее целесообразным.

Изучавшиеся образцы были отобраны из главных типов пород Зекарской интрузии и вмещающей ее вулканогенной толщи среднего зоцена, наименее затронутых постмагматическими процессами (вопросы о влиянии постмагматических процессов на распределение лития и рубидия пока специально не рассматриваются). Нами не обсуждаются также вопросы распределения лития и рубидия в минералах. Подобные исследования проводились рядом исследователей (Гернадский 1914; Гоньшмидт и др., 1938<sub>1</sub>, 1938<sub>2</sub>, 1936; Strock, Ноккоудс и Митчелл, 1952; Ноккоудс и Аллен, 1959; Таусон, 1958, 1960, 1961; Злобин и Лебедев, 1960; Закариашвили, 1950; Таусон), которыми установлены основные минералы-концентраторы и минералы-носители названных элементов и рассмотрены кристаллохимические особенности вхождения их в турообразующие минералы. Эти работы показали, что литий концентрируется, главным образом в железо-магнезиальных силикатах и что основным минералом-концентратором его является биотит. Для рубидия характерно вхождение в решетку биотита и клинопирровых полевых шпатов, что обусловлено кристаллохимической и химической близостью его с калием. Поэтому в настоящей работе основное внимание мы уделяем определению и закономерностям распределения редких щелочных элементов в породах.

### ЛИТИЙ

Определения содержания лития в породах сведены в табл. 26, 27, 28, из которых видно, что содержания лития в габбровых породах Зекарского массива колеблются в незначительных пределах – 0,0004 % – 0,0012 % и равняются в среднем 0,0008 %. При сравнении этих цифр с содержанием Li в основных породах других регионов, получается следующая картина: содержания лития в габбро Зекарской интрузии заметно ниже цифр, приводимых для габбро (0,0017 %) и диоритов (0,0024 %) Э.Л.Хорстманом (1957). Данные А.П.Виноградова (1962), К.К.Турекьяна и

Таблица 26

Содержание K, Na, Fe<sup>2+</sup>, Mg, Li  
в габбро Зекарской интрузии, вес. %

N <sup>o</sup> про- бы	Порода	K	Na	Fe <sup>2+</sup>	Mg	Li	Mg/Li	Fe <sup>2+</sup> /Li	Fe <sup>2+</sup> +Mg/Li
219	Габбро-пиро- ксенит	0,96	0,62	4,50	4,60	0,0008	3750	5750	11600
220	Г Габбро	0,92	2,02	3,90	3,60	0,0008	4500	4850	9400
231	То же	1,33	2,10	3,35	3,00	0,0004	7500	7800	16000
233	" -	1,48	1,73	4,30	4,20	0,0008	5250	5560	10600
235	Оливиновое габбро	0,27	1,50	3,80	4,15	0,0009	4620	4360	8900
237	То же	0,66	2,00	-	-	0,0006	-	-	-
239	" -	0,43	2,54	-	-	0,0010	-	-	-
269	Биотитовое габбро	1,96	1,37	-	-	0,0004	-	-	-
73	То же	1,16	1,77	3,00	2,80	0,0012	2340	2600	5000
Среднее для габбро:									
		1,02	1,74	3,50	3,60	0,0008	4300	5300	10000

Таблица 27  
Содержание K, Na, Fe<sup>2+</sup>, Mg, Li в шокинитах  
Зекарской интрузии<sup>11)</sup>, вес, %

N <sup>o</sup> про- бы	K	Na	Fe <sup>2+</sup>		Li	Mg		Fe <sup>2+</sup>	
			Mg	Li		Mg/Li	Li	Fe <sup>2+</sup> /Li	Fe <sup>2+</sup> +Mg/Li
180	2,50	1,82	4,15	2,40	0,0003	8000	14100	20200	
240	1,91	2,55	5,20	2,40	0,0006	4600	5350	6350	
241	1,85	2,44	-	-	0,0008	-	-	-	
242	1,66	3,34	3,40	3,10	0,0011	2800	3100	5900	
2150	2,00	3,78	8,56	4,16	0,0013	2350	2300	5700	
118	2,97	2,80	3,90	2,0	0,0003	6900	13606	19500	
136	3,56	2,96	3,50	2,40	0,0005	4800	7000	11800	
250	2,00	2,70	3,30	4,55	0,0014	3200	2400	5600	
1300	2,32	2,60	3,36	2,70	0,0008	3360	4300	7600	
Сред- нее	2,32	2,80	3,62	2,95	0,0008	4500	6600	10800	

К.Г.Веденоля (1961) также свидетельствуют о более высоких, превышающих вдвое, наши определения содержания лития в основных и средних породах. Однако повышенные содержания лития в отмеченных породах наблюдаются не всегда. Имеются многочисленные примеры, указывающие на содержание лития в десятитысячных долях процента не только в основных и щелочных, но и в кислых породах. Так, В.М.Гольдшмидт и др. (1938) приводят содержание лития в габбро, равное 0,0002 % Li; Л.В.Штрек (1936) определил в эссеекситах и нордмаркитах Норвегии 0,0007-0,0008% лития; Г.С.Закариадзе (1964) - в габбровых породах Мерисской интрузии - 0,0004% Li; примерно такое же количество лития содержится, как показал Р.Г.Гэльоркин (1965), в основных породах Лермонтовского массива и Геджалинской интрузии Базумо-Памбакской области Армении и др.

Пониженное содержание лития в кислых породах отмечают Л.Н.Когарко (1959) для биотитовых гранитов и гранодиоритов Тургоянского массива (Урал) - 0,0002 %

лития, С.Р.Ноколис и Р.Аллен (1958) для гранатоидов Южно-Калифорнийского батолита, Л.В.Таусон (1961) для гранитинитов и амфосилитовых гранитов Северной Киргизии и др.

Низкие концентрации лития в щелочноземельной и субшелочноземельной сериях Зекарской интрузии определяются высокими значениями средних отношений  $10^2 \frac{Mg}{Li}$ ,  $\frac{Fe^{2+}}{Li} + \frac{Mg}{Li}$ . Для 1) габро, 2) шамкинитов и 3) диоритов они равны соответственно:

$$1) \quad \frac{Mg}{Li} = 4500, \quad \frac{Fe^{2+}}{Li} = 5300,$$

$$\frac{Fe^{2+}}{Li} + \frac{Mg}{Li} = 10800$$

$$2) \quad \frac{Mg}{Li} = 4500, \quad \frac{Fe^{2+}}{Li} = 6600;$$

$$\frac{Fe^{2+}}{Li} + \frac{Mg}{Li} = 10600$$

$$3) \quad \frac{Mg}{Li} = 4000, \quad \frac{Fe^{2+}}{Li} = 5860;$$

$$\frac{Fe^{2+}}{Li} + \frac{Mg}{Li} = 9000$$

Продолжительные породы характеризуются равномерным распределением в них лития; среднее содержание его в габбро-диоритовой серии практически ничем не отличается от содержания в шамкинитах и равно 0,00008%.

Такое равномерное распределение лития наблюдается при почти постоянном соотношении  $Mg/Li$  в породах при незначительных колебаниях в них средних отношений  $Fe^{2+}/Li$  и  $\frac{Fe^{2+} + Mg}{Li}$  в при переходе к под-

10)

Данные по содержанию лития в щелочном железистом гранитините из спессартитовых гнейзов соответствующих пород (табл. 13, 14, 15).

Таблица 28

Содержание K, Na, Fe<sup>2+</sup>, Mg/Li  
в диоритах Зекарской интрузии (1), вес. %.

№ показ.	Породы	K	Na	$\frac{Fe^{2+}}{Li}$	Mg	Ti	$Mg/Li$	$Fe^{2+}/Li$	$\frac{Fe^{2+} + Mg}{Li}$	
									Li	Ti
13	Инорит	2,32	2,60	3,44	2,46	0,0004	5150	8600	1470	
213	Габро	1,66	4,56	2,60	1,85	0,0006	3700	5200	860	
107	Кисличевый диорит	2,50	2,70	1,60	0,45	0,0013	560	1600	245	
43	Диорит	2,86	3,10	1,48	1,58	0,0003	5600	5000	1070	
113	Габро	1,33	2,70	-	-	0,00001	-	-	-	
113	-	3,00	2,91	2,40	1,85	0,0006	3700	4800	850	
163	-	2,93	3,10	2,08	1,74	0,0009	4000	5300	9000	

ших дифференциатам происходит закономерное уменьшение последних. Эти данные свидетельствуют о большем геохимическом родстве лития с магнием, чем с железом. Вследствие этого литий оказался менее чувствительным элементом при изменении активности железа в процессе формирования Зекарских пород.

Как отмечает Л.В.Таусон (1961), в процессах дифференциации магм поведение лития определяется, с одной стороны, его кристаллохимическими связями с магнием в биотитах, а с другой - специфическими свойствами его летучих соединений. При изучении распределения лития по минералам было показано (Залашкова, 1960), что среди светлых минералов пород наиболее высокими его содержаниями отличаются плагиоклазы. Такая приуроченность лития к полевым шпатам (прежде всего к плагиоклазам), вероятно, обузвана его геохимическому родству с натрием. В связи с этим осо-

11)

Данные по содержанию магния и закисного железа приводятся из силикатных анализов соответствующих пород (табл. 13, 14, 15).

Следует интерес представлять вопрос о влиянии поведения главных щелочных элементов – калия и натрия на распределение лития в разновидностях пород, источником которых является магма основного состава. Главным фактором, определившим разнообразие габброидных пород Зекары, является изменение потенциала щелочей в отдельных участках интрузии. Так, высокий потенциал в центральных частях интрузии привел к образованию шонкинитов и монционитов.

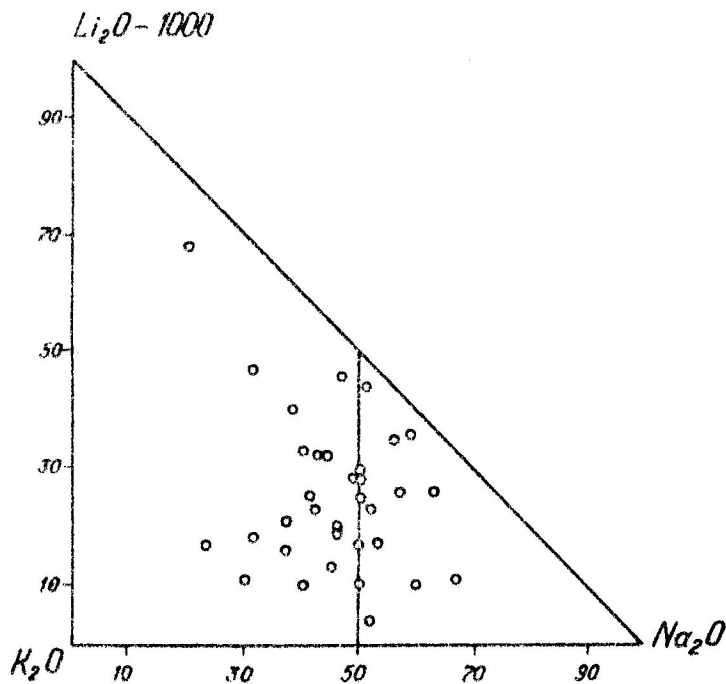


Рис. 22. Трехкомпонентная диаграмма щелочей.

Для выяснения влияния накопления главных щелочных элементов (калия и натрия) на поведения лития в исследованных породах (как основных, так и щелочных и кислотных разновидностей) мы использовали трехкомпонентную диаграмму (рис. 22)<sup>12</sup>, на которую нанесены значения  $\text{K}_2\text{O}$ ,  $\text{Na}_2\text{O}$ , ( $\text{Li}_2\text{O} \times 1000$ ) в процентах (значения цифр приводятся в табл. 26, 27, 28).

Как видно из диаграммы (рис. 22), основная масса лития приурочена в одинаковой степени как к натровым, так и калиевым породам. Следовательно, в породах Зекарской интрузии геохимические связи лития в одинаковой степени проявлены с магнием, калием и натрием.

Изучение отношения  $\text{Mg/Li}$  указывает на существование прямой корреляции между этими элементами. Наиболее ярко она, очевидно, проявлена в габбро и шонкинитах, где отношение  $\text{Mg/Li}$  одинаковое и равняется 4500. Гораздо слабее эта связь проявлена в габбро-диоритах и диоритах.

Из литературы известно, что  $\frac{\text{Mg}}{\text{Li}}$  отношение убывает к концу кристаллизации эвтектических серий пород. К таким объектам можно отнести породы массива г. Сандык (Злобин, 1962), Сусамырский батолит (Гаусон, 1961) и др. Аналогичная картина фиксируется также в пределах щелочноземельной серии и щелочной субсерии Базумо-Памбакской области (Геворгян, 1965).

В Зекарской интрузии, по-видимому, главным фактором, влияющим на накопление лития в более поздних лифференциатах щелочноземельной серии (среднее отношение  $\text{Mg/Li}$  в диоритах около 4000), является температурный фактор.

Однако для всей интрузии в целом среднее содержание лития во всех фациальных разновидностях можно считать постоянным.

12 На диаграмму нанесены также значения щелочных элементов в породах эфузивной вмещающей толщи. Вопросы о поведении в ней щелочных элементов будут обсуждены ниже.

Как указывает Д.Б.Таусон (1961г.), поведение лития в процессе кристаллизации пород определяется особенностями его распределения по минералам, а также летучестью некоторых его соединений, особенно хлоридов. В связи с этим, литий будет накапливаться в тех дифференциатах, которые характеризуются сравнительно высоким содержанием магния, связанного в структуре биотита.

С целью сравнения среднего содержания лития в Зекарской интрузии с аналогичными породами других регионов, нами приводится табл. 29.

Таблица 29

Регионы	Содержание в габбро, г/т.	Автор
Зап. Шотландия	34 (5)	С.Р.Нокколдс и Р.С.Митчелл (1952)
Южно-Калифорнийский базальт	11 (7)	С.Р.Нокколдс, Р.Аллен (1958)
Финляндия	8 (2)	Т.Г.Сахама (1952)
Германия	10 (11)	Л.В.Стродт (1936)
Зекарская интрузия (Грузия)	7 (25)	Данные настоящей работы
Мерисская интрузия (Грузия)	9 (12)	Г.С.Закариадзе (1964)
Вакиджварская интрузия (Грузия)	22 (14)	—

Примечание: Числа в скобках обозначают число анализов, из которых вычислены средние значения.

Как видно из таблицы 29, данные по содержанию лития в наших породах, близкие к данным для Мерисской интрузии и к габбровым породам Южно-Калифорнийского базальта, Финляндии и Германии, и чрезвычайно низкие содержания лития во всех фанеритовых разновидностях Зекарской интрузии, а следовательно, и в интрузии в целом, свидетельствуют о необычно-низкими концентрациями его в исходной магме и являются обобщенностью исследование го района. Этот факт можно считать, по-видимому, надежную геохимическим критерием, указывающим на генетическую связь зекарских пород с магмой основного состава.

### РУБИДИЙ

Изучению особенностей распространения рубидия в магматических горных породах и минералах посвящены многочисленные работы. В начале прошлого века этому вопросу посвятили свои исследования В.И.Вернадский (1909, 1914), В.М.Гольдшмидт с сотрудниками (1938, 1938<sup>2</sup>), а в последние годы Л.Н.Айропс (1948), Л.Н.Айропс, У.Н.Пирсон и М.М.Коатес (1952), С.Дефолт и Л.Айропс (1957), Л.В.Таусон, О.Д.Ставров (1957), А.М.Демин, Д.Г.Хиароп (1958), Э.Л.Хорстман (1958), В.П.Волков, Е.Н.Савинова (1959, 1961), И.В.Воскресенская (1959), И.И.Абрамянц (1960), Л.В.Таусон (1960), Г.Л.Одилло (1960), Г.С.Закариадзе (1964) и другие.

Кроме того, в настоящее время известны работы, касающиеся распределения рубидия в шелочных породах, среди которых особого внимания заслуживают следующие: В.И.Герасимовского и В.Н.Лебедева (1959); В.И.Эльбина, В.Н.Лебедева (1960). Несмотря на разработку вопроса появления лития в рубидии в дифференцированных шелочных породах Дюроэро и горы Сандок и установление характера распределения в отложений и иллювиальных породах,<sup>13</sup> весь иногранитный материал был суммирован А.И.Вильямсом в пачестной структуре по карткам химических элементов (1962).

Данные по рубидию для пород Зекарской интрузии и включющей толще приводятся в таблицах 30, 31, 32 и 33. Из этих таблиц очевидна неравномерность распределения рубидия по всей интрузии в целом для габбровых пород Зекарской интрузии содержание рубидия колеблется от 0,0006% для оливиновых разновидностей до 0,0041% для габбро, для глауконитового биотита в равнине в среднем 0,0022%. Эта цифра примерно в два раза ниже средней цифр по рубидию для генетически связанных с габбро шоункинитов и диоритов.

Таблица 30

Содержание щелочных элементов в габбро Зекарской интрузии, вес. %

№ пробы	Наименование пород	K	Na	Rb	Li	$\frac{K}{Rb}$
219	Габбро-пироксенит	0,96	0,62	0,0016	0,0008	60
200	Габбро	0,92	2,02	0,0023	0,0008	40
231	То же	1,33	2,10	0,0028	0,0004	47
233	—“—	1,48	1,73	0,0029	0,0008	51
2360	Оlivиновое габбро	0,27	1,50	0,0006	0,0008	45
237	То же	0,66	2,00	0,0020	0,0006	90
239	—“—	0,43	2,54	0,0010	0,0010	45
269	Биотитовое габбро	1,96	1,37	0,0044	0,0004	45
78	То же	1,16	1,77	0,0021	0,0012	90
Среднее		1,02	1,74	0,0023	0,0008	45

14 Аплитовидные породы нами не анализированы.

Данные о содержании рубидия в шоункинитах довольно постоянны и колеблются от 0,0031 до 0,0058%. Колебания в содержании рубидия могут быть обусловлены непостоянством количественно-минералогического состава пород, т.е. колебания процентного содержания биотита и калишпатта (основных минералов-концентраторов рубидия). Диориты Зекарской

Таблица 31

Содержание щелочных элементов в диоритах Зекарской интрузии, вес. %

№ пробы	K	Na	Rb	Li	$\frac{K}{Rb}$
13	2,32	2,60	0,0046	0,0004	500
243	1,66	4,50	0,0020	0,0005	800
107	2,50	2,76	0,0042	0,0010	600
49	2,86	3,10	0,0043	0,0003	660
319	1,48	2,70	0,0028	0,0009	500
143	3,10	2,91	0,0047	0,0005	660
Среднее	2,93	3,10	0,0038	0,0009	620

интрузии (табл. 31) характеризуются, так же как и шоункиниты, повышенным содержанием рубидия от 0,0018 до 0,0047%, равняясь в среднем 0,0035%.

Содержание рубидия в габбро Зекарской интрузии вдвое ниже средних значений, приводимых А.Н.Виноградовым (1962) для габбро, порфиров, базальтов и диабазов (0,0045%). К этой цифре наиболее близки средние значения содержаний рубидия в шоункинитах (0,0012%) и диоритах (0,0005%) Зекари.

Данные Э.Л.Хорсмана (1959) и К.К.Турекьяна и К.Г.Ведеполя (1961) для базальтических пород, а также для сиенитов совпадают и соответственно равны 0,0030 и 0,0110 %. Таким образом, породы Зекари (как с повышенной щелочностью - шонкиниты, так и кислые - диориты) по содержанию рубидия заметно отличаются от пород других регионов.

Низкие содержания рубидия приводят здесь к заметно высоким значениям отношений калия к рубидию. Это отношение в среднем для габбро = 475, для шонкинитов = 550 и диоритов = 620.

Таблица 32  
Содержание щелочных элементов в щелочных габбро (шонкинитах) Зекарской интрузии, вес. %

№ про- бы	K	Na	Rb	Li	$\frac{K}{Rb}$
150	2,50	1,82	0,0046	0,0003	545
240	1,91	2,55	0,0041	0,0006	470
241	1,85	2,44	0,0031	0,0008	600
242	1,66	3,34	0,0023	0,0011	720
215	2,00	2,78	0,0035	0,0013	570
118	2,97	2,90	0,0053	0,0003	560
136	3,56	2,90	0,0058	0,0005	610
259	2,00	2,76	0,0045	0,0014	445
1300	2,32	2,60	0,0045	0,0008	510
Среднее	2,82	2,80	0,0042	0,0008	550

Таблица 33

Содержание щелочных элементов во вмещающей андезито-базальтовой толще Зекарского массива, вес.%

№ про- бы	Наименование породы	K	Na	Rb	Li	$\frac{K}{Rb}$
200	Пироксен-плагио- кальевый порфирит	0,92	1,85	0,0019	0,0007	480
217	Калиевый базальт	2,90	1,58	0,0051	0,0006	570
218	Роговообманковый порфирит (изменен- ный)	0,42	2,16	0,0064	0,0006	650
223	Андезит	1,51	2,80	0,0032	0,0008	470
234	Калиевый базальт	4,95	1,94	0,0107	0,0005	495
235	Андезит	2,38	1,85	0,0042	0,0007	570
216	Пироксен-плагио- кальевый порфирит	0,66	2,35	0,0017	0,0007	400
250	Оливиновый ба- зальт	0,84	1,53	0,0025	0,0005	340
251	То же	1,42	0,82	0,0031	0,0009	460
253	-"	1,19	2,17	0,0019	0,0003	620
254	Щелочной базальт	2,16	2,14	0,0005	0,0004	430
258	Щелочной базальт (биотитовый)	4,00	1,40	0,0097	0,0006	410
224	Щелочной базальт	3,76	4,00	0,0053	0,0002	710

Установленные нами для Зекари  $\frac{K}{Rb}$ -отношения заметно выше, чем средние значения  $\frac{K}{Rb}$ -отношения, полученные по данным А.П.Виноградова (1962) для основных ( $\frac{K}{Rb} = 185$ ), средних ( $\frac{K}{Rb} = 230$ ) и кислых ( $\frac{K}{Rb} = 170$ ) пород. Средние отношения по Э.Л.Хорстману (1957) для габбро ( $\frac{K}{Rb} = 310$ ), диоритов ( $\frac{K}{Rb} = 330$ ) и сиенитов ( $\frac{K}{Rb} = 410$ ) также характеризуются более низкими значениями по сравнению с Зекарскими породами.

Здесь уместно отметить, что  $\frac{K}{Rb}$ -отношения в породах, аналогичных зекарским, изучены гораздо слабее, чем в гранитоидных и щелочных породах. В пределах Аджаро-Триалетской складчатой системы, интрузии, сходные с Зекари, характеризуются следующими средними цифрами  $\frac{K}{Rb}$ -отношения (Закариадзе, 1964): в габбро-диоритовой Мерисской интрузии —  $\frac{K}{Rb} = 510$ , а в Намонастревской интрузии  $\frac{K}{Rb} = 345$  (обе интрузии, так же как и Зекарская, обеднены рубидием).

Данные по распределению рубидия в изверженных горных породах указывают на тесную связь с калием. Это положение неоднократно подтверждалось рядом исследователей, так что постоянство  $\frac{K}{Rb}$ -отношения в сериях

изверженных пород является общепринятым. Связь рубидия с калием обусловлена как химическими, так и кристаллохимическими причинами. Оба рассматриваемых элемента являются типичными щелочными металлами, характеризующимися аналогичным строением электронных оболочек и близостью всех основных химических свойств. Кристаллохимическая близость рубидия и калия определяется в первую очередь их одинаковой валентностью, явно выраженным ионным характером связи с кислородом и близостью ионных радиусов ( $K^{1+}-1,33\text{\AA}$ ,  $Rb^{1+}-1,49\text{\AA}$  по В.М.Гольдшмидту).

Кристаллохимическое сходство, видимо, определяет поведение калия и рубидия в изверженных горных породах: весь рубидий рассеивается в виде изоморфной примеси в калийсодержащих минералах.

Однако существует и некоторое различие в поведении этих элементов, которые носят обычно количественный, а не качественный характер.

В Зекарской интрузии мы наблюдаем увеличение среднего отношения от ранних к более поздним дифференциатам щелочно-земельной серии. На графике (рис. 23) показана зависимость содержания рубидия от калия для различных пород Зекарского массива. На диаграмму нанесены также цифры для эфузивной вмещающей толщи. Как видно из диаграммы, интрузивные и эфузивные породы характеризуются аналогичным распределением в них рубидия. Содержание рубидия в габбро, диоритах и шонкинитах (табл. 30, 31, 32) соответствует полностью их эфузивным аналогам (табл. 33).

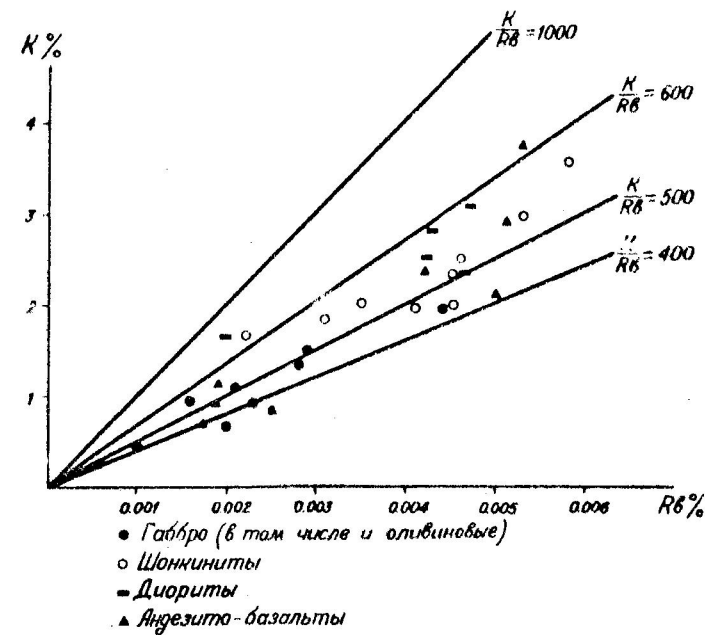


Рис. 23. Диаграмма зависимости содержания рубидия от калия для различных пород Зекари.

Таким образом, вывод о комагматичности эффективных и интрузивных пород Зекарского массива, основанный на общности их химизма и характере распределения в них редкоземельных элементов (Кекелия, 1966; Кекелия, Балашов, 1966) подтверждается данными по содержанию редких щелочных элементов.

Фигуративные точки наших пород (за исключением единичных образцов) располагаются в пределах от  $\frac{K}{Rb} = 660$  до  $\frac{K}{Rb} = 400$ . Таким образом, генетически связанные породы Зекарской интрузии отличаются от интрузий, где во всех фазах сохраняется постоянство  $\frac{K}{Rb}$  отношения, исследованных С.Р.Нокколдсом и Р.Алленом (1958), Е.Л. Хорстманом (1959); Л.В.Таусоном (1960) и др. Примерами такого постоянства  $\frac{K}{Rb}$  отношения могут служить поли-

$Li_2O$  и  $Rb_2O$  %

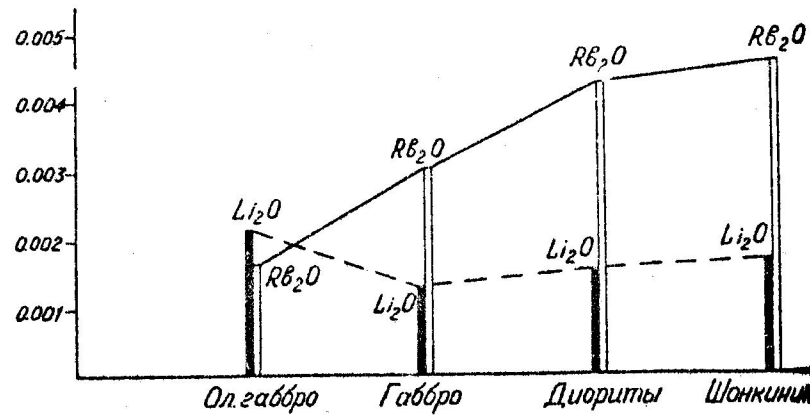


Рис. 24. Совмещенная диаграмма  $Li_2O$  и  $Rb_2O$  для различных типов пород Зекарской интрузии.

фазный Сусамырский батолит, а также Малый Лабинский гранитоидный массив на Северном Кавказе (Демин и Хитаров, 1958). Постоянство  $\frac{K}{Rb}$ -отношения характерно и для гранитоидов Южно-Калифорнийского батолита (Нокколдс, Аллен, 1958).

Следовательно, генетически связанные основные породы Зекари несколько отличаются от таковых пород более кислого состава.

#### Сравнение распределения $Li$ и $Rb$ в породах Зекарской интрузии

Фактический материал по Зекарскому массиву свидетельствует о различии в поведении лития и рубидия в процессе становления пород.

Диаграмма (рис. 24), по ординате которой отложены средние значения содержаний  $Li_2O$  и  $Rb_2O$  в породах Зекари, иллюстрирует накопление рубидия в поздних дифференциатах габброидной магмы, а также в породах повышенной щелочности. Для  $Li_2O$  характерно относительное постоянство его содержания во всех разновидностях, независимо от кремнекислотности и щелочности.

#### ЗАКЛЮЧЕНИЕ

Проведенные петролого-геохимические исследования Зекарской интрузии позволяют обосновать следующие выводы:

1. Геологическое положение Зекарской интрузии определяется ее приуроченностью к Абастуманско-Бошурской подзоне Центральной зоны Аджаро-Триалетской складчатой системы. Зекарский массив представлен двумя разобщенными выходами, общей площадью около  $20 \text{ км}^2$ , расположенных вдоль нарушения, осложняющего мульду Барат-Хевской синклиналии.

Вмещающими породами интрузива служат вулканогенные породы среднего эоценена, представленные андезито-базальтами, с которыми он имеет активные контакты.

2. Интрузия характеризуется большим разнообразием слагающих ее пород: здесь устанавливаются оливиновое габбро, роговообманковое габбро, биотитовое габбро, габбро-шонкиниты, шонкиниты, габбро-диориты, диориты, амфиболиты. В их пространственном распределении намечается определенная закономерность: центральную часть массива слагают более кислые породы - габбро-диориты, диориты, амфиболовые жилы, тогда как более основные разновидности - оливиновое габбро и габбро образуют внешнюю оторочку из трунзивного тела.

В структуре пород интрузии наблюдаются заметные различия. Эти различия выражены в многообразии макроструктур габбро и габбро-диоритов, среди которых наиболее распространены гипидиоморфные, габбровые, порфировидные и реже гнейсовидные структуры.

3. Породообразующими минералами, определяющими разнообразие пород Зекарской интрузии, являются пла-гиоклаз, пироксен (монохлиниый и ромбический), оливин, роговая обманка, биотит, калиевый полевой шпат. Аксессорные минералы представлены апатитом, магнетитом и сфеноидом.

Плагиоклаз представлен лабрадор-битовником, монохлиниый пироксен-диопсид-салитом и диопсид-авгитом; ромбический пироксен-гиперстеном, роговая обманка - полевошпатовой разновидностью базальтических роговых обманок; для биотита характерны относительно высокие содержания магния ( $MgO = 14,89$  вес. %) и соответственно низкая железистость ( $f^{\prime \prime} = 36,1$  ат. %).

Характер взаимоотношений основных породообразующих минералов позволяет отнести их к первичномагматическим образованиям.

В основных разновидностях пород Зекари, наряду с последовательным выделением породообразующих минералов, мы встречаемся также с проявленными эвтектическими соотношениями между ними.

Наличие зональных кристаллов пла-гиоклаза и пироксена, а также характер взаимоотношений между фемикскими минералами в краевых частях Зекарского массива

дeterminствуют о поравновесных условиях кристаллизации магматического расплава в отдельных его участках.

4. В породах Зекарской интрузии широким распространением пользуются эндогенные постмагматические процессы. Они проявлены неравномерно во внутренних частях интрузии и наиболее интенсивно в приконтактовых породах. Постмагматическая ассоциация минералов соответствует минеральным парагенезисам пропилитизированных пород.

Наиболее интенсивно проявился в интрузии процесс эпидотизации, являющийся результатом гидротермального автометаморфизма основных пород.

Процесс эпидотизации происходил в результате воздействия водных растворов на основные породы. При этом не наблюдается заметного привноса компонентов, хотя в ряде случаев эпидот образуется в результате привноса кальция (случай замещения биотита эпидотом).

Кристаллизации эпидота способствовали сопряженные реакции, что подтверждается часто наблюдаемым сопохождением эпидота и хлорита.

Высокая железистость эпидота (35-40 мол.%  $Fe_2O_3$ ) свидетельствует об относительном недостатке в нем глинозема, по-видимому, также указывает на сравнительно высокую температуру его образования.

5. По химическому составу исследованные породы отвечают нормальным, для которых характерным является следующее соотношение молекулярных количеств окислов:  $CaO + Na_2O + K_2O > Al_2O_3 > Na_2O + K_2O$ . Важной петрохимической особенностью пород Зекарской интрузии является недосыщенность их кремнекислотой. Значение коэффициента  $Q$ , как правило, отрицательное и колеблется для габбро от -3 до -18, для шонкинитов от -8 до -21, для диоритов от -0,2 до -6.

Среди пород Зекарской интрузии выделяются две вполне определенные самостоятельные серии, одна из которых (главная) отражает изменение химического состава от габбро к диоритам, другая же - в группе шонкинитов и монцонитов. Сопоставление этих серий с классическими ти-

пами пород по А.И. Заварицкому показывает почти полную аналогию с типом Йелоустонского парка, в частности, с породами вулкана Крандал, относимых к щелочноzemельному типу; серия субщелочных пород Зекари близка к сериям типа Этны и Марос-Хайвуд.

В Зекарской интрузии обнаруживается отчетливая дифференциация по кремниекислотности (в пределах каждой серии) и при близких значениях кремниекислотности – различие по щелочности (между сериями).

Сравнение ряда векторов эфузивных и интрузивных пород Зекарского массива показало большое сходство их химического состава. Фигуративные точки химизма пород вмещающей андезито-базальтовой толщи полностью совпадают с направлением дифференциации химического состава габбровых интрузивных пород.

Исследованные породы имеют слабо выраженный натриевый характер: в них отношение калия к натрию колеблется в пределах от 0,25 до 1,5. Высоким отношением (превышающим единицу) характеризуются шонкиниты и монциониты.

6. Основными минеральными парагенезисами, слагающими породы Зекарского массива, являются: 1) плагиоклаз + моноклинный пироксен, 2) плагиоклаз + моноклинный пироксен + биотит, 3) плагиоклаз + моноклинный пироксен + ромбический пироксен. На отдельных участках интрузии установлены четырехминеральные парагенезисы: плагиоклаз + роговая обманка + биотит + моноклинный пироксен, плагиоклаз + ромбический пироксен + моноклинный пироксен + роговая обманка, а также плагиоклаз + пироксен + биотит + калишпат.

Исследование минеральных парагенезисов с помощью правила фаз показало, что при их образовании  $K_2O$  и  $Na_2O$  вели себя вполне подвижно. Количество одновременно присутствующих минералов, находящихся в равновесии, здесь не превышает четырех. Оно полностью определяется числом виртуальных инертных компонентов:  $SiO_2$ ,  $Al_2O_3$ ,  $CaO$ ,  $(Mg)$ . Минеральные парагенезисы отдельных участков Зекарской

интрузии указывают на повышение химических потенциалов щелочей (в основном калия), нарушающих нормальный ход кристаллизации габбровой магмы.

Установлено, что одной из главных причин разнообразия минерального состава габброидных пород при изотермических условиях и однородности исходного магматического расплава является увеличение потенциала  $K_2O$  (при постоянном значении  $Na_2O$ ), приводящего к расширению полей кристаллизации биотита и калишпата в парагенезисе с пироксеном и плагиоклазом.

Этот вывод может быть распространен на породы повышенной основности. Немаловажную роль в процессе становления пород сыграл и процесс кристаллизационной дифференциации – формирование пород габбро-диоритового ряда.

7. Отмеченный механизм образования пород Зекарского массива сказался на распределении в них редких элементов.

а) Из анализа распределения редкоземельных элементов (р.з.э.) в породах Зекарской интрузии следует, что в габбро и более кислых дифференциатах (габбро-диоритах и диоритах) состав и содержание р.з.э. варьирует (для габбро  $\frac{\Sigma Ce}{\Sigma Y} = 1,8 - 3,1$  при  $TR_2O_3 = 14 - 49 \cdot 10^{-3}\%$  и для диоритов  $\frac{\Sigma Ce}{\Sigma Y} = 2,1 - 2,8$  при  $TR_2O_3 = 18 - 76 \cdot 10^{-3}\%$ ).

б) Сравнение распределения р.з.э. с особенностями химизма исследованных пород показывает отчетливую корреляцию состава р.з.э. с изменением петрохимических параметров. Максимальным значением отношения а/с соответствует наибольшее обогащение легкими лантаноидами, следовательно, разница в соотношении р.з.э. габбро и шонкинитов отражает различие в условиях щелочности среды при формировании этих пород.

Изменение содержания р.з.э. в обоих полях щелочности коррелируется с вариациями фиктивного параметра  $b$ . Габбро с минимальными значениями параметра  $b$  характеризуется повышенным содержанием суммы

р.э.э. и наоборот.

в) Анализ породообразующих минералов на содержание в них р.э.э. показал преобладание в плагиоклазах легких лантаноидов ( $\frac{\Sigma Ce}{\Sigma Y} = 2,7 - 3,1$ ), а в пироксене - накопление иттриевой группы и иттрия ( $\frac{\Sigma Ce}{\Sigma Y} = 1,3$ ). Можно полагать, что в породах, обогащенных Ca, Mg, и Fe, какими являются габбро и габбро-диориты, основная масса р.э.э. сосредоточена в породообразующих минералах. Аксессорные минералы - обычные концентраты р.э.э. (апатит, циркон, сфен) - встречены в незначительных количествах и поэтому они не могут играть существенной роли в балансе распределения р.э.э., изученных пород. Отмеченные вариации в составе р.э.э. габбро и габбро-диоритов связаны с изменением соотношения плагиоклаза и пироксена. По-видимому, некоторое относительное преобладание легких лантаноидов в габбро-диоритах по сравнению с габбро подчиняется той же зависимости. В связи с этим, центральные участки Зекари отличаются от краевых, представленных габбро, относительным накоплением цериевой группы.

г) Вариации в составе р.э.э. для пород Зекарской интрузии обусловлены кристаллизационной дифференциацией (внутри каждой серии) и различием в щелочности при формировании пород (между сериями). Относительные изменения в составе р.э.э. пород при этом связаны прежде всего с различием в соотношении начальных лантаноидов. Разделение этих элементов в результате кристаллизационной дифференциации для щелочноземельной серии, формировавшейся при относительно низких значениях потенциалов щелочей, менее контрастны, чем для серии шонкинитов. Поведение р.э.э. при образовании обеих серий оказывается не идентичным и, следовательно, различия в интенсивности изменений состава р.э.э. (в наклонах линий на семикомпонентных диаграммах) следует рассматривать как геохимический индикатор изменения условий щелочности среды при формировании магматических пород, что вполне отвечает петрохимическим различиям обеих серий.

д) Сопоставление линий эволюции составов р.э.э. эфузивов и габбро-диоритовой серии Зекари показывает полную их тождественность. Близость суммы р.э.э. для обеих серий и аналогия в эволюции состава р.э.э. подтверждает тем самым, что распределение р.э.э. во вмещающих эфузивах отражает этапы кристаллизационной дифференциации, общие для близких по возрасту эфузивных и интрузивных пород.

е) Сравнение данных по составу р.э.э. в базальтах и долеритах Болгарии и р.э.э. с эфузивами Аджаро-Триалетии указывает на значительную близость распространенности р.э.э. в нормальных и субщелочных разновидностях Болгарии к наиболее обогащенной легкими лантаноидами группе пород Грузии (хотя субщелочной характер болгарских основных пород сказывается в некотором смещении точек, отражающих соотношения наиболее легких р.э.э. в сторону увеличения Nd по сравнению с андезитами, что напоминает тенденцию, отмеченную в шонкинитах Зекарской интрузии). Таким образом, разделение р.э.э. в эфузивах обусловлено теми же факторами - падением температуры и вариациями в щелочности, что и в интрузивных породах. Как показало сравнение, породы Болгарии достаточно близки по распространению р.э.э. к рассматриваемым породам Аджаро-Триалетии (соответственно  $TiO_2 = 0,025\%$  и  $0,021\%$ ,  $\frac{\Sigma Ce}{\Sigma Y} = 3,1$  и  $2,3$ ,  $\frac{Eu}{Sm} = 0,28$  и  $0,31$ ).

ж) Основные породы Болгарии и Грузии по содержанию р.э.э. отличаются от траппов Сибири и подводных океанических базальтов, что, очевидно, связано с их генетическим различием. Можно полагать, что в подвижных зонах коры источники магмы, формирующей андезито-базальтовые и долеритовые покровы или габбровые интрузии, существенно отличаются от таковых в платформенных условиях.

2. Фактический материал по Зекарскому массиву свидетельствует о различии в поведении лития и рубидия в процессе становления пород. Для Li характерно относи-

тельное постоянство его содержания во всех разновидностях, независимо от кремнекислотности и щелочности. Для Pb отмечается накопление в более кислых дифференциатах щелочноземельной серии в субщелочных породах.

Инtrузивные и эffузивные породы характеризуются аналогичным распределением в них Li и Pb.

9. Выявленные геологические, петрохимические и геохимические критерии указывают на происхождение пород Зекарской интрузии и вмещающей андезито-базальтовой толщи из единого магматического очага родоначальной магмы, т.е. на их комагматичность.

## ЛИТЕРАТУРА

- Абрамович И.И. Редкие щелочи в гранитоидах Тувы, ЗВМО, ч. 89, вып. 5, 1960.
- Балашов Ю.А. Эволюция состава и содержаний редкоземельных элементов в интрузивных фазах Ловозерского щелочного массива (Кольский полуостров). Геохимия, № 3, 1962.
- Балашов Ю.А. Закономерности распределения редкоземельных элементов в земной коре. Геохимия, № 2, 1963.
- Балашов Ю.А. Дифференциация редкоземельных элементов в магматическом процессе. В сб. "Химия земной коры", т.1. Изд. АН СССР, 1963.
- Балашов Ю.А., Дорфман М.Д., Туранская Н.В. В сб. "Новые данные о минералах СССР". Тр. Минералогического музея им. А.Е. Ферсмана, АН СССР. М., 1965.
- Балашов Ю.А., Туранская Н.В. О цантановом максимуме редкоземельных элементов в лампрофилиите. Геохимия, № 7, 1960.
- Балашов Ю.А., Туранская Н.В. Закономерности распределения редкоземельных элементов в породах дифференцированного комплекса Ловозерского щелочного массива в связи с некоторыми вопросами генезиса этого комплекса. Геохимия, № 8, 1960.
- Балашов Ю.А., Кекелия М.А. Влияние фациальных изменений на распределение редкоземельных элементов в породах Зекарской габбро-диоритовой интрузии. Геохимия, № 9, 1965.
- Балашов Ю.А., Шараськин А.Я. Генетическое значение распределения редкоземельных элементов в породах ультраосновных щелочных интру-

- зий. Геохимия, № 1, 1966. 1.
- Балашов Ю.А., Шараськин А.Я. Применение семикомпонентных диаграмм для анализа составов редкоземельных элементов в природных системах. Геохимия, № 12, 1966. 2.
- Балашов Ю.А., Нестеренко Г.В. Распространенность редкоземельных элементов в трапах Сибирской платформы. Геохимия, № 9, 1966.
- Баринский Р.Д. О соотношении четных и нечетных редкоземельных элементов в различных минератах. Докл. АН СССР, 120, № 3, 1958.
- Белянкин Д.С., Петров В.П., Еремеев В.П. Неоинтрузии Аджаристана и Гурии. Материалы по геологии и петрографии Грузии. Вып. 1, Тр. СОГС АН СССР, серия Закавказск., вып. 14, 1935.
- Богачев А.И., Зак С.И., Сафонова Г.П., Инина К.А. Геология и петрология Елецьозерского массива габброидных пород Карелии. Изд-во АН СССР, 1961.
- Борнеман-Старынкевич И.Р. Руководство по расчету формул минералов. Изд-во "Наука", 1964.
- Бородин Л.С. О корреляционных связях редкоземельных элементов и некоторых особенностях разделения редких земель в процессах эндогенного минералообразования. Геохимия, № 6, 1960.
- Боуз Н. Эволюция изверженных пород. ОНТИ, М., 1934.
- Вайнштейн Э.К., Павленко А.С., Туранская Н.В., Юлова Т.С., Зависимость распределения редкоземельных элементов в породах от петрологических факторов и его значение для решения петрогенетических вопросов. Геохимия, № 12, 1961.
- Варшал Г.М. и Рябчиков Д.И. Гравиметрическое определение суммы редкоземельных элементов в породах и сплавах. Ж. аналитич. химия, 19, вып. 2, 202, 1964.
- Вернадский В.И. Заметки о распространенности химических элементов в земной коре. I. К истории рубидия, цезия и таллия. Изв. АН, т.3, № 12., 1909.
- Вернадский В.И. Заметки о распространенности химических элементов в земной коре. У1. История рубидия в земной коре. Изв. АН, сер. 6, т. 8, № 13, 1914.
- Виноградов А.П. О происхождении вещества земной коры. Сообщение 1. Геохимия, № 1, 1961. 1.
- Виноградов А.П. "Геохимия за рубежом". Изв. АН СССР, сер. геол., № 7, 1961. 2.
- Виноградов А.П. Средние содержания химических элементов в главных типах изверженных горных пород. "Геохимия", № 7, 1962.
- Винчелл А.Н., Винчелл Г. Оптическая минералогия. Изд. ИЛ, М., 1953.
- Волков В.П., Савинова Е.Н. О распределении рубидия и К/РБ отношения в породах Ловозерского массива. Геохимия, № 6, 1959.
- Волков В.П., Савинова Е.Н. О соотношении калия и рубидия в процессе эволюции известково-щелочных и щелочных магм. Геохимия, № 12, 1961.
- Воскресенская Н.Т. К геохимии таллия и рубидия в изверженных породах. Геохимия, № 6, 1969.
- Гамкрелидзе П.Д. Геологическое строение Аджаро-Триалетской складчатой системы. Изд. АН ГССР, 1949.

Гамкрелидзе П.Д., Канделаки Н. Геологическое строение западной части Аджаро-Триалетской складчатой системы (листы Ахалцихский и Батумский). Груз. отд. ВГФ, 1944.

Геворкян Р.Г. Геохимические особенности и петрогенезис щелочных пород Центральной Армении (на примере Памбакского, Бундуцкого и Гарнисарского массивов). Канд. диссерт., ГЕОХИ АН СССР, 1965.

Герасимовский В.И., Лебедев В.И. О распространности  $Li$  и  $Rb$  в породах Ловоэзерского массива. Геохимия, № 1, 1959.

Гольдшмидт В.М., Баузер Г., Витте Г. К геохимии щелочных металлов. Сб. ст. по геохимии редких элементов. ГОНТИ-НКГП, 1938.

Гольдшмидт В.М., Берман Г., Гауптман Г. и Петерс. К геохимии щелочных металлов. Сб. ст. по геохимии редких элементов, ГОНТИ-НКГП, 1938.

Демин А.М., Хитаров Д.Н. Геохимия калия, рубидия и таллия в приложении к вопросам петрологии. Геохимия, № 6, 1958.

Дзоценидзе Г.С. Домиоценовый эфузивный вулканизм Грузии. Изд-во АН ГССР, 1948.

Дзоценидзе Г.С. Палеогеновый вулканизм Закавказья и связанное с ним оруденение. В кн."Закономерности размещения полезных ископаемых" УП 1964.

Дир Х.И., Хауи Р.А., Зустман Д.Ж.. Породообразующие минералы. Изд. "Мир". Москва, 1960.

Дмитриев Ю.И. Особенности строения и формирования платформовой интрузии палагонитовых траппов на р.Чоне (Восточная Сибирь). Тр.ИГЕМ АН СССР, вып. 77, 1962.

Жариков В.А. Геология и метасоматические явления скарново-толлиметаллических месторождений Западного Карамазара. Тр. ИГЕМ АН СССР, вып. 14, 1959.

Заваринский А.Н. Введение в петрохимию изверженных горных пород. Изд-во АН СССР, 1950.

Заварицкий А.Н. Поросчет химических анализов изверженных горных пород. Госгеолтехиздат, 1960.

Закариадзе Г.С. О содержании лития и рубидия в биотитах и полевых шпатах пегматитов Вакисджвари. Сб. трудов к 70-летию академика А.И. Джанелидзе. Геологический ин-т АН ГССР, 1959.

Закариадзе Г.С. Вопросы петрологии сиенитовых интрузий Вакисджвари и Мериси в свете закономерностей распространения в них лития и рубидия. Кандидатская диссертация. ГЕОХИ, АН СССР, 1964.

Закариадзе Г.С., Лордкипанидзе М.Б. О сопоставлении эфузивных и интрузивных пород палеогенового магматического комплекса Юго-Западной Аджарии. Сообщ. АН ГССР, 52; №3, 1968.

Залашкова Н.Е. Закономерности распределения бериллия, лития и рубидия в гранитах Восточного Забайкалья. Международный геологический конгресс, сессия XXI. Доклады советских геологов. Проблема 1. Геохимические циклы. Госгеолтехиздат, М., 1960.

Заридзе Г.М. Закономерности развития вулканизма в Грузии и связанные с ним рудообразования. Гостехиздат "Техника да шрома", Тбилиси, 1947.

- Злобин Б.И., Лебедев В.И. Геохимические связи Li, Na, K, Rb и Ti в щелочной магме и их не-которое петрогенетическое значение. Геохимия, № 2, 1960.
- Злобин Б.И., Балашов Ю.А. О распределении и соотношении редкоземельных элементов в щелочной плюмазитовой серии эссеексита - нефелинового сиенита. Геохимия, № 9, 1961.
- Злобин Б.И., Геохимическое исследование щелочных пород массива Сандык и их генезис. (Петрография, петрохимия, геохимия редких элементов, петрогенезис). Рукопись, М., 1962.
- Иваницкий Т.В., Гварамадзе Н.Д., Мchedлишвили Т.Д. Свинец, цинк и медь в минералах интрузивных пород Аджарии. Сообщ. АН ГССР, ХІУ, № 2, 1966.
- Иваницкий Т. В., Гварамадзе Н. Д. и др. Петрология, геохимия и металлогеническая специализация интрузий Аджарии. Изд-во "Мецниереба", 1968.
- Йодер Г.С., Тилли К.Э. Происхождение базальтовых магм. Изд-во "Мир", М., 1965.
- Казахашвили Т.Г., Толурия П.А. Неоинтрузии ущелья р. Супсы. Тр. Груз. отд. ВИМС, вып. П, 1938.
- Качарава М.В., Попхадзе М.В. О возрасте флишевых отложений окрестностей с. Гумбати. Сообщ. АН ГССР, т.ХУ1, № 2, 1965.
- Кекелия М.А. Процесс эпидотизации в породах Зекарской интрузии (Западная Грузия). Геохимия, 12, 1964.
- Кекелия М.А. Основные черты петрохимии и петрологии Зекарской интрузии. Сообщения АН ГССР, ХІІІ, 1, 1966.
- Кекелия М.А., Балашов Ю.Л. Факторы дифференциации редкоземельных элементов в Зекарской габбродиоритовой интрузии и вмещающей андезито-базальтовой толще. Сообщ. АН ГССР, ХІУ, № 2, 1967.
- Кекелия М.А., Надарейшвили Д.Г. К петрохимии интрузивных образований восточной части Аджаро-Триалетской складчатой системы. Сообщ. АН ГССР, 55, № 2, 1969.
- Когарко П.Н. Распределение редких щелочных элементов и таллия в гранитоидах Тургоякского хребта (Средний Урал). Геохимия, № 5, 1959.
- Коржинский Д.С. Принцип подвижности щелочей при магматических явлениях. В сб. "Академику Д. С. Белянкину, к 70-летию со дня рождения", Изд. АН СССР, 1946.
- Коржинский Д.С. Физико-химические основы парагенезисов минералов. Изд. АН СССР, 1957.
- Лебедев А.П. Соотношение магматизма и рудообразования в Чинайском габбро-анортозитовом плутоне (Восточная Сибирь). Тр. ИГЕМ, выш. 77, 1962.
- Леонова Л.А., Балашов Ю.А. Распределение урана, тория и редкоземельных элементов в гранитоидах Сусамырского батолита (Центральный Тянь-Шань). Геохимия, № 11, 1963.
- Лордкипанидзе М.Б., Надарейшвили Г.Ш. Палеогеновый вулканоид Северо-Западной Гурии. Труды Третьей Закавказской конференции молодых геологов, 1962.
- Марфунин А.С. Новые данные диаграммы оптической ориентировки калинатровых полевых шпатов. Докл. АН СССР, 133, № 4, 1960.

- Надирадзе В.Р. Зекарская интрузия (Груз.ССР). Докт. АН СССР, сер. геол., № 3, 1954.
- Надирадзе В.Р. Интрузии и рудопроявления Аджаро-Триалетской складчатой системы (докторская диссертация). МГУ, 1955.
- Нокколдс С.Р., Митчелл Р.Л., Геохимия некоторых каледонских интрузивных пород. Исследование связи между основными элементами изверженных пород и минералов. Сб. ст. "Редкие элементы в изверженных горных породах и минералах". ИЛ., М., 1952.
- Нокколдс С.Р., Аллен Р.Л., Геохимические наблюдения. ИЛ., М., 1958.
- Одикадзе Г.Л. О содержании Li, Rb, Cs и Ti в некоторых интрузивных породах и металлах Шрошинского цементитового поля. Тр. Кавк. ин-та мин. сырья, вып. 2. 1960.
- Обори Е.Ф., Тэт Д.Б. Система диопсид-форстерит-анортит. В сб.: "Экспериментальные исследования в области петрографии и рудообразования", ИЛ, М., 1952.
- Павленко А.С. Поведение породообразующих и некоторых редких элементов в процессах формирования щелочных пород. Тр. Геохимич. конференции. "Химия земной коры", посвященной столетию со дня рождения В.И. Вернадского. АН СССР, М., 1963.
- Павленко А.С., Балашов Ю.А., Геворкян Р.Г., Туранская Н.В. Поведение редкоземельных элементов при образовании щелочно-земельных и щелочных комагматических базальтоидных пород Центральной Армении. Геохимия, № 2, 1966.
- Перчук Л.Л. Физико-химическая петрология гранитоидных и щелочных интрузий Центрального Туркестано-Алтая. ИГЕМ АН СССР, Изд-во "Наука", 1964.
- Сахама Т.Г. Рассеянные элементы в породах южной Финской Лапландии. В сб. "Редкие элементы в изверженных горных породах и минералах". ИЛ, М., 1952.
- Соболев В.С. Значение железистости фемических минералов и вспомогательные диаграммы для определения состава биотита, роговых обманок и ромбических пироксенов. Мин. сб. Львовского геол. о-ва, № 6, 1950.
- Таусон Л.В. Влияние структуры минералов на изоморфные замещения в силикатах изверженных горных пород. Геохимия, № 8, 1958.
- Таусон Л.В. Геохимия лития, рубидия и таллия в магматическом процессе. Международный геологический конгресс. Сессия XXI. Доклады советских геологов. Проблема 1. Геохимические циклы. Госгеолтехиздат, М., 1960.
- Таусон Л.В., Геохимия редких элементов в гранитоидах. АН СССР, М., 1961.
- Таусон Л.В., Ставров О.Д. О геохимии рубидия в гранитоидах. Геохимия, № 8, 1957.
- Трёгер В. Таблицы для оптического определения породообразующих минералов. Госгеолтехиздат, 1958.
- Файф У., Тернер Ф., Ферхуген Дж. Метаморфические реакции и метаморфические фации. ИЛ., М., 1962.
- Хевеши Г. Редкие земли с точки зрения строения атома. Научн. хим.-техн. изд-во, Л., 1929.

- Хэскин Л.А., Фрей Ф.А., Шмитт Р.А., Смит Р.Х. Распределение редких редких земель в литосфере и космосе. Изд-во, "Мир", М., 1968.
- Хорстман Э.Л. Распределение лития, рубидия и цезия в изверженных породах. "Геохимия редких элементов", ИЛ, 1959.
- Цагарели А.Л. Верхний мел. Геология СССР, т.10, Грузинская ССР, часть 1, геологическое описание, 1964.
- Цветков А.И. Изоморфные замещения в группе бесщелочных пироксенов. Тр. ИГН АН СССР, вып. 138, 1951.
- Челищев Н.Ф. и др. Экспериментальное исследование процесса кристаллизации силикатных расплавов, отвечающих по составу основным горным породам. Докл. АН СССР, т.152, № 3, 1963.
- Шавишили И.Д. О щелочных породах Мерисского массива. Сообщ. АН ГССР, т.52, № 2, 1968.
- Шней И.В. Геология месторождений редких элементов. Основные вопросы геохимии редкоземельных элементов и иттрия в эндогенных процессах Гос. науч.-техн. изд.лит. по геол. и охр. недр.: вып. 15, М., 1962.
- Щербина В.В. Критерии степени кислотности фосфатного аниона в силикатных расплавах. В кн.: "Исследование природного и технического минералообразования". Изд. "Наука", М., 1966.
- Ahrens L.H. The unique association of thallium and rubidium in minerals. Journ. Geol., V. 56, 1948.

- Ahrens L.H. Use of ionisation potentials ionic radii of the elements. Geochim. et cosmochim. Acta, 2, 1952.
- Ahrens L.H., Pirsson W.H., and Kearns M.M. Association of rubidium and potassium and their abundance in common igneous rocks and meteorites. Geochim. et cosmochim. Acta, v.2, N 4, 1952.
- Aoki K. Petrology of alkali rocks of the Jki Island and Higashimatsuura District, Japan, Sci., Repts., Tohoku Univ., 3rd ser., 6, 1959.
- Coryell C.D., Chase I.W., Winchester I.W.Y. Geophys. Rev., 68, 559, 1962.
- Deleon C. and Ahrens L.H. The distribution of Li, Rb, Cs and Pb in some Jugoslav granites. Geochim. et Cosmochim. Acta, v. 11, N 4, 1957.
- Ehlers E.G. An investigation of the stability of the Al-Fe member of the epidote group. Journ. geol., 61, 1953.
- Coldschmidt V.M. and Thomassen L. - Videnskaps. Skrift 1: Mat-naturv. K 1, N 5, 1924.
- Coldschmidt V.M. Skrifter Norske Videnskaps - Akad. Oslo, 1: Mat - naturv. K 1, 1926.
- Horstman E.L. The distribution of lithium, rubidium and calcium in igneous and sedimentary rocks. Geochim. et cosmochim. Acta, 12, 1, 1957.
- Kennedy G.C. Equilibrium between volatiles and iron oxides in igneous rocks. Am. Jour. Sci., vol. 247, N 10, 1948.

- Kuno H. Petrology of Haccone Volcano and the adjacent areas. Japan. Bull. geol. Soc. Am., 61, 1950.
- Minami E. Gehalte an seltenen Erden in europaischen und japanischen Tonschiefern. Nachr. Ges. Wiss. Gottingen, IV, N.F.L. 1, 155, 1935.
- Noddack J.Z. Heufigkeiten der seltenen Erden in meteoriten. Z.anorg. allgen. Chem. 225, 337, 1935.
- Seymour Merrin. Synthesis of epidote and its apparent p-T stability curve. Bull. Geol. Soc. Amer., 71, N12, pt 2, 1960.
- Strock L.W. Zur Geochemie des Lithium. Nachr. Ges. Wiss., Gottingen, 1V, N.P.I., N15, 1936.
- Towell A.C., Winchester I.W., Wolfoksky R., Rare-Earth distributions in Some Rocks and associated Minerals of the Batholith of Southern California. I. Geophys. Res., vol. 70, N 14, 1965.
- Troger W. Sperielle Petrographie der Eruptivgesteine, 1935.
- Turekian K.K. and Wedepohl K.H. Distribution of the elements in some major units of the Earth's crust. - Geol. Soc. Amer. Bull., 72, 175-192, 1961.
- Verhoogen L. Distribution of titanium between silicates and oxides in igneous rocks. Am. Journ. Sci., voi. 260, N 3, 1962.

О Г Л А В Л Е Н И Е	Стр
Введение	5
Основные черты геологического строения Аджаро-Триалетской складчатой системы . . . . .	9
Обзор существующих представлений в отношении интрузионных образований Аджаро-Триалетской складчатой системы . . . . .	14
Петрография Зекарского массива . . . . .	18
Общие сведения . . . . .	18
Петрографическая характеристика пород Зекарской интрузии . . . . .	20
Состав и некоторые вопросы генезиса пордообразующих минералов Зекарской интрузии . . . . .	28
Послемагматические процессы в породах Зекарского интрузива (эпидотизация) . . . . .	50
Петрохимические особенности пород Зекарского массива . . . . .	60
Зависимость минерального состава габброидных пород от химических потенциалов $K_2O$ и $Na_2O$ . . . . .	72
Поведение редкоземельных элементов в породах Зекарского массива . . . . .	80
Влияние фациальных изменений на распределение редкоземельных элементов в породах Зекарской интрузии . . . . .	82
Факторы дифференциации редкоземельных элементов в породах Зекарской интрузии . . . . .	91
Распределение редкоземельных элементов в андезито-базальтовой толще Зекарского массива . . . . .	96

Распределение и особенности поведения редких щелочных элементов ( Li и Rb ) в породах Зекарского массива . . . . .	102
Литий . . . . .	103
Рубидий . . . . .	111
Сравнение распределения Li и Rb в породах Зекарской интрузии . . . . .	119
Заключение . . . . .	119
Литература . . . . .	127

**Марен Амберкович Кекелия**

ГЕОХИМИЧЕСКИЕ ОСОБЕННОСТИ И ПЕТРОЛОГИЯ ЗЕКАРСКОГО  
МАССИВА (ГРУЗИНСКАЯ ССР)

Напечатано по постановлению Редакционно-Издательского Совета  
Академии наук Грузинской ССР

\*

Редактор издательства Т. Н. Бокучава

Техредактор Э. Б. Бокерия

Корректор Н. Н. Коконашвили

Сдано в набор 23.VIII.71; Подписано к печати 1.III.72;  
формат бумаги 60×90<sup>1</sup>/<sub>16</sub>; Печатных л. 9,4; Уч.-Издат. л. 8,7;  
УЭ 01345; Тираж 500; Заказ 2012;  
Цена 70 коп.

ИЗДАТЕЛЬСТВО "МЕНИЕРЕБА" В 1972 г.  
ВЫПУСТИТ В СВЕТ:

1. Д.Н.КЕЦХОВЕЛИ, Петрология Цейского массива,
2. Т.В.БАТИASHVILI, Термографическое исследование цеолитов среднеэоценовых вулканогенных толщ Грузии,
3. О.Д.ХУЦИНВИЛИ, Стратиграфия и фауна квишской свиты.